

MUĞLA ÜNİVERSİTESİ  
FEN BİLİMLERİ ENSTİTÜSÜ  
FİZİK ANABİLİM DALI

ZnO/CdS/Cu(In,Ga)Se<sub>2</sub> HETEROEKLEM GÜNEŞ PILİNİN  
ELEKTRİKSEL KARAKTERİZASYONU

YÜKSEK LİSANS TEZİ

97761

ABDÜLKADİR SERTAP KAVASOĞLU

Tez Danışmanı : Yrd. Doç. Dr. HABİBE BAYHAN

EYLÜL, 2000

MUĞLA

MUĞLA ÜNİVERSİTESİ  
FEN BİLİMLERİ ENSTİTÜSÜ  
FİZİK ANABİLİM DALI

**ZnO/CdS/Cu(In,Ga)Se<sub>2</sub> HETEROEKLEM GÜNEŞ PİLİNİN  
ELEKTRİKSEL KARAKTERİZASYONU**

**YÜKSEK LİSANS TEZİ**

**ABDÜLKADİR SERTAP KAVASOĞLU**

Fen Bilimleri Enstitüsü'nce  
“Yüksek Lisans”  
Diploması Verilmesi İçin Kabul Edilen Tezdir

**Tezin Enstitü'ye Verildiği Tarih : 15 - 09 - 2000**

**Tezin Sözlü Savunma Tarihi : 01 - 09 - 2000**

**Tez Danışmanı : Yrd. Doç. Dr. Habibe BAYHAN**

**Jüri Üyesi : Prof. Dr. Şener OKTİK**

**Jüri Üyesi : Doç. Dr. Nadide KAZANCI**

**Yedek Jüri Üyesi : Yrd. Doç. Dr. Murat BAYHAN**

**Enstitü Müdürü : Doç. Dr. Mustafa İŞİLOĞLU**

**Eylül, 2000**

**MUĞLA**

## **YEMİN**

Yüksek Lisans tezi olarak sunduğum “ZnO/CdS/Cu(In,Ga)Se<sub>2</sub> Heteroeklem Güneş Pilinin Elektriksel Karakterizasyonu” adlı çalışmanın, tarafimdan bilimsel olarak ahlâk ve geleneklere aykırı düşecek bir yardıma başvurmaksızın yazıldığını ve yararlandığım eserlerin gösterilenlerden olduğunu, bunlara atıf yapılarak yararlandığımı belirtir ve bunu onurumla doğrularım.

01.. /09/2000

A. Sertap KAVASOĞLU



**TEZİN YAZILDIĞI DİL :** Türkçe

**TEZİN SAYFA SAYISI:** 116

**TEZİN KONUSU(KONULARI) :**

ZnO/CdS/Cu(In,Ga)Se<sub>2</sub> Heteroeklem Güneş Pilinin Elektriksel Karakterizasyonu

**TÜRKÇE ANAHTAR KELİMELER**

- 1) Pn Heteroeklem
- 2) Elektriksel Karakterizasyon
- 3) Eşdeğer Devre
- 4) Empedans, Admittans Ölçümü

**İNGİLİZCE ANAHTAR KELİMELER**

- 1) Pn Heterojunction
- 2) Electrical Characterization
- 3) Equivalent Circuit
- 4) Impedance, Admittance Measurement

- 1) Tezimden fotokopi yapılmasına izin vermiyorum.
- 2) Tezimden dipnot gösterilmek şartıyla bir bölümünün fotokopisi alınabilir.
- 3) Kaynak gösterilmek şartıyla tezimin tamamının fotokopisi alınabilir.

**A. Sertap Kayasoğlu**

Yazarın İmzası:  Tarih: 01-09-2000

## TUTANAK

Muğla Üniversitesi Fen Bilimleri Enstitüsü'nün 08.09/2000 tarih ve 16 sayılı toplantılarında oluşturulan jüri, Lisansüstü Eğitim-Öğretim Yönetmeliği'nin 21. Maddesine göre, Fizik Anabilim Dalı Yüksek Lisans Öğrencisi A. Sertap Kavasoğlu'nun "ZnO/CdS/Cu(In,Ga)Se<sub>2</sub> Heteroeklem Güneş Pilinin Elektriksel Karakterizasyonu" adlı tezini incelemiştir ve aday 01/09/2000 tarihinde saat 14:00'da jüri önünde tez savunmasına alınmıştır.

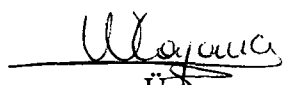
Adayın kişisel çalışmaya dayanan tezini savunmasından sonra ....dakikalık süre içinde gerek tez konusu, gerekse tezin dayanağı olan anabilim dallarından sorulan sorulara verdiği cevaplar değerlendirilerek tezin *bölgesel* olduğuna...*tez*, ile karar verildi.

  
Tez Danışmanı  
Yrd. Doç. Dr.

Habibe BAYHAN

  
Üye  
Prof. Dr.

Şener OKTİK

  
Üye  
Doç. Dr.  
Nadide KAZANCI

Yedek Üye  
Yrd. Doç. Dr  
Murat BAYHAN

## ÖNSÖZ

Akademik hayatı başlamamda büyük etkisi olan ve çalışmalarımda her zaman bilgilerinden yararlandığım bölüm başkanımız sayın hocam Prof. Dr. Şener OKTİK' e içten saygı ve şükranlarımı sunarım.

Kendisiyle çalışmaktan büyük mutluluk duyduğum, tez çalışmalarımda içten ilgi ve alâkasını benden esirgemeyen, bilgi ve tecrübelerinden yararlanarak örnek aldığım, kendisinin tez danışmanım olmasını büyük bir şans olarak gördüğüm saygı değer hocam Yrd. Doç. Dr. Habibe Bayhan'a sonsuz teşekkürlerimi sunuyorum.

Karşılaştığım teknik sorunlarda gösterdiği çözüm yolları ve yardımlarıyla desteğini her zaman yanımdaya hissettiğim sayın hocam Yrd. Doç. Dr. Murat Bayhan' a teşekkürü borç bilirim.

Karşılaştığım zorlukların aşılmasında beni sürekli cesaretlendirip sevgisiyle bana destek veren, kafamdaki problemlere her zaman çözüm yolu bulan, sevgisiyle ve yardımıyla yanımdaya olan canım eşime kalbimin içindeki en güzel duyguları sunuyorum.

Uzaklarda olmalarına rağmen, manevi desteklerini her zaman yüreğimde hissettiğim benim ve eşimin değerli ailelerimize sonsuz saygı ve şükranlarımı sunarım.

Tez çalışmalarım süresince manevi desteklerini esirgemeyen, zaman zaman bilgi, fikir ve yardımlarını aldığım değerli Araştırma Görevlisi arkadaşlarına teşekkürler ederim.

## ÖZET

### **ZnO/CdS/Cu(In,Ga)Se<sub>2</sub> HETEROEKLEM GÜNEŞ PILİNİN ELEKTRİKSEL KARAKTERİZASYONU**

**KAVASOĞLU A. SERTAP**

**Yüksek Lisans Tezi, Fizik**

**Eylül, 2000**

Bu çalışmada ‘Stuttgart Üniversitesi, Fiziksel Elektronik Araştırma Enstitüsünde, Prof. Dr. Şener OKTİK’ tarafından üretilen ve emici tabakasını oluşturan materyallerin göreli ağırlık oranları ; % 22.26 Cu, % 19.46 In, % 7.27 Ga ve %51.02 Se olan n-CdS/p-Cu(In,Ga)Se<sub>2</sub> heteroeklem güneş pilin sıcaklık bağımlı akım-voltaj ve kompleks admittans analizleri sunulmuştur. %12 lik verime sahip güneş pilinin JV analiz sonuçları, karanlık akımının 1eV luk aktivasyon enerjisi ve 119meV luk karakteristik tünelleme enerjisi ile ara yüzeyde tünellemenin çoğallığı yeniden birleşme akım iletim mekanizması ile kontrol edilebileceğini ortaya koymuştur. Heteroeklem yapının eşdeğer devresinin birbirlerine paralel bağlı kondansatör ve direnç ile yine bunlara seri bağlı olan bir dirençten meydana geldiği bulunmuştur. Kompleks admittans ölçümleri eklemde tek bir engel potansiyelinin varlığına işaret etmektedir. Sıcaklık bağımlı kapasitans frekans ölçümleri sonucunda aktivasyon enerjileri 30meV ve 90meV olan iki verici tuzak seviyesinin varlığı belirlenmiştir.

**ABSTRACT****ELECTRICAL CHARACTERIZATION OF  
ZnO/CdS/Cu(In,Ga)Se<sub>2</sub> HETEROJUNCTION SOLAR CELL****KAVASOĞLU A.SERTAP****M.Sc. in Physics****September, 2000**

In this study, temperature dependent current-voltage and complex admittance analysis of n-CdS/p-Cu(In,Ga)Se<sub>2</sub> heterojunction solar cell with absorbing layer having the material compositions of; % 22.26 Cu, % 19.46 In, % 7.27 Ga ve %51.02 Se and prepared by “Prof. Dr. Şener OKTİK at University of Stuttgart IPE” was presented. Result of the JV analysis of the 12% efficient solar cell suggest that the dark current is controlled by the tunneling enhanced interface recombination with an activation energy of 1eV and characteristic tunneling energy of 119meV. The equivalent circuit of the heterojunction structure is found to equal a resistance connected in series with a paralelly connected resistance capacitance combination. The complex impedance measurements are indicated the existence of single junction in the structure. The frequency and temperature dependent capacitance-voltage studies are indicated the existence of two acceptor-like traps activation energies of 30 and 90meV.

## İÇİNDEKİLER

	SAYFA
ÖNSÖZ .....	<b>I</b>
ÖZET.....	II
ABSTRACT.....	III
TABLOLAR LİSTESİ .....	<b>VII</b>
ŞEKİLLER LİSTESİ .....	<b>VIII</b>
<b>BÖLÜM 1 : GİRİŞ .....</b>	<b>1</b>
<b>BÖLÜM 2 TEORİK BİLGİLER.....</b>	<b>4</b>
2.1 PN HETEROEKLEMLER.....	4
2.1.1 ENERJİ BANT PROFİLİ.....	4
2.1.2 PN HETEROEKLEMLERDE AKIM İLETİM MEKANİZMALARI.....	7
2.1.3 PN HETEROEKLEMLERDE EKLEM KAPASİTANSI.....	24

2.2	PN HETEROEKLEMİNİN YÜKSEK FREKANSLARDAKİ AC EŞDEĞER DEVRESİ.....	30
2.3	ADMİTTANS SPEKTROSKOPİSİ İLE PN HETEROEKLEM ARA YÜZYEYİNİN KARAKTERİZASYONU.....	44
2.4	FOTOVOLTAİK ENERJİ ÇEVİRİMİ.....	46
2.4.1	FOTOVOLTAİK ETKİ .....	46
2.4.2	GÜNEŞ PİLİ PARAMETRELERİ .....	47
2.4.3	GÜNEŞ PİLİNİ OLUŞTURAN TABAKALAR.....	54
2.4.4	GÜNEŞ SPEKTURUMU VE OPTİMUM MATERYAL SEÇİMİ	55
<b>BÖLÜM 3 GÜNEŞ PİLİNİN HAZIRLANMASI VE DENEYSEL ÖLÇÜM SİSTEMİ.....</b>		<b>58</b>
3.1	CdS/Cu(In,Ga)Se <sub>2</sub> HETEROEKLEM GÜNEŞ PİLİNİN ÜRETİM AŞAMALARI.....	58
3.2	DÜŞÜK SICAKLIK SİSTEMİ.....	60
3.3	ELEKTRİKSEL ÖLÇÜM SİSTEMİ.....	68
3.4	ADMİTTANS VE EMPEDANS ÖLÇÜM SİSTEMİ.....	72
<b>BÖLÜM 4 DENEYSEL SONUÇLAR VE SONUÇLARIN TARTIŞILMASI.....</b>		<b>74</b>
4.1	ODA SICAKLIĞINDA KARANLIK VE AYDINLIK AKIM – VOLTAJ KARAKTERİSTİĞİ.....	74
4.1.1	AYDINLIK AKIM-VOLTAJ KARAKTERİSTİĞİ. ....	74

4.1.2 KARANLIK AKIM VOLTAJ KARAKTERİSTİĞİ.....	76
4.1.3. KARANLIK VE AYDINLIK KARAKTERİSTİKLERDE ÇAKIŞMA ETKİSİ: .....	78
4.2 SICAKLIK BAĞIMLI KARANLIK AKIM-VOLTAJ KARAKTERİSTİĞİ.....	80
4.3 KAPASİTANS, EMPEDANS VE ADMITTANS ÖLÇÜMLERİ.....	88
4.3.1 Cu(In,Ga)Se <sub>2</sub> TABANLI GÜNEŞ PİLİNİN EŞDEĞER DEVRESİNİN BELİRLENMESİ .....	89
4.3.2 ODA SICAKLIĞINDA KARANLIK KAPASİTANS – VOLTAJ ÖLÇÜMLERİ.....	91
4.3.3 SICAKLIK BAĞIMLI KAPASİTANS – FREKANS VE KONDUKTANS – FREKANS ÖLÇÜMLERİ.....	95
<b>BÖLÜM 5 SONUÇLARIN TARTIŞILMASI.....</b>	<b>103</b>
<b>KAYNAKLAR.....</b>	<b>108</b>
<b>SEMBOLLER .....</b>	<b>114</b>

## TABLOLAR LİSTESİ

	SAYFA
Tablo 3.2.1 Bazı gazların sıvılaşma koşulları .....	61
Tablo 4.1.1 CdS/Cu(In,Ga)Se <sub>2</sub> heteroeklem güneş pilinin 730Watt/m <sup>2</sup> ışınımı altındaki fotovoltaik parametreleri .....	74
Tablo 4.2.1 100 K-300 K sıcaklık aralığında belirlenen diyon parametreleri .....	82
Tablo 4.3.1 Seri ve şönt direnç değerleri .....	89
Tablo 4.3.2 Farklı sıcaklık değerlerinde tespit edilen alçak frekanslardaki kapasitans C <sub>0</sub> ve kritik frekans değerleri ( $\omega_l$ ) ile dielektrik rölaksasyon süreleri( $\tau$ ).....	98

## ŞEKİLLER LİSTESİ

### SAYFA

<p>Şekil 2.1.1 Anderson modeline göre a) eklem oluşturulmadan önceki ve b) sonraki bir pn heteroeklem enerji bant diyagramı [27].....</p> <p>Şekil 2.1.2 Bir p-n heteroeklem enerji bant diyagramında (<math>\chi_p &gt; \chi_n</math> ve <math>\phi_p &gt; \phi_n</math>). a) negatif (0 besleme durumu) ve b) pozitif ters engel (spike) durumu [31].....</p> <p>Şekil 2.1.3 Tek bir merkezin varlığında, yakalama ve ısisal uyarılma oluşumlarının yer aldığı Shockley-Read 'e göre yeniden birleşme modeli [29].....</p> <p>Şekil. 2.1.4 Dolega'nın önerdiği keskin değişimli bir p-n heteroeklem yapıda ara yüzeyler boyunca doğrudan yeniden birleşme mekanizması için bir enerji bant diyagramı [29] .....</p> <p>Şekil 2.1.5 Bir pn heteroeklem yapısında elektronun enerji çıkıntısından (spayk) tünellemesi [29] .....</p> <p>Şekil 2.1.6 Riben'in n-Ge/p-GaAs heteroeklem yapısı için yeniden birleşme-tünelleme modeli [29,42] .....</p> <p>Şekil.2.1.7 V İleri besleme durumundaki bir CdS/Cu (In,Ga)Se<sub>2</sub> heteroeklem yapıda olası yeniden birleşme kanallarının enerji bant diyagramında şematik gösterimi (A) klasik ara yüzeyde yeniden birleşme, (A') ara yüzeyde tünellemenin yükselttiği yeniden birleşme, (B') boşaltılmış bölgedeki yeniden birleşme, (B) boşaltılmış bölgede tünellemenin yükselttiği yeniden birleşme [14] .....</p>	<p style="margin-bottom: 20px;">6</p> <p>9</p> <p>10</p> <p>15</p> <p>16</p> <p>17</p> <p>21</p>
---	--

Şekil.2.1.8	Şekil 2.1.8 Verilen $E_{\infty}$ değerlerine karşılık hesaplanan diyot idealite sabiti değerlerinin 100 K-300 K sıcaklık aralığındaki teorik değişimleri .....	22
Şekil 2.1.9	İsisal dengede bulunan bir pn ekleminin yük dağılımı .....	25
Şekil 2.1.10	Keskin (abrupt) ve ii) doğrusal yük değişimli eklem modellerine göre (a) yüklerin, (b) elektrik alanın, (c) engel potansiyelinin ve (d) pn heteroeklem enerji bant diyagramının konum ile olan değişimi [49] .....	26
Şekil 2.1.11	Keskin ve lineer yük dağılımlı eklem modellerinde kapasitansın ekleme uygulanan potansiyel fark ile olan teoriksel değişimi ( $\epsilon_{CIGS} = 10\epsilon_0$ ).....	29
Şekil 2.1.12	Keskin ve lineer yük dağılımlı eklem modellerine uygun hesaplanmış kapasitans değerlerinin $C^2-V$ değişimi. ....	30
Şekil 2.2.1	a.) Schotky engelinin derin tuzak seviyelerinin varlığı durumunda ac sinyal gerilimi altındaki davranış, b.) bant kıyılarının titresimi, c.) tüketim bölgesindeki yük yoğunluğu değişimi, d.) yük taşıyıcılarının uygulanan ac gerilimle birlikte bant kıyısında gösterdikleri değişim [49] .....	32
Şekil 2.2.2	a.) Birbirine paralel bağlı birer direnç ve kondansatör ile bunlara seri bağlı bir dirençten oluşan bir devre modeli, b.) Basitleştirilmiş eşdeğer devresi .....	33
Şekil.2.2.3	İncelenen devre modelinin empedans eşdeğer devresi .....	34
Şekil 2.2.4	İncelenen devre modelinde ac reaktansının frekansla olan değişimi .....	35
Şekil 2.2.5	İncelenen devre modelinde reaktansın frekansla olan değişimi..	37

Şekil 2.2.6	İncelenen devre modelinde kompleks empedans-empedans değişimi .....	37
Şekil 2.2.7	İncelenen devre modelinde kompleks empedans-empedans değişimi .....	38
Şekil 2.2.8	İncelenen devre modelinde konduktansın frekansla olan değişimi .....	38
Şekil 2.2.9	İncelenen devre modelinde kompleks admittans-admittans değişimi .....	39
Şekil 2.2.10	İncelenen devre modelinde kapasitansın frekansla olan değişimi .....	40
Şekil 2.2.11	İncelenen devre modelinde kapasitansının ve konduktansının frekansla olan değişimi [52].....	41
Şekil 2.2.12	Seri bağlı bir induktörün etkisinde kompleks empedans-empedans değişimi .....	42
Şekil 2.2.13	Seri bağlı bir induktörün etkisinde konduktansın frekansla olan değişimi.....	43
Şekil 2.2.14	Seri bağlı bir induktörün etkisinde empedansın mutlak değeri ile olan frekans değişimi .....	43
Şekil 2.4.1	Bir pn heteroeklem güneş pilinde fotovoltaik etki .....	46
Şekil 2.4.2	İdeal bir güneş pilinin doğru akım eşdeğer devresi .....	49
Şekil 2.4.3	İdeal bir güneş pilinin, seri ve paralel direnç etkilerini kapsayan doğru akım eşdeğer devresi ( $R_L$ yük direncidir) .....	49

Şekil 2.4.4	a.) Seri direnç etkisindeki ve b.) Paralel direnç etkisin deki bir güneş pilinin ışık altındaki I-V karakteristiği [29].....	50
Şekil 2.4.5	Güneş spekturmumun foton enerjisine göre dağılımı [59] .....	56
Şekil 2.4.6	Heteroeklem güneş pillerde yasak enerji aralığının teorik pil verimiyle olan değişim [56] .....	57
Şekil 3.1.1	Cu(In,Ga)Se <sub>2</sub> tabanlı güneş pil yapısının kesit şeması.....	59
Şekil 3.1.2	MG414-72 kod numaralı Cu(In,Ga)Se <sub>2</sub> tabanlı heteroeklem güneş pilinin fotoğrafı.....	59
Şekil 3.2.1	Helyumun faz geçişleri .....	60
Şekil 3.2.2	a.) Helyum pompasının açık blok diyagramı, ve b.) Helyum pompasının dış görünüşü .....	61
Şekil 3.2.3	Düşük sıcaklık sistemi.....	63
Şekil 3.2.4	OXFORD Object bench paket programı [62] .....	63
Şekil 3.2.5	Kreostatin yan kesit görünüşü .....	64
Şekil 3.2.6	Ek kompresörün basınç-hacim (pv) değişimi.....	65
Şekil 3.2.7	Elektronik basınç göstergesi.....	66
Şekil 3.2.8	Basınç sensörü.....	66
Şekil 3.2.9	Vakum pompasının kesit görünüşü.....	67
Şekil 3.2.10	Leybold vakum pompasının kesit görünüşü.....	68

Şekil 3.3.1	Deneysel ölçüm sistemi.....	69
Şekil 3.3.2	Keithley-236 akım-voltaj ölçüm cihazı.....	69
Şekil 3.3.3	Keithley-236 nın bilgisayar iletişiminin şematik gösterimi.....	70
Şekil 3.3.4	Ara yüzey kontrol kartı.....	70
Şekil 3.3.5	TestPoint yazılımıyla Keithley-236 nın kontrol edilmesi .....	72
Şekil 3.4.1	HP4192A .Empedans Analizörü.....	73
Şekil 3.4.2	a.) İstenmeyen indüktif ve kapasitif etkiler, b.) HP16047A Test kutusu.....	73
Şekil 4.1.1	Heteroeklem güneş pillerinin aydınlık akım-voltaj karakteristiği .....	75
Şekil 4.1.2	Güneş pilinin oda sıcaklığında ve karanlıktaki I-V karakteristiği.....	76
Şekil 4.1.3	a.) Paralel bağlı iki diyod için eşdeğer devre modeli b.) Teorik ve deneysel verilerin karşılaştırılması.....	77
Şekil 4.1.4	Karanlık ve aydınlık karakteristiklerinde çapraz çakışım etkisi .....	79
Şekil 4.2.1	100K-300K sıcaklık aralığındaki akım-gerilim karakteristiği ....	83
Şekil 4.2.2	a.) $\log I_o$ in $1/T$ ile değişimi, b.) $\log I_o$ in $T$ ile değişimi .....	84
Şekil 4.2.3	$AInJ_0 - 1/T$ Arrhenius gösterimi.....	86
Şekil 4.2.4	$1/A$ nın sıcaklıkla değişimi ve ara yüzeyde tünellemenin çoğaltığı yeniden birleşme modeli için teorik değişim.....	87

Şekil 4.2.5	1/A nin sıcaklıkla değişimi ve boşaltılmış bölgede tünellemenin çoğaltığı yeniden birleşme modeli için teorik değişim.....	88
Şekil 4.3.1	Kompleks empedansın a.) lineer, b.) logaritmik değişimi .....	90
Şekil 4.3.2	Cu(In,Ga)Se <sub>2</sub> tabanlı heteroeklem güneş pilinin eşdeğer devresi.....	91
Şekil 4.3.3	Güneş pilinin 250kHz ve 350kHz deki 1/ C <sup>2</sup> -V değişimi	92
Şekil 4.3.4	Güneş pilinin 250kHz - 1MHz frekans aralığında, a.) C-V ve b.) C <sup>-2</sup> -V karakteristikleri.....	93
Şekil 4.3.5	Devre modeline tükenmiş bölgesinden gelen kapasitansın katılımı.....	94
Şekil 4.3.6	Güneş pilinin a.) 100-320K sıcaklık aralığındaki C-f karakteristikleri b.) 300K deki karakteristiğin teorik eşdeğer devre modeliyle olan uyumu.....	96
Şekil 4.3.7	Güneş pilinin 100-320K sıcaklık aralığındaki G-f karakteristikleri .....	97
Şekil 4.3.8.	Kapasitansın farklı sıcaklıklar için diferansiyel spektrasi.....	99
Şekil 4.3.9	Konduktansın 1/w ile olan değişimi .....	99
Şekil 4.3.10	Dielektrik rölausyon zamanının 1/T ile olan değişimi.....	100
Şekil 4.3.11	Bükülme frekansının sıcaklığın tersiyle olan a.) 100-200K, b.) 240-320K aralığındaki Arrhenius gösterimi..	101

## BÖLÜM 1

### GİRİŞ

Gün geçtikçe artan düşük maliyetli alternatif enerji kaynaklarına olan gereksimin ve dünyanın ekolojik dengesine verilen önem nedeniyle güneş enerjisinin doğrudan elektrik enerjisine fotovoltaik çevrimi güncellliğini koruyan bir araştırma konusu olmaya devam etmektedir. İlk silisyum tabanlı fotovoltaik pilin 1954 yılında üretilmesinden günümüzde kadar geçen süre içerisinde, fotovoltaik materyaller ile bunların işleme teknolojilerinde büyük ilerlemeler kaydedilmiştir [1-3]. Tek kristal GaAs [4] ve Si [5] tabanlı pillerde güneş enerjisinin % 24.4'ün üzerinde bir verimle elektrik enerjisine çevrimi mümkün olmasına karşın, tek kristal teknolojileri yüksek materyal maliyeti ile büyük alanlı seri üretim için gerekli donanımın yüksek sermaye gerektirmesi problemi ile karşı karşıyadır. Bunun yanı sıra polikristal ince film teknolojisi büyük alanlı, yüksek verimli fotovoltaik modüllerin düşük maliyette üretimine izin vermektedir. Güneş pili uygulamaları için değerlendirilen düşük maliyetli üretim teknolojisine sahip bir çok alternatif materyal arasından, ince film kalınlığının 1-2  $\mu\text{m}$  olmasına olanak veren yüksek optiksel soğurma katsayısına ( $\alpha = 10^4\text{-}10^5 \text{ cm}^{-1}$ ) sahip Cu(In,Ga)Se<sub>2</sub> (CIGS) [6] önemli soğurucu bir tabaka adayı olarak görülmektedir. Ayrıca, CIGS tabanlı ince film güneş pillerin dış ortamdaki çalışmalarında oldukça kararlı ve radyasyona karşı dayanıklı oldukları bilinmektedir. Küçük alanlı pillerde %18 civarında [7] ve büyük alanlı modüllerde (1.2 kW) %11.8 [8]'e ulaşan çevirim verimliliğine düşük maliyetli fabrikasyon teknikleri yardımcı ile ulaşılmasına olanak vermesi nedeniyle de günümüzde popüler bir çalışma konusu olmaktadır [3].

En iyi performans özelliklerini gösteren heteroeklem CIGS güneş pili yapısı, soğurucu Cu(In,Ga)Se<sub>2</sub> ve pencere ZnO tabakları arasında yer alan ve genellikle kalınlığı yaklaşık 50 nm olan CdS ara (tampon) tabakasını içermektedir. Cu(In,Ga)Se<sub>2</sub> sistemi, yasak enerji aralık değerlerinin CuInSe<sub>2</sub> için 1.04 eV ve CuGaSe<sub>2</sub> için 1.68 eV olacak şekilde değiştiği geniş bir aralıktaki soğurucu materyal kullanım olanağını fotovoltaik uygulamalar için sağlamaktadır. Ancak, verimi en yüksek olan güneş pil yapısı, yasak enerji aralığı 1.2 eV olan ve Ga/(Ga+In) oranı

0.25 olarak belirlenen Cu(In,Ga)Se<sub>2</sub> tabakasını temel almaktadır. Son yıllarda ele alınan dört önemli teknolojik adım Cu(In,Ga)Se<sub>2</sub> güneş pili verimliliğinin önemli derecede iyileşmesine neden olmuştur. Bu adımlar kısaca aşağıda verildiği gibi sıralanabilir [3];

- a) Soğurucu tabakanın Cu<sub>y</sub>Se ( $y < 2$ ) yapısını içermesi kristal yapıyı daha düzgünleştirerek film kalitesinin daha çok iyileşmesine neden olmaktadır.
- b) Sodyum (Na) içermeyen cam tutucu yerine Na içeren soda-lime cam tutucunun kullanımı, güneş pili verimliliği ve güvenilirliğinde önemli iyileşmelere neden olmaktadır. Na' un cam tutucudan soğurucu materyale doğru sızıp NaSe [9], Na<sub>2</sub>O<sub>2</sub> [10] ve NaF [11] vb. gibi yapılar oluşturduğu ve bu sodyum içeren yapıların film morfolojisini iyileştirip iletkenliğini arttıracak daha iyi güneş pili performans karakteristiğine [12] yol açtığı belirtilmektedir. Bunların yanı sıra sodyum ve oluşturduğu yapılar soğurucu materyalin kusur dağılımında değişikliklere neden olmaktadır [13].
- c) İlk araştırmalarda üretilen güneş pillerde soğurucu materyal tabaka olarak daha çok CuInSe<sub>2</sub> tercih edilmiş ancak daha sonra CuInSe<sub>2</sub> yapısında bulunan indiyumun bir kısmının galyum ile yer değiştirmesi sağlanarak üretilen Cu(In,Ga)Se<sub>2</sub> ile yasak enerji aralık değerinin 1.04 eV den en yüksek verimliğin elde edildiği 1.2-1.3 eV değerine kolaylıkla arttırılması sağlanmıştır [14].
- d) İlk pillerde, yaklaşık 2  $\mu\text{m}$  kalınlığında olan pencere materyali CdS fiziksel buharlaştırma metodu kullanılarak soğurucu CuInSe<sub>2</sub> tabakası üzerine depolanmakta idi. Bu yapının yerini yüksek iletkenliğe sahip ZnO pencere materyali ile soğurucu Cu(In,Ga)Se<sub>2</sub> arasında yer alan ve kimyasal banyo depolama tekniği ile hazırlanan 50 nm lik kalınlığa sahip CdS ara (tampon) tabakadan oluşan güneş pili yapısı almıştır.

CIGS-tabanlı güneş pillerinin temel aygit fiziksel özelliklerinin net olarak anlaşılabilmesi, aygit parametrelerinin optimize edilip verimi yüksek aygitların tasarım stratejisinin belirlenmesi açısından oldukça önemli olduğu bilinmektedir.

Yaklaşık son on yıldır devam eden araştırmaların büyük bir çoğunluğu CIGS soğurucu tabakanın yapısal, elektronik ve optiksel özelliklerini [15-18] üzerine olup son yıllarda özellikle bu bilgilerin heteroeklem aygıtın elektriksel parametreleri üzerine olan etkileri aktif bir araştırma konusu olmaya devam etmektedir [3, 14, 19-26].

Bu tez çalışmasında Stuttgart Üniversitesi IPE laboratuarlarında Prof. Dr. Şener Oktik tarafından hazırlanan ve emici tabakasını oluşturan materyallerin görelî ağırlık oranları; % 22.26 Cu, % 19.46 In, % 7.27 Ga ve % 51.02 Se olan p-Cu(In,Ga)Se<sub>2</sub>/n-CdS heteroeklem güneş pilin elektriksel karakterizasyonu gerçekleştirilmiştir. Tez aşağıda sıralanan formatı takip etmektedir; İlk bölümde teorik bilgiler ana başlığı altında, pn heteroeklemlerin teorisi ve yüksek frekanslardaki eşdeğer devresi, admittans spektroskopisi ile pn heteroeklem ara yüzeyinin karakterizasyonu ve fotovoltaik enerji çevrimi ile ilgili teorik bilgiler kısaca anlatılmıştır. Üçüncü bölümde, Güneş pilinin hazırlanması ile ilgili kısa bilgiler ve kullanılan deneysel ölçüm sistemleri açıklanmıştır. Dördüncü bölümde sıcaklık bağımlı akım-gerilim ve admittans ölçümleri sonucunda elde edilen verilerin teorik yaklaşımlar altında incelenmesi ve elde edilen bulguların tartışılmaması üzerinde durulmuştur. Son beşinci bölümde ise elde edilen sonuçlar tartışılmıştır.

## BÖLÜM 2

### TEORİK BİLGİLER

#### 2.1 PN HETEROEKLEMLER

Farklı yarı-iletken materyallerin birleşmesiyle meydana gelen aygıtlara heteroeklem aygıtlar denir. Heteroeklem güneş pilleri çoğunlukla optiksel emilimin gerçekleştiği dar yasak enerji aralığına sahip p-tipi yarıiletken ile, pencere görevi gören geniş yasak enerji aralığına sahip n-tipi yarıiletkenden üretilirler. Bu bölümde sadece bu tip n-p heteroeklemlerin kısa teorisinden bahsedilecektir.

#### 2.1.1 ENERJİ BANT PROFİLİ

Herhangi bir pn heteroeklemin ara yüzeye yakın bölgesindeki enerji bant profiliinin şekli, eklemi oluşturan yarı-iletken materyallerin elektron düşkünlüğü (affinity; yarı-iletkenin iletkenlik bandının alt kıyısında bulunan bir elektronu vakum seviyesine çıkarabilmek için gerekli olan enerji miktarı) değerlerine  $\chi$ , iş fonksiyonu (yarı-iletkenin Fermi enerji seviyesinde bulunan bir elektronu vakum seviyesine çıkarabilmek için gerekli olan enerji miktarı) değerlerine  $\phi$  ve  $E_g$  yasak enerji aralık değerlerine bağlı olarak değişmektedir. İş fonksiyonları ve Fermi enerji seviyeleri farklı olan iki yarı iletken bir biriyle kontak yapıldığında, n-tipi yarı iletken içerisinde eklem komşuluğunda yer alan elektronlar geride pozitif yüklü verici (donor) iyonları bırakarak p-tipi materyale doğru hareket ederken, p-tipi materyalin içerisinde eklem komşuluğunda bulunan deşikler de geride negatif yüklü alıcı (akseptör) iyonları bırakarak n-tipi materyale doğru hareket ederler. Bu olay, her iki yarı iletkendeki Fermi enerji seviyeleri eşitleninceye deigin sürer. Sonuçta, eklem civarında serbest yüklerden boşaltılmış n ve p tipi bölgelerde bulunan verici ve alıcı iyonları, iletim ve değerlik bantlarının eğilmesine neden olurlar. Bantlardaki bu eğilme miktarı eklemi oluşturan her iki yarı iletken materyalin iş fonksiyonlarının farkına eşit olup engel potansiyeli  $V_{bi}$  adını alır. Her iki yarı iletken materyalin elektron ve deşik düşkünlük değerleri farklı olduklarından iletkenlik ve değerlik bandı kıyılarında  $\Delta E_c$  ve  $\Delta E_v$  adı

verilen enerji süreksizlikleri oluşur. Dar yasak enerji aralığına sahip p-tipi yarı-iletken ile geniş yasak enerji aralığına sahip n-tipi yarı-iletkenin, eklem oluşturulmadan önceki ve oluşturuluktan sonraki enerji bant profili sırasıyla Şekil 2.1.1.a ve b de gösterilmektedir. Anderson [27] tarafından önerilen modele uygun olarak çizilen bu enerji bant profilinde  $\chi_p < \chi_n$ ,  $\phi_p > \phi_n$  ve  $E_{gp} < E_{gn}$  olacak şekilde seçilmiş olup ara yüzey durumlarının etkileri ihmali edilmiştir. Genişlikleri sırasıyla  $w_n$  ve  $w_p$  olan serbest yüklerden boşaltılmış n- ve p-tipi bölgelerdeki tüm verici  $N_D$  ve alıcı  $N_A$  yoğunlıklarının iyonize olduğu ve x konumu ile keskin bir biçimde (abrupt) değiştiği varsayıldığı durumunda, eklemenin merkezindeki ( $x = 0$  konumunda) yük nötralizasyonu koşulu aşağıda verildiği gibidir.

$$N_A w_p = N_D w_n \quad (2.1.1)$$

Eklem bölgesindeki elektrik alan şiddeti Poisson denkleminin,  $d\varepsilon/dx = \rho/\varepsilon_s$  yardımı ile belirlenebilir, burada  $\rho$  yük yoğunluğunu  $\varepsilon_s$  ise yarı iletkenin di-elektrik sabiti değerini ifade etmektedir. Verici yoğunluğunun n-tipi, alıcı yoğunluğunun ise p-tipi yarı iletkenin boşaltılmış bölge sınırları içerisinde sabit olduğu varsayıldığında, elektrik alan şiddeti  $\varepsilon(x)$  konumun fonksiyonu olarak aşağıdaki gibi ifade edilebilir,

$$\varepsilon(x) = q N_A (x - w_p) / \varepsilon_p \quad 0 < x < w_p \text{ için,} \quad (2.1.2)$$

$$\varepsilon(x) = -q N_D (x - w_n) / \varepsilon_n \quad -w_n < x < 0 \text{ için,}$$

$q$  birim yükü,  $\varepsilon_p$  ve  $\varepsilon_n$  ise sırasıyla p ve n tipi yarı iletken materyallerin di-elektrik sabiti değerleridir. Boşaltılmış bölge boyunca elektrostatik potansiyeldeki değişim,  $dV/dx = \varepsilon(x)$  ile verildiğinden potansiyelin konum ile olan değişimi aşağıda verildiği gibi olur,

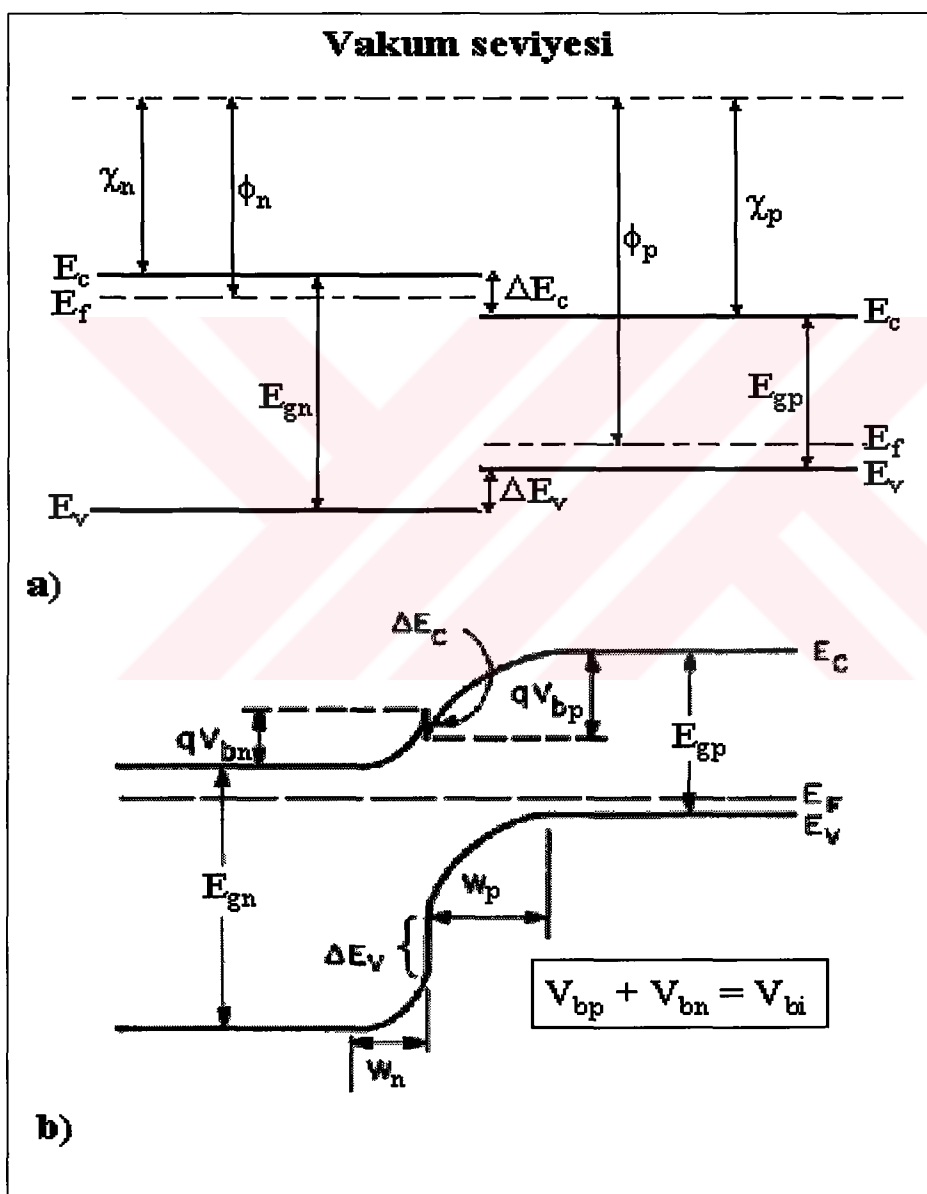
$$V(x) = q N_D (x + w_n)^2 / 2\varepsilon_n \quad -w_n < x < 0 \text{ için,} \quad (2.1.3)$$

$$V(x) = q N_A (2xw_p - x^2) / 2\varepsilon_p + q N_D w_n^2 / 2\varepsilon_n \quad 0 < x < w_p \text{ için}$$

Boşaltılmış bölge boyunca potansiyelde olan değişim toplam engel potansiyeli yada difüzyon potansiyeli olarak adlandırılır. Denklem 2.1.3 yardımı ile engel potansiyeli,

$$V_{bi} = q/2 ( N_D w_n^2 / \epsilon_n + N_A w_p^2 / \epsilon_p ) = V_{bn} + V_{bp} \quad (2.1.4)$$

lur, burada  $V_{bn}$  ve  $V_{bp}$  Şekil 2.1.1.de gösterilen n ve p kısımlardaki engel potansiyel yükseklik değerleridir.



Şekil 2.1.1 Anderson modeline göre a) eklem oluşturulmadan önceki ve b) sonraki bir pn heteroeklem enerji bant diyagramı [27].

**2.1.2 PN HETEROEKLEMLERDE AKIM İLETİM  
MEKANİZMALARI**

Bir güneş pilinin ışık altındaki davranışının bilinmesi kadar, doluluk faktörü, açık devre gerilimi gibi aygit verimliliğini etkileyen karanlık akım-iletim mekanizmalarının belirlenmesi de oldukça önemlidir. İleri besleme uygulanan bir pn (yada np) heteroeklem aygitin eklem bölgesinde etkin olabilecek akım-iletim modellerinin en önemlileri aşağıdaki gibi sıralanabilir;

- A) ideal difüzyon ve emisyon,
- B) serbest yüklerden arınmış (boşaltılmış) bölgede yeniden birleşme-yaratılma,
- C) ara yüzeyler boyunca yeniden birleşme (recombination),
- D) tünelleme.

**a-) İdeal Difüzyon ve Emisyon:** Heteroeklemler için difüzyon akım iletim modeli ilk kez Anderson [27-29] tarafından Shockley' in difüzyon modeli temel alınarak geliştirilmiştir. Arayüzey ve dipol etkilerinin ihmali edildiği bu modelde, ara yüzeyde bant kenarlarındaki enerji süreksizlikleri nedeniyle difüzyon akımı tamamen elektron veya tamamen deşiklerden oluşmaktadır. Şekil 2.1.1.b de gösterilen bir p-n heteroeklem yapısı için elektronlar deşiklere nazaran daha küçük bir engel ile karşılaşlığı için baskın olan akım taşıyıcıları elektronlar olmalıdır. Pearlman ve Feucht' un [30] geliştirdiği emisyon modeli ise Schottky metal-yarı iletken emisyon modelini temel almaktadır. Bu modellerin her ikisinde de ara yüzeyde, iletim bandı kenarlarında aşağı ve yukarı doğru yönelik birer çıkıştı (spike ve notch) şeklinde enerji engelleri ( $\Delta E_c$ ) bulunmaktadır. Bu çıkışlıklar Şekil 2.1.2 a ve b de gösterildiği gibi negatif yada pozitif ters engel şeklinde olabilirler. Pozitif ters engel biçiminde bir çıkışının varlığında (Şekil 2.1.2.b), n tipi bölgeden p-tipi bölgeye doğru hareket eden elektronlar  $qV_{bn}$  engeli ile p-tipi bölgeden n-tipi bölgeye hareket eden elektronlar ise  $\Delta E_c - qV_{bp}$  engeli ile karşılaşırlar. İsisal denge durumunda eklemden akan net akım sıfır olduğundan ters yönlerde doğru akan elektron akıları eşit olmalıdır,

$$A_1 \exp [ - (\Delta E_c - qV_{bp}) / kT ] = A_2 \exp [ - qV_{bn} / kT ] \quad (2.1.5)$$

Burada  $A_1$  ve  $A_2$  katsayıları yarı iletken materyallerin katkı düzeyleri ile yük taşıyıcılarının efektif kütlelerine bağlıdır.  $k$  Boltzman sabiti değeri,  $T$  ise Kelvin cinsinden saf sıcaklığı belirtmektedir. Ekleme  $V$  ileri besleme gerilimi uygulandığında eklemin iki yanındaki n- ve p-tipi bölgelere düşen gerilimler bu kısımların birbirlerine göre olan katkı düzeylerine aşağıda ifade edildiği gibi bağlıdır,

$$V_n = K_n V, \quad K_n = [1 + (N_D \epsilon_n / N_A \epsilon_p)]^{-1} \quad (2.1.6)$$

$$V_p = K_p V, \quad K_p = 1 - K_n \quad (2.1.7)$$

Uygulanan ileri besleme geriliminin etkisinde, enerji engelleri,  $q(V_{bn} - V_n)$  ve  $[\Delta E_c - q(V_{bp} - V_p)]$  kadar azalır. Bu durumda her iki modelde de akım gerilim ifadesi aşağıda verildiği gibi ifade edilebilir [27,31],

$$I = A_{A,p} \exp(-q V_{bn}/kT) [\exp(q V_n/kT) - \exp(q V_p/kT)] \quad (2.1.8)$$

$A_{A,p}$  katsayısı, Anderson'un modeline göre,

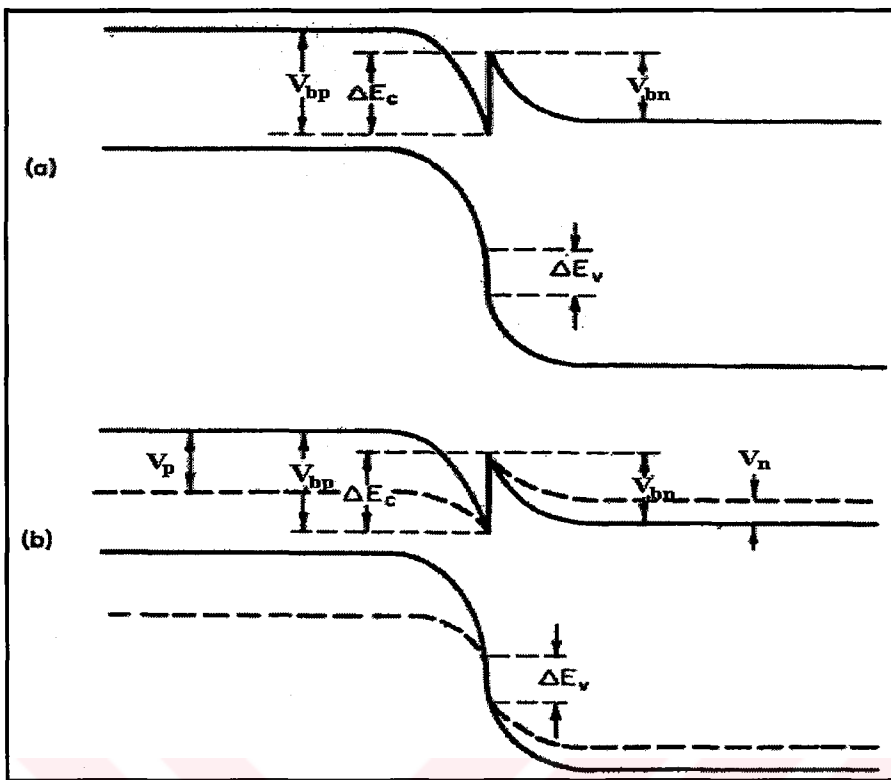
$$A_{A,p} = X_A q N_D (D_e / \tau_e) \quad (2.1.9)$$

olarak verilmektedir, burada  $D_e$  ve  $\tau_e$  elektron için difüzyon uzunluğu ve yaşam süresini,  $X_A$  engeli geçebilecek enerjiye sahip olan yük taşıyıcı yüzdesini tanımlamaktadır. Bu modelde, ekleme ileri beslemenin uygulandığı ve  $V_n = K_n V \gg kT$  durumunda Denklem 2.1.8 de ifade edilen akım, uygulanan gerilim ile aşağıda verildiği şekilde değişmektedir,

$$I = A_A \exp(-q V_{bn}/kT) \exp(q V_n/kT) \quad (2.1.10)$$

Pearlman ve Feucht'un [30] emisyon modelinde akım-gerilim bağıntısı,

$$I = \frac{1}{2} X_p q N_D \vartheta_{th} (-q V_{bn}/kT) [\exp(q V_n/kT) - \exp(q V_p/kT)] \quad (2.1.11)$$



Şekil 2.1.2 Bir p-n heteroeklem enerji bant diyagramında ( $\chi_p > \chi_n$  ve  $\phi_p > \phi_n$ ) negatif (sıfır besleme durumu) ve b) pozitif ters engel (spike) durumu. Kesikli çizgiler düz ön gerilim durumundaki eklemi göstermektedir. [31].

olarak verilmektedir, burada  $X_p$  ile  $X_A$  aynı anlamdadır ve  $\vartheta_{th}$  n-tipi yarı iletkenindeki serbest elektronlar için ortalama ısisal hızı ifade etmektedir.

Her iki modelde ifade edilen akım-gerilim bağıntısındaki ortak olan özellikler aşağıdaki gibi sıralanabilir;

- Sabit sıcaklıkta, ileri besleme durumunda akımının uygulanan gerilim ile olan değişimi,

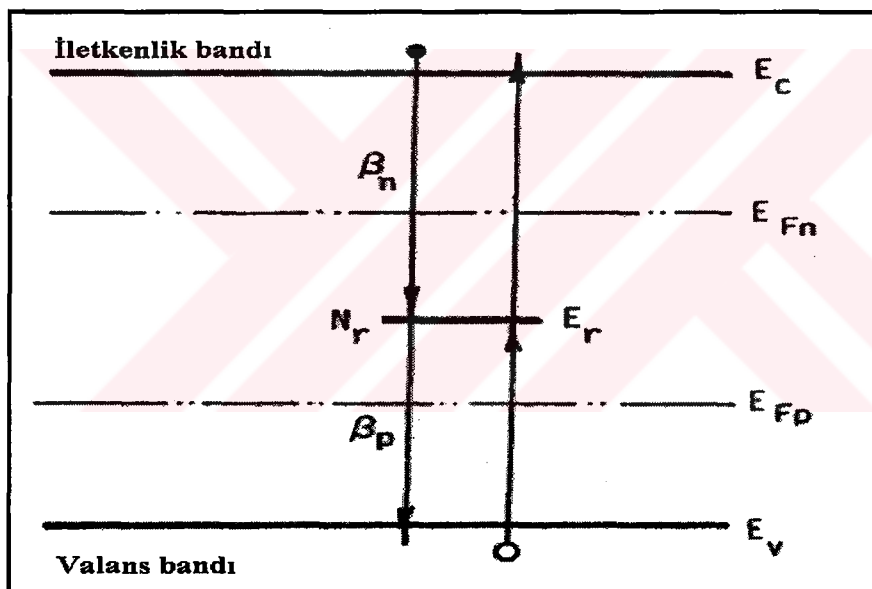
$$I \propto \exp(qV/AkT) \quad (2.1.12)$$

şeklinde olup negatif veya pozitif ters engel için  $A = 1$  veya  $A = 1/K_n$  dir.

- Sabit gerilim altında,  $\ln I$  ifadesi  $T^{-1}$  ile yaklaşık olarak doğrusal olarak değişmektedir.

### b-) Serbest Yüklerden Boşaltılmış Bölgede Yeniden Birleşme-Yaratılma

(R/G): Heteroeklem yapılarındaki, yeniden birleşme akım mekanizması [29], simetrik homoeklem yapılar için Sah, Noyce ve Schokley tarafından geliştirilen klasik modele oldukça benzemektedir. Aşağıda açıklanan Schockley-Read yeniden birleşme modeli, katkısızlık (intrinsic) enerji seviyesi ( $E_i$ ) elektron ( $E_{Fn}$ ) ve deşikler ( $E_{Fp}$ ) için sözde(quasi) Fermi seviyelerinden eşit uzaklıkta ise yeniden birleşme oranının maksimum olduğunu göstermektedir. Şekil 2.1.3 de tek bir merkez üzerinde tasvir edilen Schockley-Read 'in klasik modelinde elektron ve deşiklerin yeniden birleşme merkezleri tarafından yakalanmasının yanı sıra bu merkezlerden ısisal olarak uyarılan elektronların iletim bandına, deşiklerin ise değerlik bandına olan geçişleri de dikkate alınmıştır.



Şekil 2.1.3. Tek bir merkezin varlığında, yakalama ve ısisal uyarılma oluşumlarının yer aldığı Schockley-Read 'e göre yeniden birleşme modeli [29]

Bu modele göre, merkezler tarafından net elektron yakalama oranı aşağıda verildiği gibidir,

$$dn_r / dt = n(N_r - n_r)\beta_n - nN_C\beta_n \exp\{-(E_C - E_r)/kT\} \quad (2.1.13)$$

$N_r$  yeniden birleşme merkezlerinin yoğunluğunu,  $n_r$  elektron tarafından doldurulan merkezlerin yoğunluğunu,  $n$  serbest elektron yoğunluğunu,  $\beta_n$  boş bir yeniden birleşme merkezinin elektron yakalama olasılık katsayısını ve  $E_r$  ise yasak enerji aralığında bulunan merkezin enerji değerini ifade etmektedir. Denklem 2.1.13 deki ilk terim boş bir merkezin serbest elektron yakalama oranını, ikinci terim ise dolu bir merkezde bulunan ısisal olarak uyarılmış elektronların iletim bandına geçme oranını ifade etmektedir. Benzer şekilde yeniden birleşme merkezleri tarafından net deşik yakalama oranı aşağıda verildiği gibidir,

$$d(N_r - n_r) / dt = p n_r \beta_p - (N_r - n_r) N_v \beta_p \exp\{-(E_r - E_v) / kT\} \quad (2.1.14)$$

Bu ifadedeki ilk terim elektron ile dolu bir merkezin değerlik bandından deşik yakalama oranını ikinci terim ise boş bir merkezden ısisal uyarılma sonucu yayımlanan deşigin değerlik bandına geçme oranını göstermektedir. Durgun koşullarda her iki oran eşit olduğundan net yeniden birleşme oranı Denklem 2.1.13 ve 2.1.14 yardımı ile aşağıda verildiği gibi bulunabilir,

$$U = \frac{p n - n_i^2}{\tau_{po}(n + n') + \tau_{no}(p + p')}, \quad (2.1.15)$$

burada  $n'$  (ve  $p'$ ) nicelikleri Fermi enerji seviyesi yeniden birleşme merkezi ile çakışmış durumda iken ki serbest elektron (deşik) yoğunluğunu,  $n_i$  katıksız (intrinsic) yük taşıyıcı yoğunluğunu,  $\tau_{no}$  ve  $\tau_{po}$  nicelikleri eklemin  $n$  ve  $p$  bölgelerindeki azınlık yüklerinin yaşam sürelerini ifade etmektedirler.

$$\begin{aligned} n' &= n_i \exp\{(E_r - E_i)kt\} \\ p' &= n_i \exp\{-(E_r - E_i)/kT\} \\ \tau_{no} &= 1/\beta_n N_r \\ \tau_{po} &= 1/\beta_p N_r \end{aligned}$$

olarak yazılabilir. Yeniden birleşme merkezinin  $E_i$  katıksız enerji düzeyinde olduğu durumda ( $\tau_{no} = \tau_{po}$ ) Denklem 2.1.15 ile verilen Shockley-Read in yeniden birleşme ifadesi aşağıda verilen maksimum değer alır,

$$\begin{aligned} U_{max} &\equiv \frac{n_i^2 \{exp[(E_{Fn} - E_{Fp})/kT] - 1\}}{\tau_{po} n_i \{exp[(E_{Fn} - E_i)/kT + 1\} + \tau_{no} n_i \{exp[(E_i - E_{Fp})/kT] + 1\}} \\ &\approx \frac{n_i}{2\tau_{no}} [exp(\frac{qV}{Akt}) - 1] \end{aligned} \quad (2.1.16)$$

$V$  ileri besleme gerilimin uygulandığı durumda, eklemdeki yeniden birleşme/yaratılma (R/G) akımı yaklaşık olarak,

$$J_{R/G} = q \int_{w_p}^{w_d} U_{max} dw \approx \frac{n_i w_d k t}{2(V_d - V) \tau_{no}} [exp(\frac{qV}{Akt}) - 1] \quad (2.1.17)$$

olur, burada  $w_d$  boşaltılmış bölgenin genişliğidir. A parametresinin değeri, eklem simetrisine olduğu kadar yasak enerji aralığındaki tuzak enerji düzeylerinin dağılımına da bağlı olarak 1 ile 2 arasında değişebilmektedir.

Sah, Noyce ve Schokley, geliştirdikleri boşaltılmış bölge içerisinde yeniden birleşme/yaratılma akım iletim modelinde sözde (quasi) Fermi düzeylerinin bu bölge içerisinde sabit olduğunu, sadece katıksız Fermi enerji seviyesinde ( $E_i$ ) tek bir düzeyde bulunan birleşme merkezlerin önemli olduğunu, eklemde her iki yanında bulunan bölgelerde azınlık yük taşıyıcı sayısının eşit olduğunu ve boşaltılmış bölge içerisindeki yeniden birleşme hızının yaklaşık sabit kaldığını varsayıarak karanlık R/G akımının aşağıda verildiği gibi olduğunu ifade etmişlerdir.

$$I = \frac{qn_i w_d(V)}{(\tau_{no} \tau_{po})^{1/2}} \left\{ \frac{2 \sinh(qV/2kT)}{q(V_{bi} - V)/kT} \right\} f(b) \quad (2.1.18)$$

$V$  eklem üzerine etkiyen gerilimi,  $V_{bi}$  eklem bölgesinde bantlardaki eğilmeyi (engel potansiyelini) göstermektedir. Ayrıca,

$$f(b) = \int_{z_1}^{z_2} \frac{dz}{(z^2 + 2bxz + 1)} \quad (2.1.19)$$

$$\begin{aligned} b &= \exp(-qV/kT) \cosh\{[(E_r - E_i)/kT] + \ln(\tau_{po}/\tau_{no})^{1/2}\} \\ z_{1,2} &= (\tau_{no}/\tau_{po})^{1/2} \exp[\mp(qV_{bi} - E_{Fn} + E_{Fp})/2kT] \end{aligned} \quad (2.1.20)$$

Bu model, tuzak enerji düzeylerinin sadece yasak enerji aralığının ortasında yer almadığı farklı katkı düzeylerine sahip bölgelere sahip eklem yapıları için Choo [32] ve Smith [33] tarafından yeniden geliştirilmiştir. Yaklaşık simetrik olarak katkıllanmış heteroeklem bir yapıda genellikle  $N_D \gg N_A$  olduğu için yeniden birleşme akımının, n-tipi materyale nazaran küçük yasak enerji aralığına sahip p-tipi materyal içerisinde daha büyük olması beklenir. Choo  $f(b)$ 'nin maksimum değerini  $\pi/2$  olarak belirlemiştir. Denklem 2.1.18 de verilen R/G akımı aşağıda verilen denklemler de kullanılarak basitleştirilebilir.

$$n_i^2 = N_c N_v \exp(E_g/kT) \quad (2.1.21)$$

$N_D \gg N_A$  koşulunda tükenmiş bölgenin genişliği,

$$w = (2\varepsilon/N_A)^{1/2} (V_{bi} - V)^{1/2} \quad (2.1.22)$$

ve uygulanan gerilim  $V \gg 2kT/q$  ise  $\sinh(qV/2kT) \approx \exp(qV/2kT)$  olur. Bu durumda R/G akımı;

$$J = J_0 \exp(qV/2kT) \quad (2.1.23)$$

olur, burada

$$J_0 = J_{00} \exp(-E_g/2kT) \quad (2.1.24)$$

ve,

$$J_{00} = kT \sqrt{\left(2N_c N_v \varepsilon / qN_A \tau_{p_0} \tau_{n_0}\right)} (V_{bi} - V)^{\frac{1}{2}} \quad (2.1.25)$$

olduğundan R/G ters doyma akımı kısaca aşağıdaki gibi verilebilir,

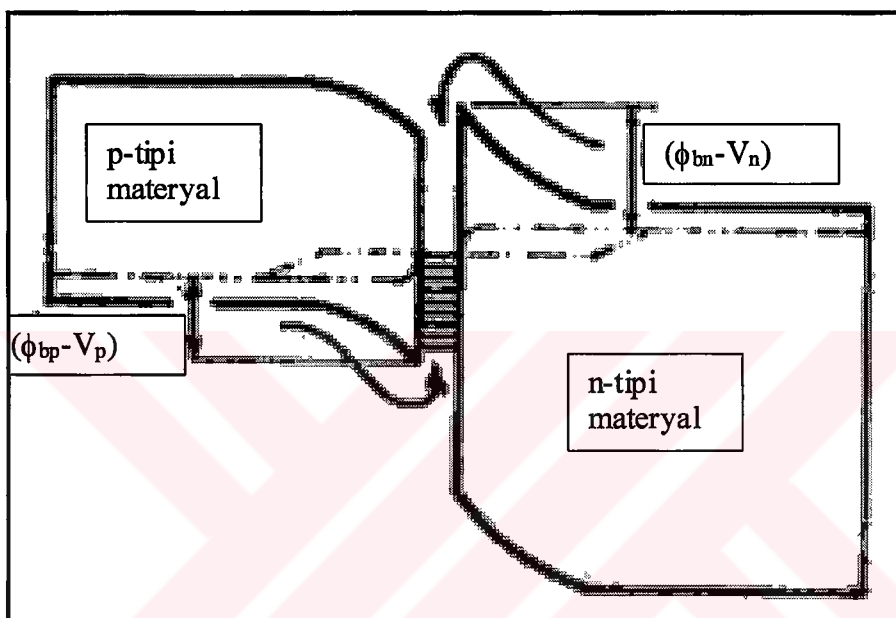
$$J_o \propto T^{2.5} \exp(-\Delta E / AkT) , \quad \Delta E \approx E_g / 2 \quad (2.1.26)$$

Bu modelde p-tipi materyalin içerisindeki yeniden birleşme merkezlerinin akım iletiminde etkin olduğu durumda In J in 1/T ile olan değişiminden hesaplanan  $\Delta E$  aktivasyon enerjisi yaklaşık olarak p-tipi materyalin yasak enerji değerinin yarısına eşit olur.

**c-) Ara yüzeyler Boyunca Yeniden Birleşme:** Ara yüzeyler boyunca doğrudan yeniden birleşme akım mekanizması eklem ara yüzeyindeki enerji süreksızlıklarının ve ara yüzey durumlarının varlığı nedeniyle birçok heteroeklem yapı için oldukça önemli bir geçiş mekanizmasıdır. Ayrıca p-n eklemi oluşturan materyallerin örgü sabiti değerlerinin farklı olması bu mekanizmada etkin bir rol almaktadır. Bir p-n heteroeklem yapıda yeniden birleşme akımının ara yüzey durumları yolu ile yada boşaltılmış bölge boyunca etkin olması eklem bölgesindeki bant profilinin yapısı ile doğrudan ilişkilidir. Dolega [34] p-n eklemi için (Şekil 2.1.4) ve Oldham ve Milnes [35] izotip eklem için ara yüzey enerji durumları yolu ile doğrudan yeniden birleşme modelini önermişlerdir. Her iki modelde de heteroeklem yapı, sınırda bulunan yük taşıyıcı yoğunlukları uygulanan gerilime bağlı olarak değişen seri bağlı iki Schottky diyottan oluşmuş olarak ele alınmıştır. Dolega'nın teorisini kullanarak, Van Opdorp [36] tarafından geliştirilen ileri besleme durumundaki akım-gerilim denklemi,

$$\begin{aligned} J &= J_o [\exp(qV / AkT) - 1] \\ J_o &= J_{oo} \exp(-qV_{bi} / AkT) \end{aligned} \quad (2.1.27)$$

$A$ 'nın değeri  $[1 + \epsilon_p N_A / \epsilon_n N_D]$  oranına bağlı olup 1 ve 2 değerleri arasında değişebilmektedir ve  $J_{oo}$  sıcaklıkla zayıf olarak bağlıdır [29]. Bu model temelde, Sah, Noyce ve Shockley'in yeniden birleşme merkezlerinin düzenli dağıldığı durumun ele alındığı kısım b.) de anlatılan R/G modeline benzemesine karşın, bu modelde yeniden birleşme merkezleri sürekli bir enerji dağılımına sahiptir ve ara yüzeyde oldukça dar bir bölgede sınırlanmışlardır.



Şekil. 2.1.4 Dolega'nın önerdiği keskin değişimli bir p-n heteroeklem yapıda ara yüzeyler boyunca doğrudan yeniden birleşme mekanizması için bir enerji bant diyagramı [29] .

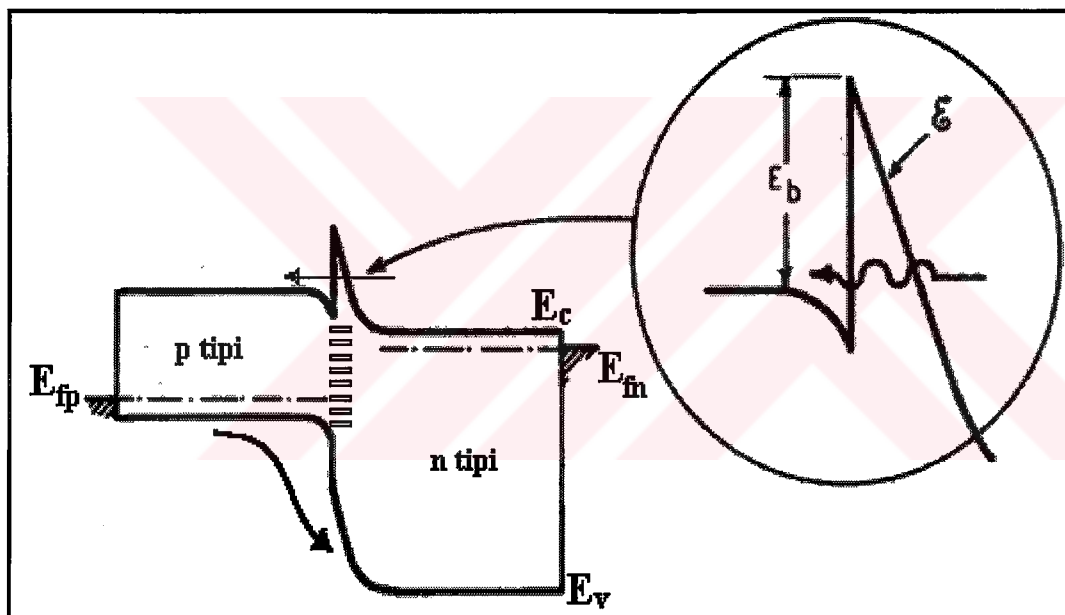
**d-) Tünelleme:** Bir çok heteroeklem yapıda gözlenen sıcaklıktan bağımsız LogI-V karakteristik eğimlerinin varlığı ilk kez Rediker [37] tarafından tünelleme modeli yardımı ile açıklanabilmiştir. Bu modelde, Şekil 2.1.5 de gösterildiği gibi iletim bandının alt kıyısında bulunan elektronların n-tipi materyalden p-tipi materyale doğru yüksekliği  $E_b$  olan engel içerisinde tünelleyerek geçtiği kabul edilmiştir. Eğer tünelleme mekanizması engelin üzerinden olan ısisal emisyondan daha etkin olursa akım uygulanan gerilim ile aşağıda verildiği gibi değişmektedir [27],

$$J = J_o(T) \exp(V/V_o) \quad (2.1.28)$$

burada  $V_o$  bir sabit olup  $J_o(T)$  ise sıcaklıkla çok yavaş değişmektedir. Newman [38], Denklem 2.1.28 de verilen ifadeyi aşağıda verildiği gibi yeniden düzenlemiştir,

$$J = J_o \exp(T/T_o) \exp(V/V_o) \quad (2.1.29)$$

burada,  $J_o$ ,  $V_o$  ve  $T_o$  bir sabitlerdir. Bu modele göre tünelleme akımı, tünellemenin gerçekleştiği enerji seviyesinin değerine bağlı olarak sıcaklıkla bağımlı yada bağımsız bir karakteristik göstermektedir.



Şekil 2.1.5 Bir pn heteroeklem yapısında elektronun enerji çıkışından (spayk) tünellemesi [29].

**i-) Çok Adımlı Tünelleme (Multistep Tunneling):** Chynoweth'in [39] yeniden birleşme tünelleme modelini temel alan, Riben ve Feucht [40,41] çok adımlı tünelleme modelini geliştirmiştir. Şekil 2.1.6 da gösterilen A ve B yolları tek adımlı tünellemeyi, C yolu ise çok adımlı tünelleme olayını belirtmektedir. Bu modelde elektronlar n-tipi materyalin iletim bandından p tipi materyalin yasak enerji aralığında bulunan boş enerji düzeylerine tünelleyebilir ve burada bulunan

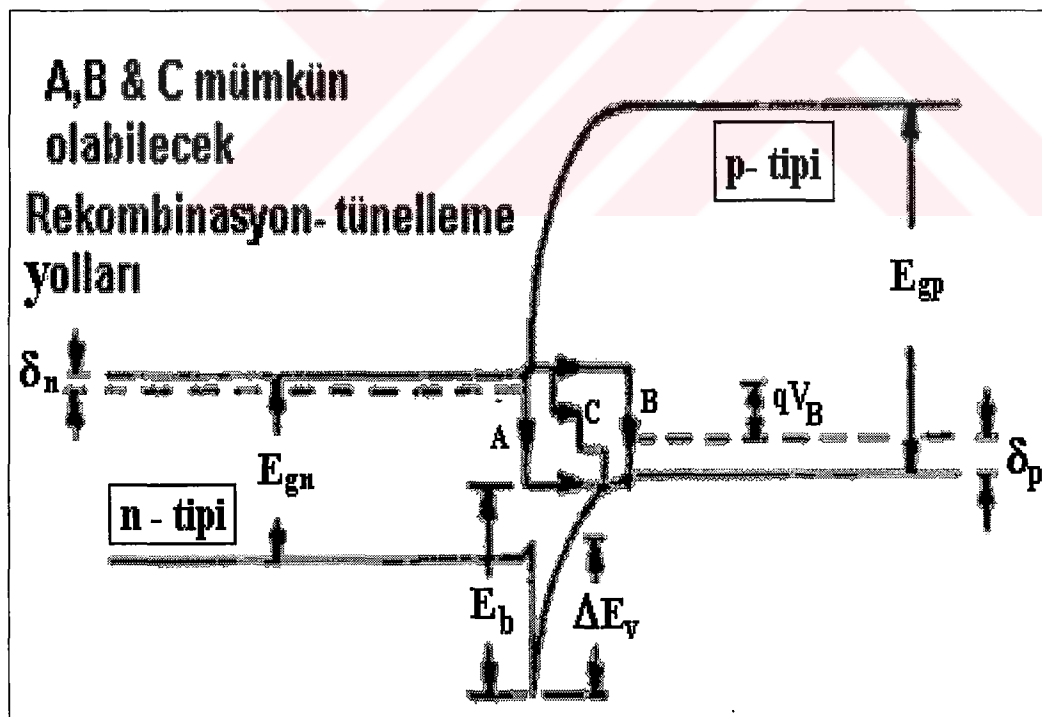
boşluklarla birleşebilirler yada p-tipi materyalden n-tipi materyalin dolu olan düzeylerine tunnelleyen deşikler burada bulunan elektronlar ile birleşebilirler. Tükenmiş bölge içersindeki elektrik alan şiddetinin sabit olduğu, tuzak durumlarının yüksek yoğunlukta olup enerji ve uzay dağılımları açısından düzgün oldukları varsayıldığında ileri besleme durumunda akım [42,43],

$$J_{ileri} = BXN_t \exp[-\alpha R^{-1/2}(V_{bi} - KV)] \quad (2.1.30)$$

denklemi ile verilmektedir. Burada ,

$$\alpha = \frac{\pi}{4\hbar} \left( \frac{m_n \epsilon_p}{N_a} \right)^{1/2} \quad (2.1.31)$$

olup,  $N_t$  tunnelleme/yeniden birleşme merkez yoğunluğu,  $X$  ara yüzeyden geçen elektronların iletim katsayısı,  $m_n$  elektronun efektif kütlesi,  $R$  ise tükenmiş bölgeyi geçmek için gereken adım sayısı ve,  $K=[1+(N_D \epsilon_n N_A \epsilon_p)]$  dır.



Şekil 2.1.6 Riben'in n-Ge/p-GaAs heteroeklem yapısı için yeniden birleşme-tunnelleme modeli [29,42].

Tünellemenin ardından ara yüzey durumları yardımıyla yeniden birleşmenin gerçekleştiği akım iletim mekanizmasında akım-gerilim denklemi aşağıda verildiği gibi de ifade edilebilir [36],

$$J_{\text{ileri}} = J_o \exp(\beta T) \exp(\Lambda V) \quad (2.1.32)$$

burada  $\beta$ , engel potansiyeli  $V_{bi}$  nin sıcaklıkla olan değişimini ifade etmektedir.

**ii-) Tünellemenin yükselttiği yeniden birleşme akımı (Tunneling assisted recombination):** Hurkx ve gurubu [44] tarafından geliştirilen genelleştirilmiş yerel yeniden birleşme oranı,

$$R = \frac{n p - n_i^2}{\gamma_p (n + n^*) + \gamma_n (p + p^*)} \quad (2.1.33)$$

olup burada ,

$$n^* = N_c e^{\frac{E_F - E_c}{kT}}, p^* = N_v e^{\frac{E_v - E_F}{kT}} \quad (2.1.34)$$

dir, ve  $E_c$ ,  $E_v$ ,  $E_F$  ve  $kT$  sırasıyla iletim, değerlik bant enerjilerini, Fermi enerjisini ve ısisal enerjiyi,  $N_c$  ve  $N_v$  iletim ve değerlik bantlarındaki efektif durum yoğunluklarını,  $n$  ve  $p$  serbest elektron ve deşik yoğunluklarını ve  $n_i$  katıksız (özden) yük yoğunluğunu belirtmektedir. Denklem 2.1.33, Şekil 2.1.7 de gösterilen n-CdS/p-Cu(In,Ga)Se<sub>2</sub> heteroeklem yapının ara yüzeyinde gerçekleşen yeniden birleşme mekanizmasını hem de gövdesi içerisinde yer alan tuzak durumları yardımı ile meydana gelen yeniden birleşme mekanizmasını açıklamak için kullanılabilir [26].

Ara yüzeyde yeniden birleşmenin etkin olduğu durumda, R oranı  $\text{cm}^{-2}\text{s}^{-1}$  biriminde olup  $\gamma_{p,n}$  aşağıda verildiği gibi tanımlanmaktadır,

$$\gamma_{p,n} = [S_{p,n} (1 + \Gamma)]^{-1} \quad (2.1.35)$$

$S_{p,n}$  deşik veya elektronlar için ara yüzeyde yeniden birleşme hızını ifade etmektedir.

Gövde içerisinde tünellemenin yükselttiği yeniden birleşme mekanizmasının etkin olduğu durumda ise R oranı  $\text{cm}^{-3}\text{s}^{-1}$  biriminde olup  $\gamma_{p,n}$ ,

$$\gamma_{p,n} = \tau_{p,n} (1 + \Gamma)^{-1} \quad (2.1.36)$$

olarak tanımlanmaktadır. Burada  $\tau_{n,p}$  elektron veya deşik yaşam süresidir.

$$\Gamma = 2\sqrt{3\pi} \frac{|F|}{F_\Gamma} e^{-\frac{|F|^2}{F_\Gamma^2}} \quad (2.1.37)$$

ise ısisal uyarımı tünelleme ile yükseltilen yeniden birleşme mekanizması için düzeltme faktörünü ifade etmektedir [44]. Burada ;

$$F_\Gamma = [24m^*(kT)^3]^{1/2} (q\hbar)^{-1} \quad (2.1.38)$$

dir,  $|F|$  tuzak etrafındaki yerel elektrik alan şiddeti ve  $m^*$  ise efektif tünelleme kütlesini belirtmektedir.

x-koordinatına bağlı  $V_b(x)$  parabolik bant eğilmesinin olduğu durumda (Şekil 2.1.7) elektrik alan şiddeti [26] ,

$$|F| = \sqrt{(2qN_A V_b(x))\epsilon_s} \quad (2.1.39)$$

ve bu durumda,

$$\Gamma = 2\sqrt{3\pi} \frac{|F|}{F_\Gamma} \exp\left[\frac{qV_b(x)}{kT} \frac{E_{oo}^2}{3(kT)^2}\right] \quad (2.1.40)$$

olur,

$$E_{oo} = \frac{q\hbar}{2(N_A / m^* \epsilon_s)^{1/2}} \quad (2.1.41)$$

burada  $E_{oo}$  karakteristik tünelleme enerjisini belirtmektedir [45].

**a) Ara yüzeyde tünellemenin yükselttiği yeniden birleşme:**

Şekil 2.1.7 de verilen enerji bant diyagramında, emici ve geçiş ara (tampon) materyalleri arasındaki negatif bant değişimi (offset) nedeniyle, tampon bölgedeki serbest elektron yoğunluğu, deşik yoğunluğundan çok fazla olmalıdır. Yeniden birleşme merkezlerinin iletim yada değerlik bandına yakın olmadıkları (yani  $p^* \gamma_n / \gamma_p$ ,  $n^* \ll n$  koşulunda) durumda Denklem (2.1.33) sadeleşerek,

$$R = p / \gamma_p \quad (2.1.42)$$

olur. Bu durumda ileri besleme durumunda ara yüzeydeki yeniden birleşme akımı,

$$\begin{aligned} J_{\text{adiz}} &= qS_p(1 + \Gamma)p \\ &= qS_p(1 + \Gamma)N_V [\exp(qV/kT) - 1] \exp(-\phi_b^p/kT) \end{aligned} \quad (2.1.43)$$

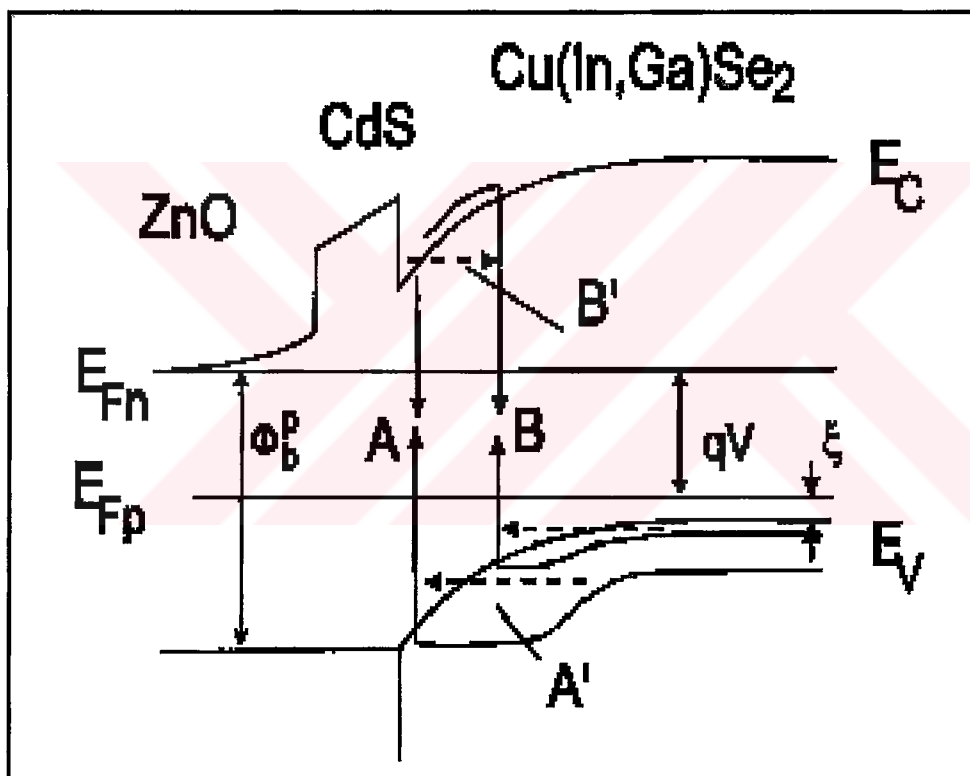
olarak bulunur. Burada V uygulanan gerilim değerini,  $\phi_b^p$  ise n tipi materyalin sözde (quasi) Fermi seviyesi ile p tipi materyalin değerlik bandının üst kıyısındaki eğilmenin bitip düzleşmeye başladığı kısımlar arasında kalan enerji miktarını belirtmektedir (Şekil 2.1.7'ye bakınız). Denklem 2.1.43 aynı zamanda boşaltılmış bölge boyunca sözde Fermi enerji düzeylerinin düz olduğunu varsaymaktadır. Tünellemenin çok önemsiz olduğu ( $\Gamma \ll 1$ ) ve maksimum yeniden birleşme hızının ısisal hızla eşit olduğu ( $S_p = v_{\text{th}}$ ) durumda yeniden birleşme akımı Schottky kontakları için geliştirilen ısisal emisyon (thermiyonik emision) akım ifadesi ile aynı olmaktadır [46]. Tünellemenin önemli olduğu durumda ( $\Gamma \gg 1$ ), Denklem 2.1.43 yeniden düzenlenliğinde [26,14]

$$\begin{aligned} J_{\text{adiz}} &= qS_p N_V 2\sqrt{3\pi} \sqrt{\frac{\phi_b^p - V - \xi}{3kT}} \frac{E_{\text{oo}}}{(kT)^2} \\ &\times \exp(qV/AkT) \exp(-\phi_b^p/AkT) \exp(\xi/kT(1/A - 1)) \end{aligned} \quad (2.1.44)$$

olur,  $V_b(x) = V_b(0) = \phi_b^p - V - \xi$  dir. Burada  $\xi$  eklemden uzak nötral bölge içerisinde p-tipi materyalin Fermi düzeyi ile valans bandı arasındaki enerji farkıdır. Tünelleme için diyot ideallik faktörü aşağıda verildiği olur,

$$\frac{I}{A} = I_0 \left( 1 - \frac{E_{oo}^2}{3(kT)^2} \right) \quad (2.1.45)$$

Eklem ara yüzeyinde bantlardaki değişimin parabolik olup Denklem 2.1.40 da verildiği şekilde olduğu durumda yeniden birleşme akımı,



Şekil.2.1.7, V İleri besleme durumundaki bir CdS/Cu (In,Ga)Se<sub>2</sub> heteroeklem yapıda olası yeniden birleşme kanallarının enerji bant diyagramında şematik gösterimi: (A) klasik ara yüzeyde yeniden birleşme, (A') ara yüzeyde tünellemenin yükselttiği yeniden birleşme, (B') boşaltılmış bölgedeki yeniden birleşme, (B) boşaltılmış bölgede tünellemenin yükselttiği yeniden birleşme [14] .

$$J_{adiz} = q S_p N_v \sqrt{\frac{\pi q V_b(x) E_{oo}}{kT \cosh(E_{oo}/kT)}} \exp(qV/AkT) \exp(-\phi_b^p/AkT) \exp(\xi/kT(1/A-1)) \quad (2.1.46)$$

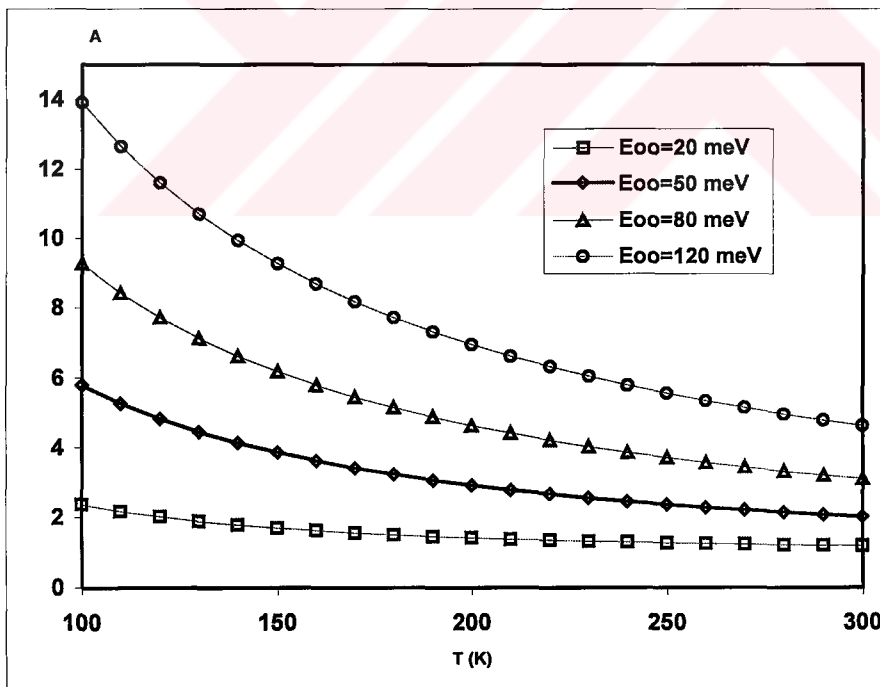
yada,

$$J_r = J_{oo} e^{-\frac{\phi_b^p}{AkT}} e^{\frac{qV}{AkT}} \quad (2.1.47)$$

Diyot ideallik faktörü ,

$$A = \frac{E_{oo}}{kT} \coth\left(\frac{E_{oo}}{kT}\right) \quad (2.1.48)$$

ile verilir. Denklem 2.1.46 ile ifade edilen CdS/Cu(In,Ga)Se<sub>2</sub> pn heteroeklem için geliştirilen ileri besleme durumundaki akım-gerilim denkleminin, Schottky kontaklar için olan ısisal emisyon (thermionik emission) [47] yada ısisal alan emisyonu [45] (thermionic field emission) modeline oldukça benzer olduğu görülmektedir.



Şekil 2.1.8 Verilen E<sub>oo</sub> değerlerine karşılık hesaplanan diyot ideallik sabiti değerlerinin 100 -300 K sıcaklık aralığındaki teorik değişimleri.

Denklem 2.1.48 incelendiğinde A'nın alabileceği olası değerlerin  $E_{\text{oo}}$  karakteristik tünelleme enerjisine bağlı olduğu görülmektedir. Şekil 2.1.8 de  $E_{\text{oo}}$ 'a verilen farklı değerlere karşın hesaplanan A değerleri çizilmiştir.  $E_{\text{oo}}$  karakteristik tünelleme enerjisinin değeri arttıkça, sıcaklığın azalması ile birlikte A değerlerindeki değişiminin daha fazla olduğu görülmektedir.

**b.) Serbest yüklerden boşaltılmış bölge içerisinde tünellemenin yükselttiği yeniden birleşme:**

Denklem 2.1.37, boşaltılmış bölge içerisinde tünellemenin yükseltiği yeniden birleşme durumu için yeniden ele alındığında [14],

$$\Gamma = 2\sqrt{3\pi} \sqrt{\frac{qV_b(x)E_{\text{oo}}^2}{3kT(kT)^2}} \exp\left[\frac{qV_b(x)}{3kT} \frac{E_{\text{oo}}^2}{(kT)^2}\right] \quad (2.1.49)$$

olmaktadır. Burada da bantlardaki eğilmenin parabolik olup x koordinatına bağlı olarak aşağıdaki gibi değiştiği kabul edilmiştir.

$$V_b(x) = \frac{qN_a}{2\varepsilon_s} (\omega - x)^2 = \frac{\varepsilon_s}{2qN_a} |F(x)|^2 \quad (2.1.50)$$

Yeniden birleşme merkezlerinin dağılımının üstel olarak değiştiği kabul edildiğinde [48],

$$dN_T(\eta) = (kT^*)^{-1} e^{\frac{-\eta}{kT^*}} d\eta \quad (2.1.51)$$

yazılabilir, burada  $kT^*$  dağılım için karakteristik enerjiyi belirtmektedir,  $\eta = E_v - E_T$  veya  $\eta = E_T - E_c$  ise dağılımın değerlik veya iletim bandı kıyasındaki maksimum olduğu durumları göstermektedir. Tünelleme mekanizmasının yeniden birleşme akımına olan etkisinin önemli olduğu durumda ( $\Gamma \gg 1$ ) Denklem 2.1.33 ile verilen R oranının  $dN_T$  dağılımı üzerinden, boşaltılmış bölge boyunca entegrali alınırsa [47]

boşaltılmış bölgede ekleme ileri beslemenin uygulandığı durumdaki yeniden birleşme akımı,

$$J_r = J_{oo} e^{\frac{-E_g}{AkT}} e^{\frac{-qV}{AkT}} \quad (2.1.52)$$

olmaktadır. Burada  $J_{oo}$  sıcaklıkla çok zayıfça değişmekte olup, ideallik sabiti A ise,

$$\frac{1}{A} = \frac{1}{2} \left( 1 + \frac{T}{T^*} - \frac{E_{oo}^2}{3k^2 T^2} \right) \quad (2.1.53)$$

ile verilmektedir. Eğer yasak enerji aralığının ortasında yer alan tuzak durumları daha etkin rol oynuyorlar ise (yani  $E_{oo} \rightarrow 0$ )

$$\frac{1}{A} = \frac{1}{2} \left( 1 + \frac{T}{T^*} \right) \quad (2.1.54)$$

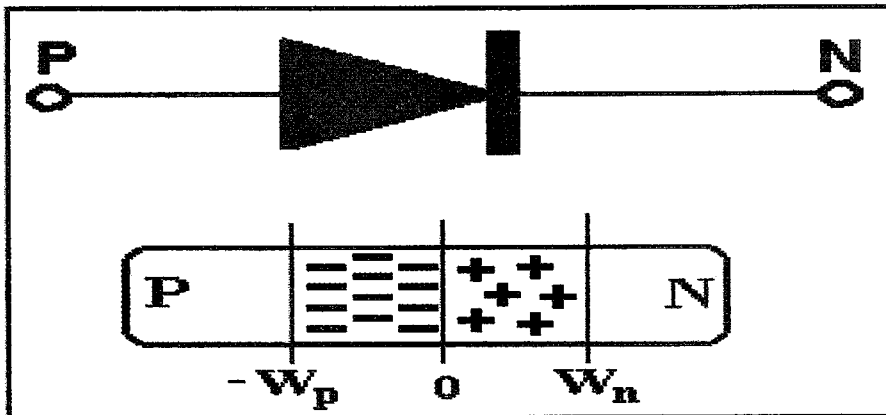
olur bu limit durumunda boşaltılmış bölgede üstel dağılımlı tuzak durumları yolu ile gerçekleşen yeniden birleşmenin açıklandığı klasik modele ulaşılmış olunur [14].

Rau ve gurubu [26,14,20] tarafından geliştirilen bu akım iletim modeli yüksek sıcaklıklarda tünelleme katkısının olmadığı yeniden birleşme ile ideallik sabitinin etkin olduğu düşük sıcaklıklardaki tünelleme modelleri arasında süreklilik sağlamıştır. Aksine, tuzak yardımcı (assisted) tünelleme modelinde yapılan daha önceki çalışmalarda ise tünelleme olayının varlığı diyon ideallik faktörü ile sıcaklık değerinin (AT) çarpımının sıcaklıktan bağımsız olması ile sınırlanmıştır.

### 2.1.3 PN HETEROEKLEMLERDE EKLEM KAPASİTANSI

Bir pn ekleminde, ısisal yük dengesinin kurulması sonucunda Şekil 2.1.9 da gösterildiği gibi birbirinden bağımsız üç farklı bölge oluşur. Bunlar, ortada  $-w_p$  ile  $w_n$  arasında yer alan serbest yüklerden boşaltılmış bölge ve bunun her iki tarafında bulunan nötral n- ve p-tipi bölgeleridir. Boşaltılmış bölgenin n ve p tipi kısımlarında + ve - ile

gösterilen verici  $N_D^+$  ve alıcı  $N_A^-$  denklenmemiş yüklerinin ayrışması, düzlem levhali bir kondansatörün levhalarında biriken + ve - yüklerin oluşturduğu kapasitans etkisine benzer bir kapasitans etkisinin pn ekleminde oluşmasına neden olur.



Şekil 2.1.9 Isısal dengede bulunan bir pn eklemiin yük dağılımı.

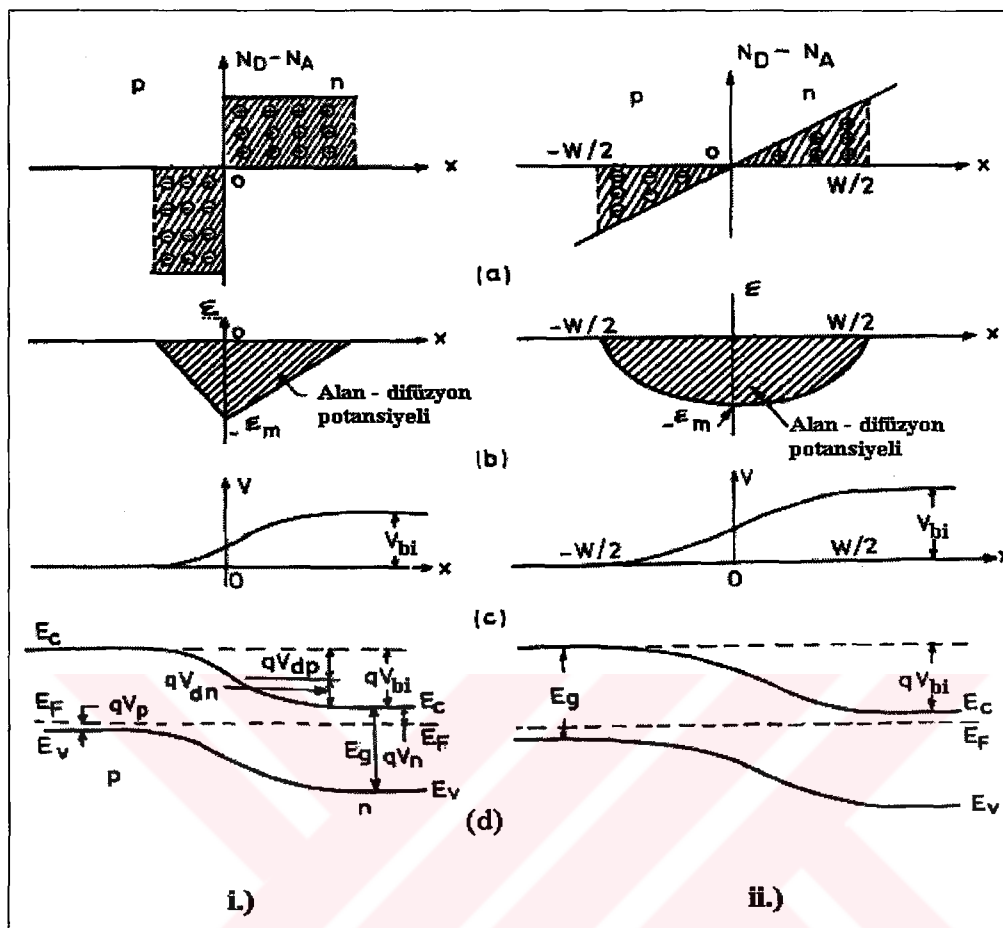
Pn eklem kapasitansının tespit edilebilmesi için boşaltılmış bölge içerisindeki yük dağılımının nasıl değiştiğinin belirlenmesi gereklidir. Pratikte, boşaltılmış bölge içerisindeki safsızlık konsantrasyonunun dağılım profili Şekil 2.1.10.a ve b de gösterilen iki eklem yük modeli yaklaşımı ile ele alınabilir,

- a.) keskin yük dağılımlı eklem modeli (abrupt):
- b.) lineer yük dağılımlı eklem modeli (linearly graded).

Her iki modelde de boşaltılmış bölgenin kapasitansı, pn eklemine uygulanan gerilimin fonksiyonu olarak ifade edilebilir. Poisson denkleminin yardımcı ile pn eklemi içerisindeki yüklerin meydana getireceği potansiyel değişimi belirlenebilir. Şekil 2.1.10.a da verilen keskin yük dağılımlı bir pn eklemi boşaltılmış bölgesinin n ve p kısımlarındaki yük yoğunluğunu,

$$\rho(x) = q N_A^- \quad (2.1.55)$$

$$\rho(x) = q N_d^+$$



Şekil 2.1.10.i. Keskin (abrupt) ve ii) doğrusal yük değişimi eklem modellerine göre (a) yüklerin, (b) elektrik alanının, (c) engel potansiyelinin ve (d) pn heteroeklem enerji bant diyagramının konum ile olan değişimi [49].

olarak ifade etmek mümkündür. İsisal denge durumunda, eklemeden uzakta bulunan nötral bölgelerdeki elektrik alan sıfır olduğundan Denklem 2.1.1. de verildiği gibi, p taraftaki birim alan başına olan toplam negatif yük, n-tipi kısımdaki birim alan başına olan pozitif yüke eşit olmalıdır. Poisson denkleminin yardımı ile ifade edilen boşaltılmış bölge içerisindeki elektrik alan ve elektrostatik potansiyeldeki değişimler ve toplam engel potansiyeli Bölüm 2.1.1 de Denklem 2.1.2-4 yardımı ile açıklanmıştır. Ekleme V geriliminin uygulandığı durumda, boşaltılmış bölgenin p ve n-tipi kısımlardaki genişlikleri,

$$\begin{aligned} w_n &= \left[ \frac{2N_A \epsilon_n \epsilon_p (V_{bi} - V)}{qN_D (\epsilon_n N_D + \epsilon_p N_A)} \right]^{1/2} \\ w_p &= \left[ \frac{2N_D \epsilon_n \epsilon_p (V_{bi} - V)}{qN_A (\epsilon_n N_D + \epsilon_p N_A)} \right]^{1/2} \end{aligned} \quad (2.1.55)$$

olur. Bu durumda toplam boşaltılmış bölge genişliği,

$$w = w_n + w_p = \left[ \frac{2(N_A + N_D)^2 \epsilon_n \epsilon_p (V_{bi} - V)}{qN_D N_A (\epsilon_n N_D + \epsilon_p N_A)} \right]^{1/2} \quad (2.1.56)$$

olur. N ve p tipi yarı iletkenler üzerine düşen gerilimler arasındaki oran,

$$\frac{V_{bn} - V_n}{V_{bp} - V_p} = \frac{\epsilon_p N_A}{\epsilon_n N_D} \quad (2.1.57)$$

dir ve burada  $V_p$  ve  $V_n$  uygulanan  $V$  potansiyelinin eklemdeki p ve n-tipi kısımlarına düşen kısımlarını,  $\epsilon_n$  ve  $\epsilon_p$  ise n ve p tipi yarı-iletkenlerin dielektrik sabiti değerlerini ifade etmektedir. Yarıiletken materyallerin dielektrik sabiti değerleri yaklaşık eşit kabul edildiğinde, en büyük gerilimin az katkılanmış olan kısma düşüğü görülmektedir. Heteroeklem yapının boşaltılmış bölge kapasitansı her iki kısımdaki kapasitansların seri birleşimi olarak düşünülebilir, bu durumda,

$$\begin{aligned} C_T^{-1} &= C_n^{-1} + C_p^{-1} \\ C_n &= \left| \frac{dQ_n}{d(V_{bn} - V_n)} \right| \quad ve \quad C_p = \left| \frac{dQ_p}{d(V_{bp} - V_p)} \right| \end{aligned} \quad (2.1.58)$$

$Q_n = AqN_D w_n$  ve  $Q_p = AqN_A w_p$  eklemdeki n ve p kısımlarındaki net yük değerleridir,  $A$  ise eklem kesit alanını belirtmektedir. Ara yüzey durumlarının heteroeklem yapıda yer almadığı durumda boşaltılmış bölge kapasitansı aşağıdaki gibi yazılabilir,

$$C/A = \sqrt{\frac{q\epsilon_n\epsilon_p N_A N_D}{2(\epsilon_p N_A + \epsilon_n N_D)(V_{bi} - V)}} \quad (2.1.59)$$

Ekleme V kadar bir ileri besleme potansiyeli uyguladığında engel potansiyeli V kadar azalacak, V kadar bir geri besleme potansiyeli uyguladığında ise V kadar artacaktır. Şekil 2.1.10 den de anlaşılacağı gibi pn eklemının boşaltılmış bölge genişliği ileri besleme altında daralacak, ters besleme arasında ise genişleyecektir. Boşaltılmış bölgenin daralıp genişlemesi düzlem levhalı kondansatör modeliyle eşleştirilebilir. Bu durumda pn eklem kapasitansı boşaltılmış bölgenin genişliğine bağlı olarak değişmektedir.

Şekil 2.1.10.b de gösterilen doğrusal yük dağılımlı eklem modeli için n ve p tipi materyallerin aynı dielektrik  $\epsilon_s$  sabiti değerine sahip olduğu varsayıldığında Poisson denklemi,

$$-\frac{\partial^2 V}{\partial x^2} \equiv \frac{\partial E}{\partial x} = \frac{\rho(x)}{\epsilon_s} = \frac{q}{\epsilon_s}(p - n + ax) \approx \frac{q}{\epsilon_s}ax \quad -w/2 \leq x \leq w/2 \quad (2.1.60)$$

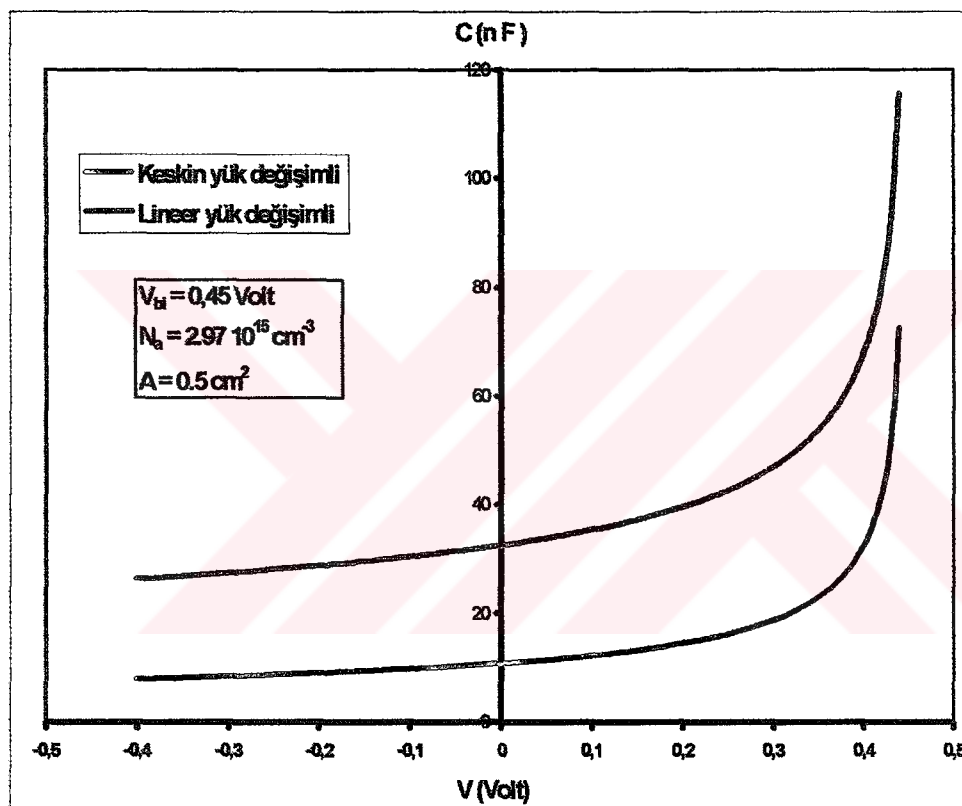
şeklinde olur, burada  $a \text{ cm}^{-4}$  başına safsızlık yoğunluğunundaki düşümü ifade etmektedir. Bu denklemenin bir kez entegralinin alınması ile Şekil 2.1.10.b de gösterilen elektrik alan dağılım ifadesi ve ikinci kez entegralinin alınması ile engel potansiyel ifadesi yada eklem genişliğini veren ifade aşağıdaki gibi bulunabilir,

$$E(x) = -\frac{qa(w/2)^2 - x^2}{\epsilon_s 2}, \quad \text{ve} \quad V_{bi} = \frac{qa w^3}{12 \epsilon_s} \quad (2.1.61)$$

Bu durumda eklem kapasitansı,

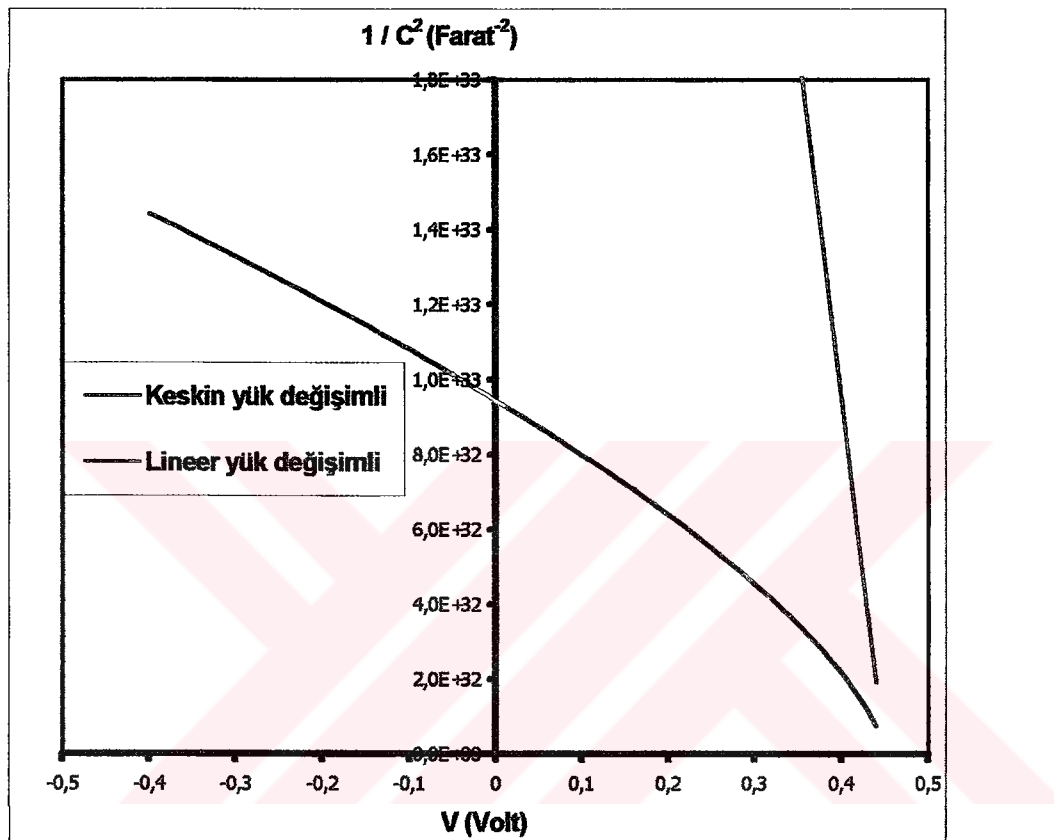
$$C = \frac{dQ}{dV} = \left[ \frac{Ae\epsilon^2 q N_A}{12(V_{bi} \pm V)} \right]^{1/3} \quad (2.1.62)$$

olarak ifade edilebilir. Bu tez çalışması kapsamında araştırılan heteroeklem yapıya uygun seçilen  $V_{bi}$ ,  $N_A$  ve  $A$  değerlerini kullanarak, 0.5 ve 0.5 aralığındaki voltaj değerlerine karşılık, keskin ve lineer yük değişimli eklem modelleri için türetilen Denklem 2.1.59 ve Denklem 2.1.62 yardımı ile kapasitans değerleri hesaplanmış ve bu değerler aynı grafik üzerinde Şekil 2.1.11 çizilmiştir. Görüldüğü gibi ekleme uygulanan potansiyel fark kapasitans ile  $\frac{1}{2}$  veya  $\frac{1}{3}$ 'üncü kuvvet bağımlılığı ile değişmektedir. Aynı teorik parametreler ile,  $C^2 - V$  değişimi Şekil 2.1.12 de çizilmiştir.



Şekil 2.1.11 Keskin ve lineer yük dağılımlı eklem modellerinde kapasitansın ekleme uygulanan potansiyel fark ile olan teoriksel değişimi. ( $\epsilon_{\text{CuInGaSe}} = 10\epsilon_0$ )

$C^2-V$  değişimin voltaj ekseni kestiği nokta yardımı ile eklemin engel potansiyeli miktarını  $V_{bi}$  belirlemek mümkündür. Eklemin bir tarafındaki katkı yoğunluğu biliniyorsa, keskin yük değişimli pn bir ekleminde doğrusal  $C^2-V$  doğrusal yük değişimli bir pn ekleminde ise doğrusal  $C^3-V$  değişimin eğimi yardımı ile diğer bölgelenin katkı yoğunluğu hesaplanabilir.



Şekil 2.1.12 Keskin ve lineer yük dağılımlı eklem modellerine uygun hesaplanmış kapasitans değerlerinin  $C^2-V$  değişimi.

## 2.2. PN HETEROEKLEMİNİN YÜKSEK FREKANSLARDAKİ AC EŞDEĞER DEVRESİ

Bir pn ekleminin en önemli fonksiyonu eklemin uçlarına uygulanan belirli bir frekanstaki ac sinyal voltajını doğru akıma çevirmesidir. Pn ekleminin eklem bölgesindeki tüketim bölgesinin dielektrik sabitinin artması sonucunda ortaya çıkan

kapasitif etkiler pn ekleminin bu yeteneğini olumsuz yönde etkileyebilmektedir. Böyle bir durumda pn ekleminin ac eşdeğer devre modelinin tespit edilmesi oldukça önemlidir. Ac eşdeğer devre modeli çoğu zaman kondansatör ve dirençlerden oluşmuş bir devre biçimindedir. Pn eklemindeki kontak noktaları ve nötral bölgelerden gelen dirençsel etkiler seri direnç etkisi olarak devreye katılmaktadır. Devredeki kapasitans etkileri ise tükenmiş bölge sınırlarında bulunan yük miktarlarının dalgalanmasından ve ortamın dielektriksel değişiminden kaynaklanmaktadır.

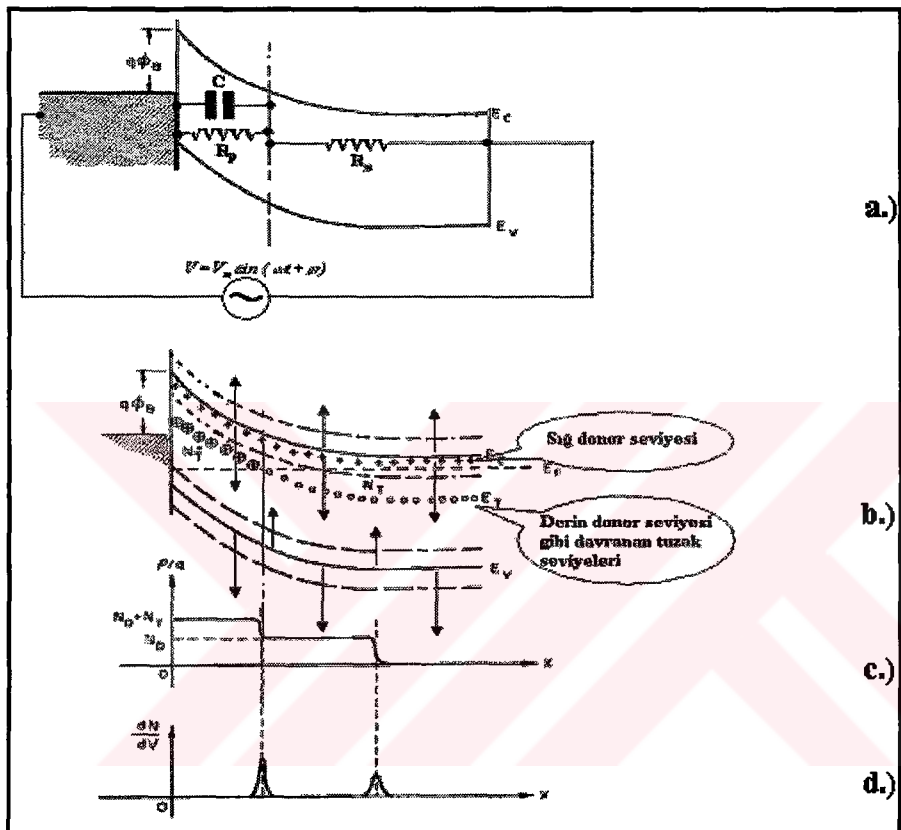
Bir  $n^+p$  heteroeklemine yada Şekil 2.2.1 de verilen gibi tipik bir Schotky engeline uygulanacak küçük genlikli bir ac frekansı sonucunda, iletkenlik ve değerlik bantları aşağı yukarı hareket etmeye başlar. Nötral bölgenin direncinin uzay yükü bölgesinin direncinden çok daha düşük olması sonucu uygulanan ac sinyal voltajının büyük bir kısmı tükenmiş bölge üzerine düşeceğinden bant kiyisi bölgelerindeki hareketlenme daha belirgin olur. Besleme gerilimi uygulandığında, Fermi enerji seviyesi üstündeki bütün verici seviyeleri iyonize olur. Eklem doğru akım besleme voltajı altındayken küçük bir ac sinyali uygulandığında, derin seviyelerde bulunan tuzak seviyeleri verici seviyesi gibi davranışarak ac sinyalini izlemeye başlar. Bunun sonucu olarak Şekil 2.2.1 de verildiği gibi yük dağılımında ek bir artış gözlenir [50].

Bir pn eklem güneş pilindeki, seri ve paralel direnç etkileri kompleks empedans veya admittans ölçüm metodu ile tespit edilebilir. Genellikle eşdeğer devre çözümlemesi amacıyla yapılan kompleks empedans analizinde ilk olarak, kompleks empedansa karşı gerçek empedans eğrisinin değişimi incelenmelidir. Devrenin genel yapısı hakkında genel bir tahmin yürüttükten sonra yapılacak ikinci işlem ise kompleks admittans çözümlemesi yapmaktır. Admittans, empedansın tersi olup kompleks empedans ifadesinden kompleks admittans ifadesine geçiş yapıldığında devredeki kapasitans ifadesi hakkında doğrudan bilgi veren suspektans ve konuktans ifadeleri ile karşılaşılır. Kondansatör, direnç ve induktörden oluşmuş karmaşık bir devrenin empedans ve admittans ifadesi, aşağıda verildiği gibi gerçek (real) ve sanal (kompleks) olmak üzere iki terim cinsinden ifade edilebilir.

Empedans,

$$Z=R+iX = Z'+iZ'' \quad (2.2.1)$$

Burada dc reaktans olarak tanımlanan  $R = Z'$  empedans ifadesinin gerçek kısmı, ac reaktans olarak tanımlanan  $X = Z''$  ise empedans ifadesinin sanal kısmıdır.

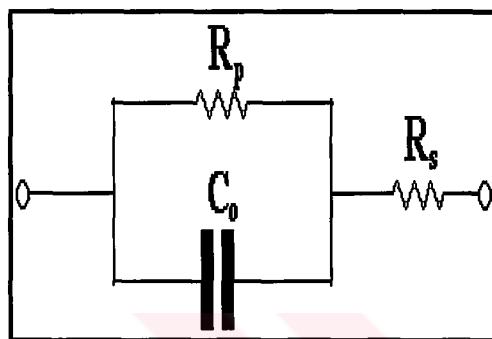


Şekil 2.2.1 a.) Schotky engelinin derin tuzak seviyelerinin varlığı durumunda ac sinyal gerilimi altındaki davranışları, b.) bant kıyılarının titresimi, c.) tüketim bölgesindeki yük yoğunluğu değişimi, d.) yük taşıyıcılarının uygulanan ac gerilimle birlikte bant kıyısında gösterdikleri değişim [49].

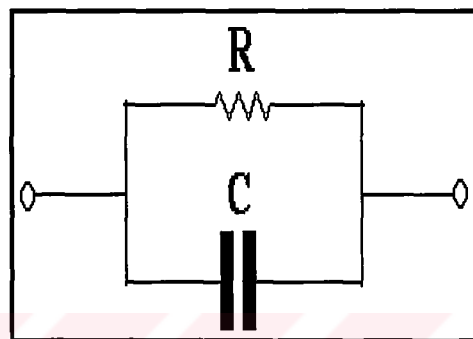
Admitans ise;

$$Y=G+iB=Y'+iY'' \quad (2.2.2)$$

ifadesi ile belirtilir, burada, konduktans olarak tanımlanan  $G = Y'$  admittansın gerçek kısmı, suspektans olarak tanımlanan  $B = Y''$  admittans ifadesinin sanal kısmıdır. Şekil 2.2.2 de verilen devre için empedans ve admittans çözümlemesi yapıldığında, devredeki eleman sayısını en aza indirecek olan bir eşdeğer devre tasarlamak gereklidir. Buna göre Şekil 2.2.2.a da verilen devrenin eşdeğeri Şekil 2.2.2.b de verilen devre modeliyle özetlenebilir. Şekil 2.2.2.b de verilen devrenin eşdeğeri empedansı aşağıda verildiği gibi olur,



a.)



b.)

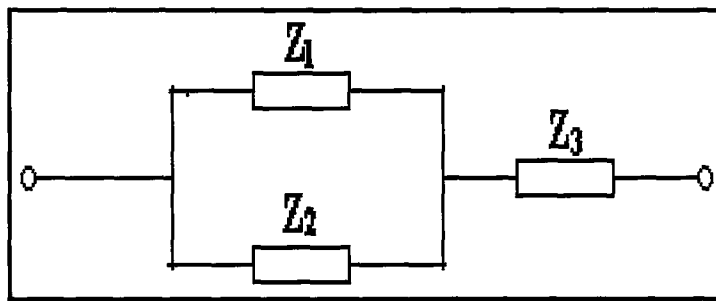
Şekil 2.2.2 a.) Birbirine paralel bağlı birer direnç ve kondansatör ile bunlara seri bağlı bir dirençten oluşan bir devre modeli, b.) Basitleştirilmiş eş değer devresi.

$$|Z| = \frac{R}{\sqrt{1 + R^2 C^2 \omega^2}} \quad (2.2.3)$$

veya

$$|Z| = \frac{R}{\sqrt{1 + \tau^2 \omega^2}}, \quad (\tau = RC) \quad (2.2.4)$$

Şekil 2.2.2.a da verilen devrenin eşdeğeri empedans ifadesi gerçek ve sanal terimlerine ayrıldığında, Şekil 2.2.3 de verilen empedans eşdeğeri olan devre elde edilir.



Şekil.2.2.3 İncelenen devre modelinin empedans eşdeğer devresi.

Böyle bir devrenin eşdeğer empedansı

$$\frac{1}{Z_{esI2}} = \frac{1}{Z_1} + \frac{1}{Z_2}, \quad (2.2.5)$$

$$Z_{es} = \frac{Z_1 Z_2}{Z_1 + Z_2} + Z_3 \quad (2.2.6)$$

formunu alır. Burada  $Z_1 = \frac{-i}{\omega C_o}$ ,  $Z_2 = R_p$ ,  $Z_3 = R_s$  dir.

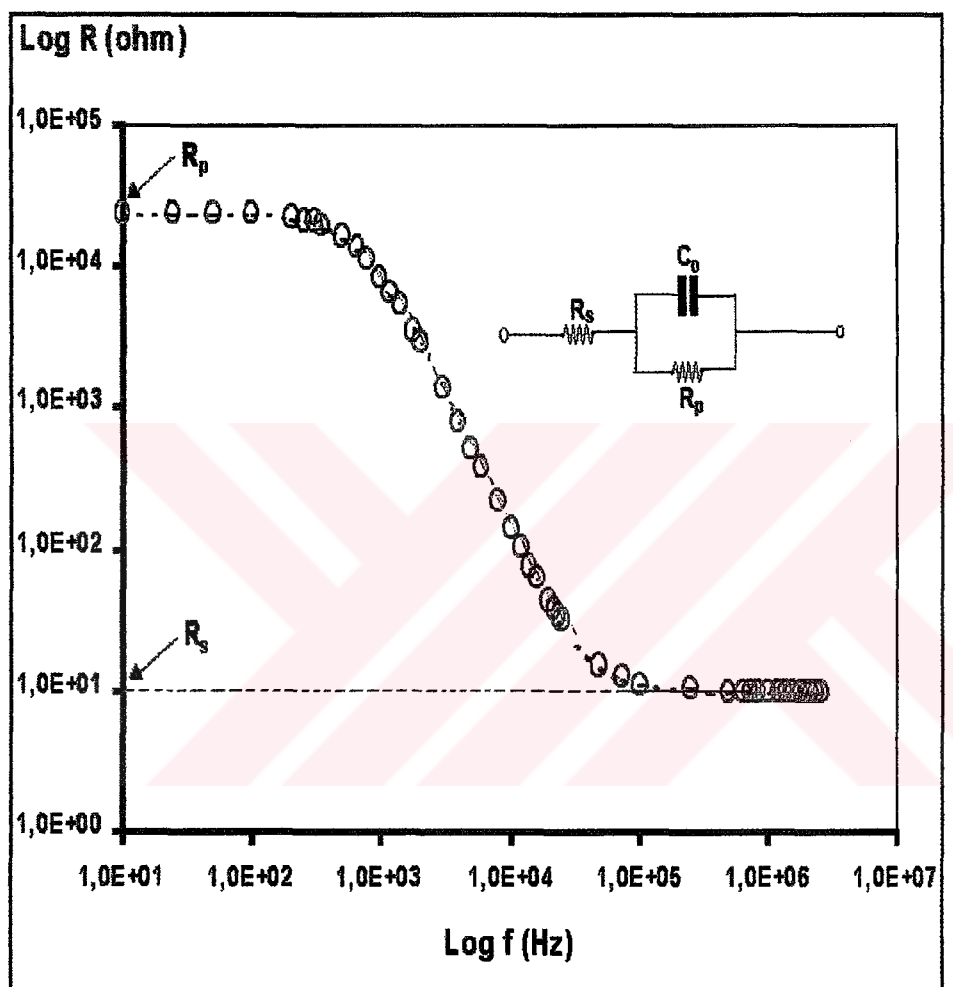
$Z_1, Z_2, Z_3$  değerleri yerine yerleştirip gerekli matematiksel işlemler yapıldıktan sonra  $Z_{es}$  ifadesi aşağıda verildiği gibi ifade edilebilir,

$$Z_{es} = \left( R_s + \frac{R_p}{1 + \omega^2 R_p^2 C_o^2} \right) + i \left( \frac{R_p^2 \omega C_o}{1 + R_p^2 \omega^2 C_o^2} \right) \quad (2.2.7)$$

$$Z'(\omega) = R(\omega) = \left( R_s + \frac{R_p}{1 + \omega^2 R_p^2 C_o^2} \right) \quad (2.2.8)$$

$$Z'' = X(\omega) = \left( \frac{R_p^2 \omega C_o}{1 + R_p^2 \omega^2 C_o^2} \right) \quad (2.2.9)$$

Bu teorik denklemlerdeki değişimleri incelemek için,  $R_s = 10\Omega$ ,  $R_p = 24k\Omega$ ,  $C_o = 8.9nF$  olarak seçilen değerler için bu çalışma içerisinde yazılan simülatör programı yardımıyla Şekil 2.2.(4-10) aralığında gösterilen grafikler çizilmiştir.



Şekil 2.2.4 İncelenen devre modelinde ac reaktansının frekansla olan değişimi.

Denklem 2.2.8 ve 2.2.9 da verilen fonksiyonların farklı frekans değerleri için değişimi incelendiğinde, Şekil 2.2.4 ve 2.2.5 da verilen teorik değişimler elde edilir.

Denklem 2.2.7 de verilen empedans ifadesinden admittans ifadesine Kramers-Kronig transformasyonu [51] yardımıyla geçiş yapılabılır ve bulunan admittans ifadesi sonuçta Denklem 2.2.11 de verilen forma dönüşür. Denklem 2.2.16 de konuktans ve suspektans ifadeleri yerine koyup gerekli işlemler yapıldığında admittans ifadesi Denklem 2.2.17 de ki gibi ifade edilebilir.

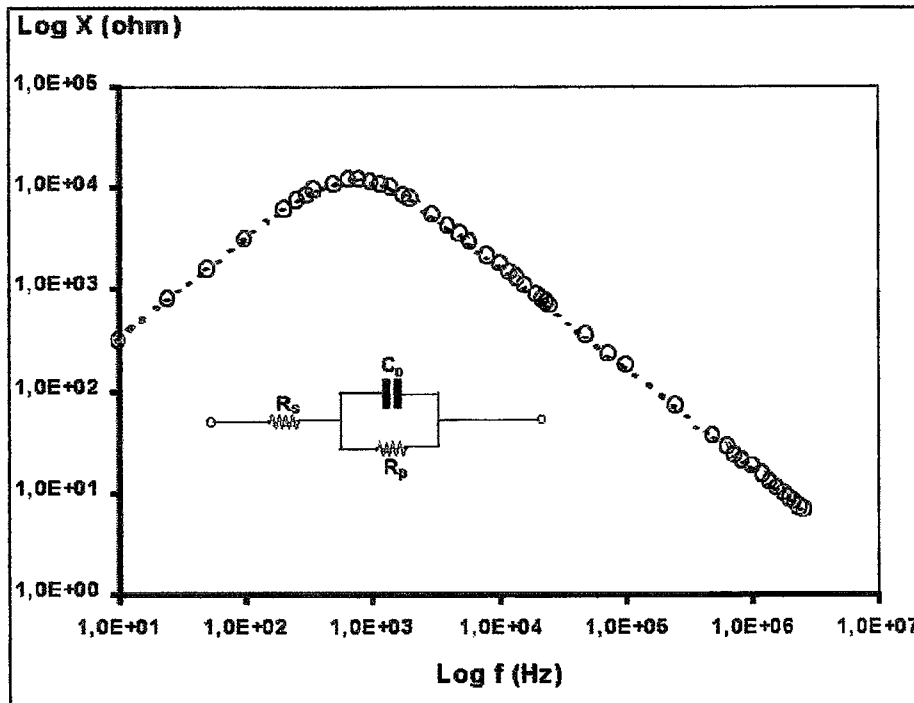
$$Y = \frac{1}{Z_{es}} = \frac{1}{R(\omega) + iX(\omega)} = G(\omega) + iB(\omega) \quad (2.2.10)$$

$$Y_{es} = \frac{R(\omega)}{R^2(\omega) + X^2(\omega)} - i \frac{X(\omega)}{R^2(\omega) + X^2(\omega)} \quad (2.2.11)$$

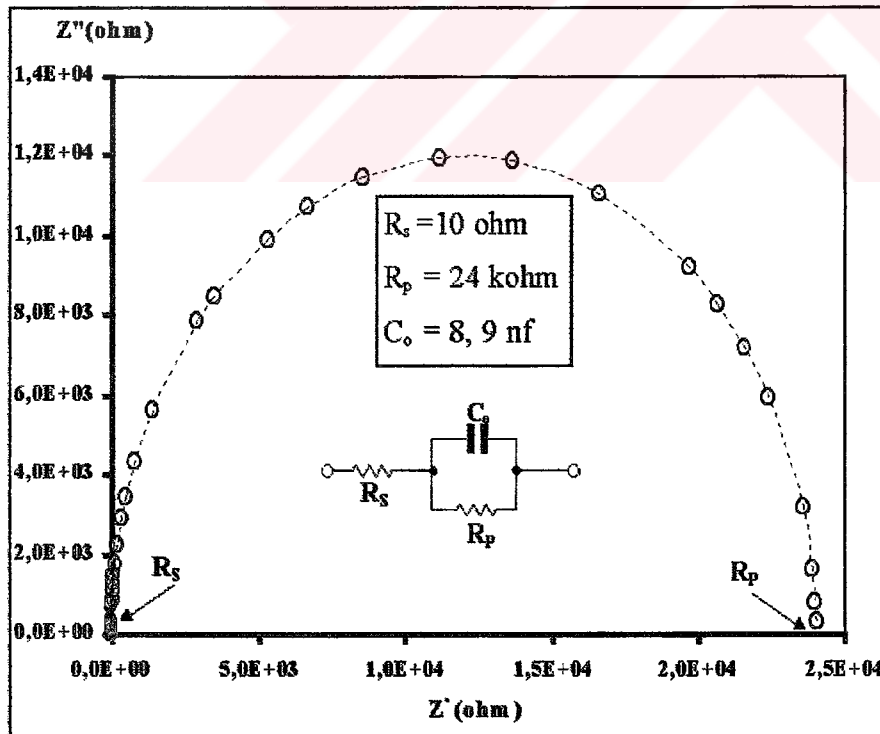
$$G(\omega) = \frac{R(\omega)}{R^2(\omega) + X^2(\omega)} \quad (2.2.12)$$

$$B(\omega) = \frac{X(\omega)}{R^2(\omega) + X^2(\omega)} \quad (2.2.13)$$

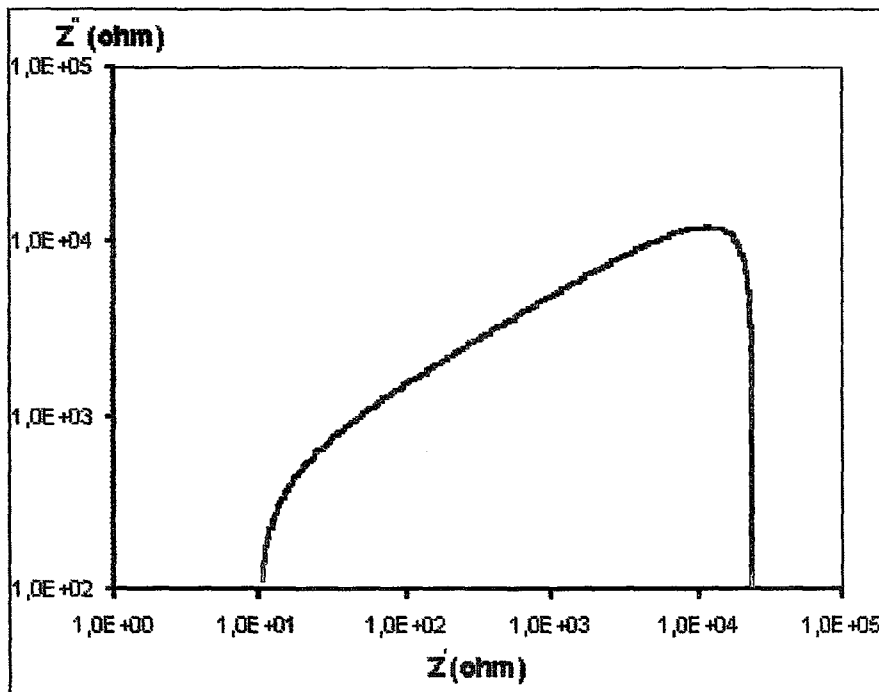
$$G(\omega) = \frac{1}{R_p} \frac{\frac{\omega^2 R_s^2 C_o^2}{1 + \frac{R_s}{R_p}}}{1 + \omega^2 R_s^2 C_o^2} , \quad (\frac{1}{R_p} = G_o \text{ ise}) \quad (2.2.14)$$



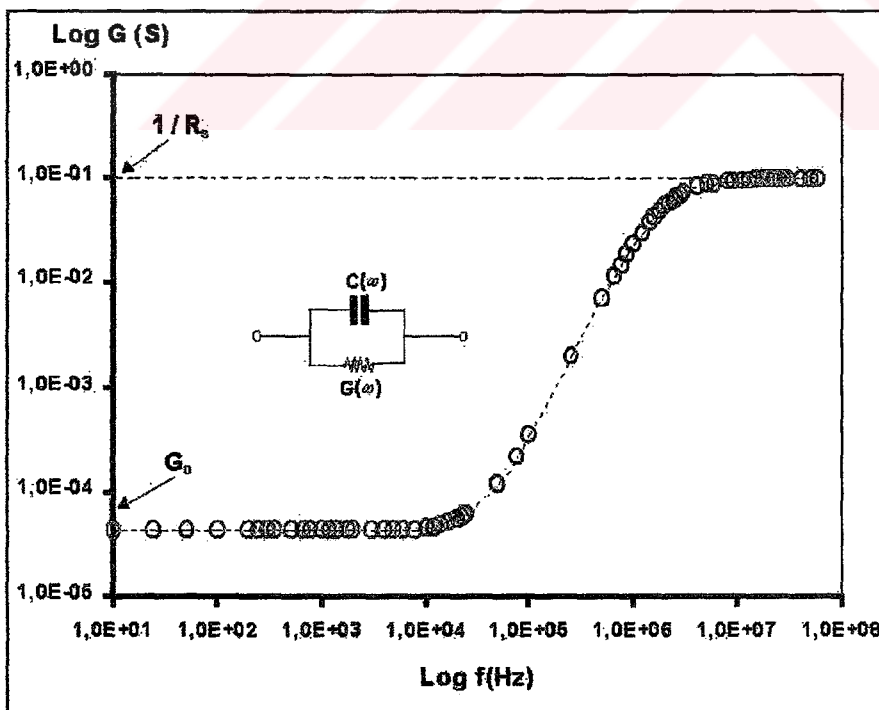
Şekil 2.2.5 İncelenen devre modelinde reaktansın frekansla olan değişimi.



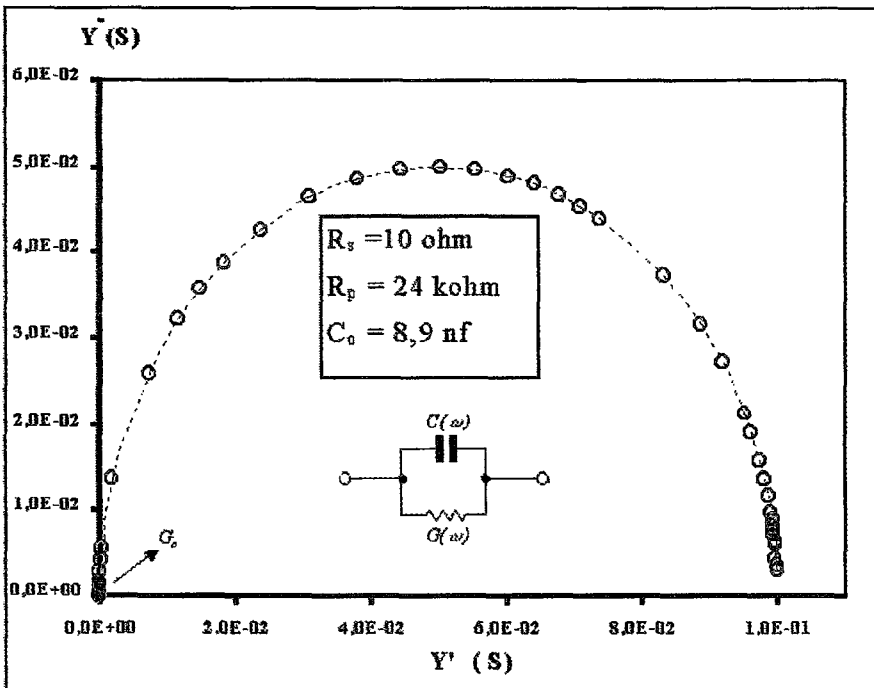
Şekil 2.2.6 İncelenen devre modelinde kompleks empedans-empedans değişimi.



Şekil 2.2.7 İncelenen devre modelinde logaritmik kompleks empedans-empedans değişimi.



Şekil 2.2.8 İncelenen devre modelinde konduktansın frekansla olan değişimi.



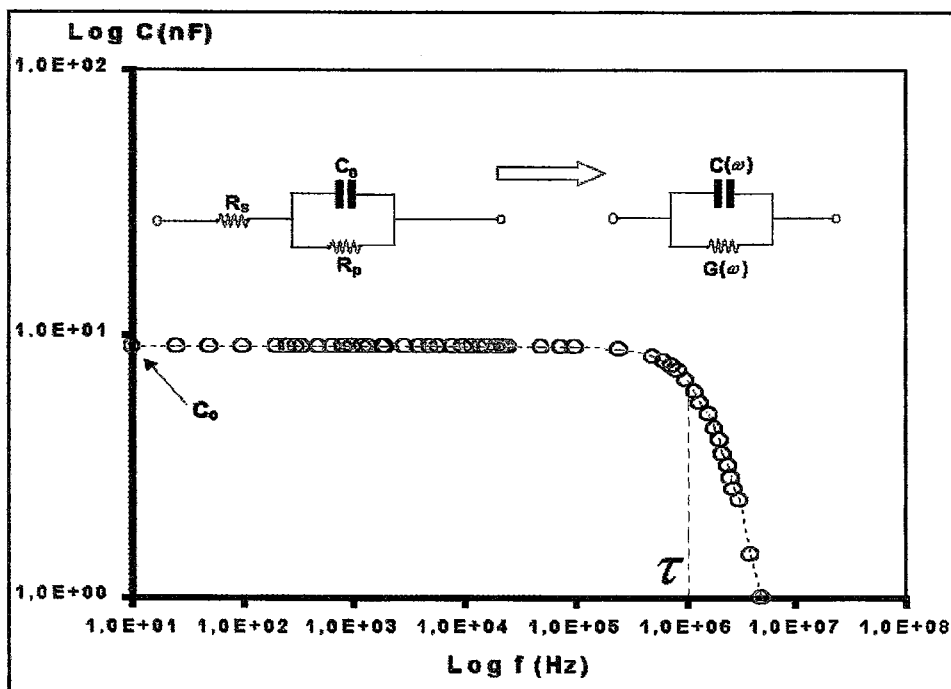
Şekil 2.2.9 İncelenen devre modelinde kompleks admittans-admittans değişimi.

$$B(\omega) = \frac{\omega C_o}{1 + \omega^2 R_s^2 C_o^2}, \quad (\tau = R_s C_o, \quad b = \frac{R_s}{R_p}) \text{ ise} \quad (2.2.15)$$

$$Y = G(\omega) + iB(\omega) = G_o \frac{1 + \omega^2 \tau^2 / b}{1 + \omega^2 \tau^2} + i\omega \frac{C_o}{1 + \omega^2 \tau^2} \quad (2.2.16)$$

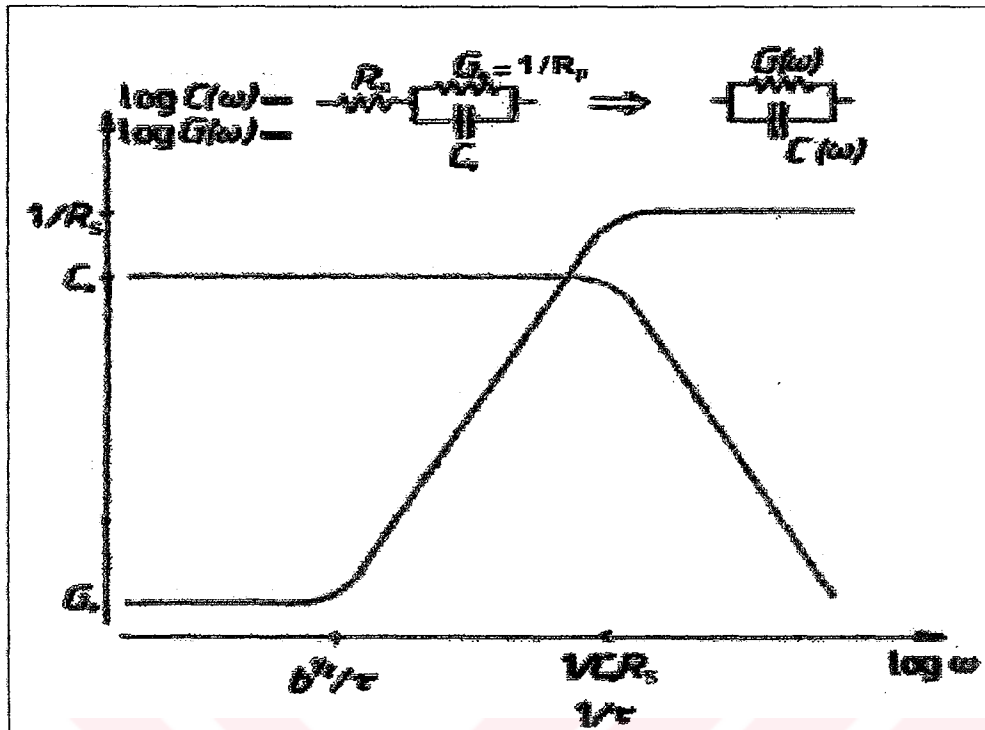
$$Y = G(\omega) + i\omega C(\omega) \quad (2.2.17)$$

$$C(\omega) = \frac{C_o}{1 + \omega^2 \tau^2} \quad (2.2.18)$$



Şekil 2.2.10 İncelenen devre modelinde kapasitansın frekansla olan değişimi.

Kramers-Kronig transformasyonu sonucunda elde edilen Denklem (2.2.14) ve Denklem (2.2.15) grafik üzerinde incelediğinde Şekil (2.2.8) ve Şekil (2.2.9) ‘lerde verilen karakteristik eğriler elde edilmektedir. Denklem (2.2.9) da verilen ifade  $Z'$  cinsinden yazıldığında ve sonra  $Z''$  ifadesi sıfıra eşilendiğinde iki kök elde edilir. Şekil (2.2.6) ve Şekil (2.2.9) aralığında da verilen grafiklerde görüldüğü gibi değişimlerin düşey ekseni kesen noktalar  $R_s$  ve  $R_p$  değerlerini vermektedir. Bu değerlerin daha doğru bir şekilde tespit edilmesi için Şekil (2.2.6) da verilen değişimin Şekil (2.2.7) de gösterilen logaritmik eksene taşınması gereklidir. Şekil (2.2.4) de verilen eğri ele alındığında ise eğrinin doyuma gittiği iki bölge olduğu görülmektedir. Bu doyum noktalarından da  $R_s$  ve  $R_p$  değerini belirlemek mümkündür. Şekil 2.2.9 da ki tek yarımdaire şeklindeki değişim aynı zamanda pn heteroeklem içerisindeki bir engelin varlığına işaret etmektedir [52]. Şekil 2.2.2.a da verilen devrenin a ve b uçları arasında gözlemlenmesi beklenen kapasitans ifadesinin frekansa göre olan değişimi ise denklem 2.2.18 ile ifade edilmekte olup Şekil 2.2.10 da gösterilmektedir. Aynı devre modeli için hem kapasitans ve hem de konduktansının frekansla olan değişimi ayrıca Şekil 2.2.11 de gösterilmiştir.



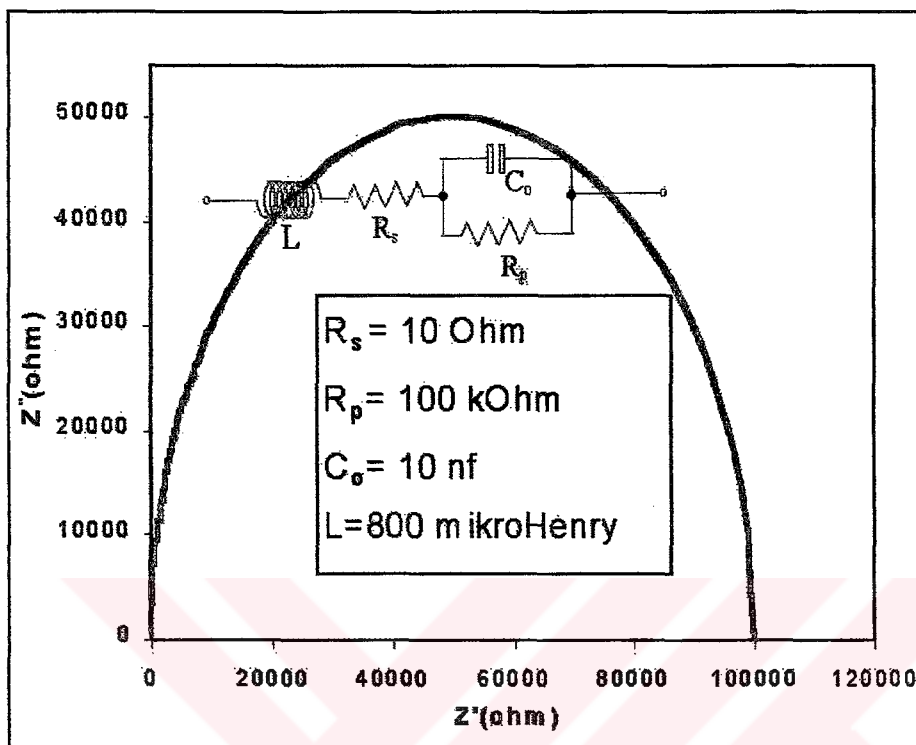
Şekil 2.2.11 İncelenen devre modelinde kapasitansının ve konduktansın frekansla olan değişimi [52].

Şekil 2.2.2 de verilen devreye seri bağlı olan bir induktörün etkisinin incelenmesi istenildiğinde Denklem 2.2.7-9 da verilen ifadeler aşağıda verilen formlara dönüştür.

$$Z_{eq} = \left( R_s + \frac{R_p}{1 + \omega^2 R_p^2 C_o^2} \right) + i \left( \frac{R_p^2 \omega C_o}{1 + R_p^2 \omega^2 C_o^2} + \omega L \right) \quad (2.2.19)$$

$$Z'(\omega) = R(\omega) = \left( R_s + \frac{R_p}{1 + \omega^2 R_p^2 C_o^2} \right) \quad (2.2.20)$$

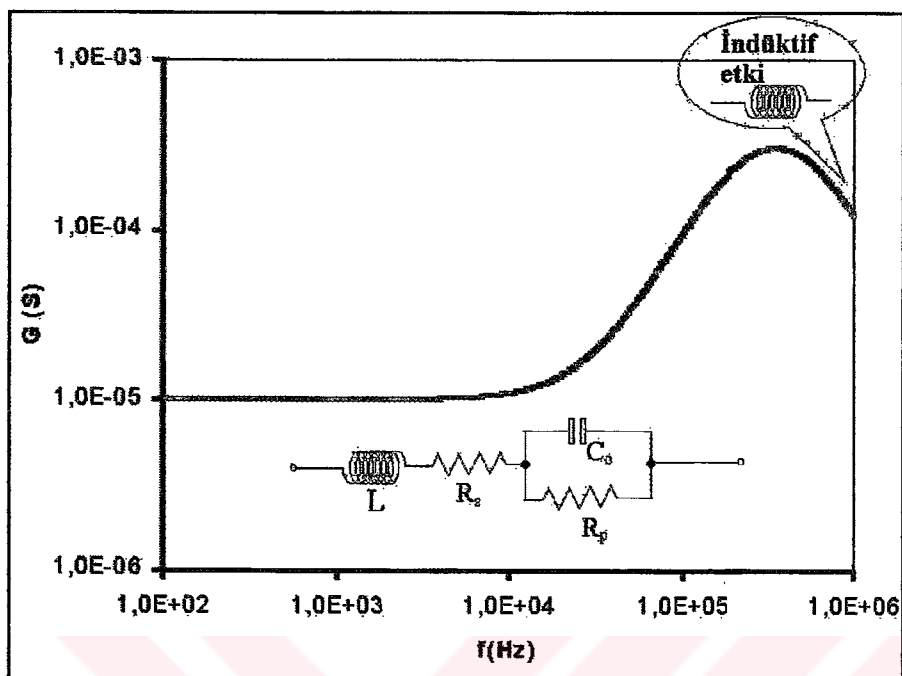
$$Z'' = X(\omega) = \left( \frac{R_p^2 \omega C_o}{1 + R_p^2 \omega^2 C_o^2} + \omega L \right) \quad (2.2.21)$$



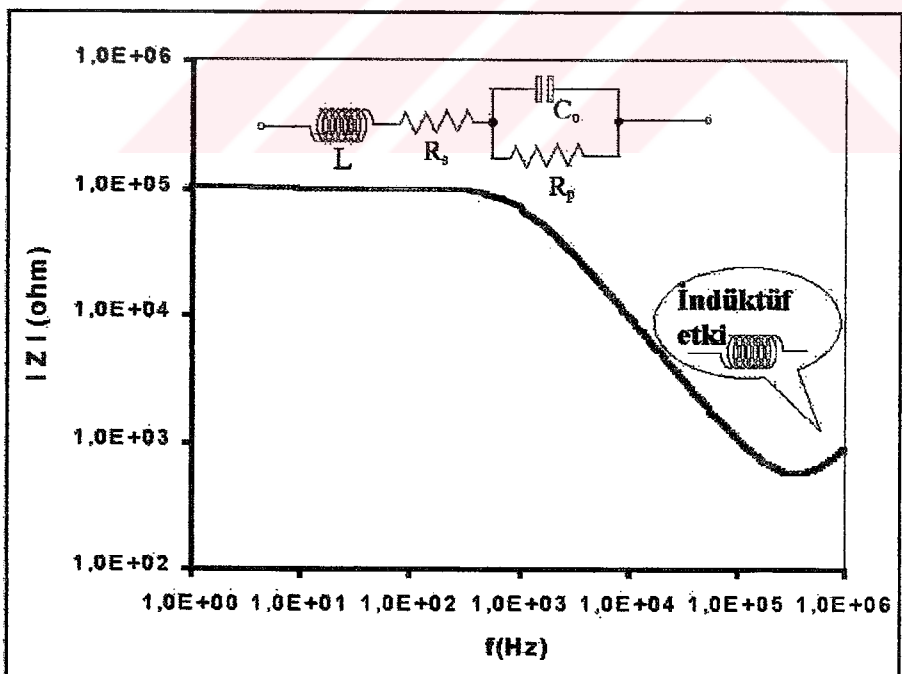
Şekil 2.2.12 Seri bağlı bir induktörün etkisinde kompleks empedans-empedans değişimi.

Bu durum Şekil 2.2.12 de verilen kompleks empedans değişimi ile ifade edilmiştir. Bu şimdiden de anlaşıldığı gibi yarımdairesel biçimindeki değişim artık eliptik bir görünüm almaktadır

İndüktif etkiler, Şekil 2.2.13 de gösterilen konuktan ile frekans ve Şekil 2.2.14 de gösterilen empedansın mutlak değeri ile frekans değişimlerinde kendilerini yüksek frekanslarda karakteristik bir bükülmeyeyle göstermektedirler.



Şekil 2.2.13 Seri bağlı bir induktörün etkisinde konduktansın frekansla olan değişimi



Şekil 2.2.14 Seri bağlı bir induktörün etkisinde empedansın mutlak değeri ile olan frekans değişimi.

### 2.3. ADMITTANS SPEKTROSKOPİSİ İLE PN HETEROEKLEM ARA YÜZEYİNİN KARAKTERİZASYONU

pn eklem admittans spektroskopisi, frekans ve sıcaklığın fonksiyonu olarak yapılan konduktans ve kapasitans ölçümelerini kapsamaktadır. Denklem 2.2.16 ve<sup>17</sup> de gerçek ve sanal kısımları ‘Kramers-Kronig bağıntısı ile bağlı olarak ifade edilen admittansın hem kapasitansının hem de konduktansının frekans ve sıcaklık ile olan bağımlılıklarının incelenmesi ile aynı bilgiler edinilebilir.

Sadece sığ alıcı ve verici düzeylerini içeren bir pn eklem yapıda, ölçüm frekansının çoğunluk yük taşıyıcılarına cevap verebildiği durumda kapasitans C boşaltılmış bölgenin genişliğinin belirleyicisi olur [53]. Bu durumda çoğunluk yük taşıyıcıların cevap süreleri (relaksasyon zamanı) di-elektrik relaksasyon zamanı ile belirlenir,

$$\tau_{rel} = \varepsilon / \sigma$$

2.3.1

burada  $\sigma$  iletkenlik ve  $\varepsilon$  di-elektrik sabitidir. Açısal modülasyon frekansının  $\omega = 2\pi f$ ,  $\tau_{rel}^{-1}$ 'den büyük olması durumunda çoğunluk yük taşıticıları uygulana frekansı takip edemezler. Yüksek frekanslarda, tüm yarı iletken bir di elektrik gibi davranışır ve C eklemin geometrik kapasitans değerine eşit olur. Eğer  $\sigma$  ıslısal olarak aktif ise kritik frekans ta sıcaklıkla değişen bir kayma gösterir. Eklemde, boşaltılmış bölge içerisinde tuzak seviyelerinin varlığı durumunda, elektron (yada deşik) sözde (quasi) fermi düzeyi civarında bulunan elektron (yada deşik) tuzak seviyelerinin yüklenmesi yada yüklerini kaybetmesi aygit kapasitansında değişim neden olur. Aygit kapasitansına gelen bu katının gerçekleşebilmesi için modülasyon ile serbest yükler ile tuzak seviyesinin doluluğu (occupation) arasında bir dengenin kurulması gereklidir.

Eş-değer devre modelinin tanımlanması pn eklemin ara yüzeyinde bulunan tuzak durumlarının dağılımlarının belirlenmesi açısından oldukça önemlidir. [52]. Birbirine paralel bağlı birer direnç ve kondansatör ile bunlara seri bağlı bir dirençten

oluşmuş olarak ele alınan bir pn eklem de tek bir tuzak durumunun varlığında, aygit kapasitansına tuzak seviyesinden gelen katığının açısal frekans  $\omega$  ile olan değişimi aşağıda verildiği gibi olur.

$$C_{tuzak} \propto \frac{\omega_0^2}{(\omega_0^2 + \omega^2)} \quad (2.3.2)$$

Kapasitansın büküldüğü frekans değerini ifade eden  $\omega_o$ , bükülme frekansı tuzak seviyesinin relaksasyon süresi  $\tau_{tuzak}^{-1}$  ile aşağıdaki gibi bağlıdır [53],

$$\omega_o = 2 / \tau_{tuzak} = 2N_{C,V}v_{isusal}\sigma_{n,p} \exp(-E_a / kT) \quad (2.3.3)$$

$N_{C,V}$  kapsanan bant için efektif durum yoğunluğu,  $v_{isusal}$  ısisal hız ve  $\sigma_{n,p}$  elektron veya deşik için tuzak kapma (capture) kesit alanı dir.  $E_a$  enerji değeri tuzak seviyesinin değerlik yada iletkenlik bant kiyısına olan uzaklığını göstermektedir.  $N_{C,V}$  ve  $v_{isusal}$  ‘ın sıcaklıkla olan bağılıkları nedeniyle bükülme frekansı aşağıdaki gibi formüle edilebilir,

$$\omega_o = \xi_o T^2 \exp(-E_a / kT) \quad (2.3.4)$$

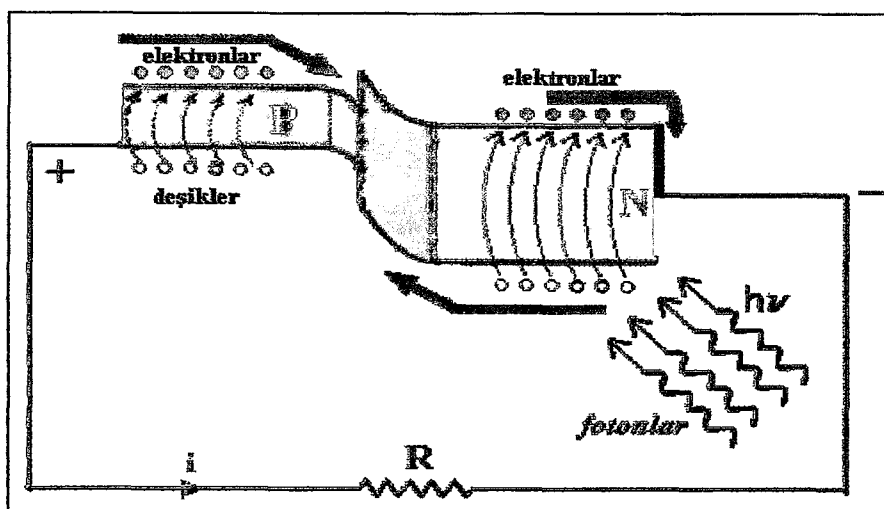
$\xi_o$  faktörü tüm sıcaklıktan bağımsız parametreleri kapsamaktadır

Şekil 2.2.11 de kapasitans ve konduktansın frekans ile olan değişimleri ele alınan devre modeli için gösterilmiştir. C-F değişimlerindeki bükülme di elektrik rölsasyon zamanıyla doğrudan ilişkilidir. C-F değişimlerindeki bu kritik frekans değerinden sonra hızla azalan kapasitans değeri, pn eklemdeki tüketim bölgesinin konduktansının artmasına neden olur. Boşaltılmış bölgein konduktansının artmasıyla birlikte öz direnci de hızla küçülmeye başlar. Öz direnç değerindeki bu düşüş, ara yüzeydeki ac sinyalini takip edemeyen tuzak seviyelerinin serbest yük taşıyıcılarında boşaltılması sonucunda meydana gelmektedir.

## 2.4 FOTOVOLTAİK ENERJİ ÇEVİRİMİ

### 2.4.1 FOTOVOLTAİK ETKİ :

Bir yarı-iletken üzerine düşen güneş radyasyonun soğurulması sonucu materyal içerisinde elektron-boşluk çifti meydana gelir ve bu elektron-boşluk çifti rahatsız edilmezlerse materyallin özelliklerine bağlı olarak belirlenen bir yaşam süresi sonucunda birleşerek yok olurlar. Eğer yarı-iletken materyal içerisinde homojen olmayan yük dağılımı sonucu oluşan yerel bir elektrik alan var ise, bu alan fotonun soğurulması sonucunda yaratılan elektron-deşik ( $e-h$ ) çiftini ayırmak için kullanılabilir. Materyal içerisindeki bu yerel elektrik alanı, metal-yarıiletken kontağı (Schottky kontağı), metal-yalıtkan-yarıiletken (MIS) aygıt ile yada iki farklı tipte iletkenliğe sahip yarı iletken materyal/materyaller den oluşan pn- homoeklem (eklem aynı materyal içerisinde ise) veya heteroeklem (eklemi iki farklı materyalden oluşmuş ise) ile oluşturulabilir [54]. Yerel bir elektrik alanı etkisi ile ayrılan elektron ve deşik yük taşıyıcıları yarıiletken üzerinde gerilim düşmesine neden olur, bu gerilim foto voltaj olarak adlandırılır. Elektron ve deşiklerin, çoğunlukta oldukları bölgeye ulaştırılması sağlanırsa (yani,. Elektronlar n-tipi bölgeye, deşikler de p tipi bölgeye) kontaktlara ulaşan yük taşıyıcıları foto akıma katkıda bulunurlar. Şekil 2.4.1 de bir heteroeklemin n-tipi pencere materyali üzerine gelen fotonların oluşturduğu fotoelektrik etki şematik olarak gösterilmiştir.



Şekil 2.4.1 Bir pn heteroeklem güneş pilinde fotovoltaik etki

#### 2.4.2 GÜNEŞ PILİ PARAMETRELERİ :

Üzerine gerilim uygulanmayan ideal bir p-n eklemi, ısisal denge durumunda iken p-den n-tipi bölgeye yada n-den p-tipi bölgeye geçen azınlık ve çokunluk yük taşıyıcısı konsantrasyonları birbirlerine eşit olduklarından aygit içerisinde geçen net akım sıfır olur. Ekleme ters besleme gerilimin uygulandığı durumda, azınlık yük taşıyıcı akısı aynı kaldığı halde bir bölgeden diğerine geçen çokunluk yük taşıyıcı sayısı önemli miktarda azaldığından yeniden birleşme akısı da oldukça azalır. Bu durumda akım, ters doyma akımı adı verilen negatif bir değerde kalır. Ters doyma akımı, her iki yarı iletken bölge içerisinde ısisal uyarımıyla yaratılan elektron-deşik oranına bağlı olup aşağıda verildiği gibi ifade edilebilir,

$$J_o = p_n q \vartheta_p + n_p q \vartheta_n \quad (2.4.1)$$

burada,  $n_p$  ve  $p_n$  azınlık yük taşıyıcısı yoğunlukları,  $\vartheta_p$  ve  $\vartheta_n$  ise onların azınlık taşıyıcısı difüzyon uzunluğu ( $L_n$ ,  $L_p$ ) ile yaşam süreleri ( $\tau_n, \tau_p$ ) cinsinden ifade edilen hızlardır. Bu durumda  $J_o$ ,

$$J_o = q(p_n L_p / \tau_p + n_p L_n / \tau_n) \quad (2.4.2)$$

olur.

İleri beslemenin uygulandığı durumda, ideal bir pn ekleminden geçen çokunluk yük taşıyıcısı akısı artar ve toplam akım aşağıda verildiği gibi ifade edilebilir,

$$J_F = I_o \left[ \exp\left(\frac{qV}{kT}\right) - 1 \right] \quad (2.4.3)$$

İşik altında bulunan bir p-n ekleminde, çokunluk yük taşıyıcısı yoğunluğu çok az artar ve düz ön gerilim akımı fazla değişmez. Ancak, ışık altında azınlık yük taşıyıcısının yoğunluğu önemli miktarda değişir bu da ters doyma akımında önemli değişime neden olur [55].

$$\begin{aligned} J_o(\text{işik}) &= q\{(p_n + \Delta p)L_p / \tau_p + (n_p + \Delta n)L_n / \tau_n\} \\ &= J_o + J_L \end{aligned} \quad (2.4.4)$$

$I_L$  ise ışık ile yaratılan yük taşıyıcılarının oluşturduğu akımı,  $\Delta p$  ve  $\Delta n$  denge durumunda (yaratılma ve yok olma hızlarının eşit olduğu) fotonun emilmesi sonucu birim hacim ve birim zamanda yaratılan ekstra deşik elektron yoğunluklarını ifade etmektedir.

$$\Delta p = (FQ\alpha\tau_p)/h\nu \quad \text{ve} \quad \Delta n = (FQ\alpha\tau_n)/h\nu \quad (2.4.5)$$

olarak yazılabilir, burada  $F$  birim alan başına düşen ışık enerjisini (radyasyon yoğunluğunu),  $\alpha$  soğurma katsayısını,  $Q$  materyalin kuantum verimliliğini tanımlamaktadır. İşık altında ters yönde yaratılan  $J_L$  akımı,

$$J_L = \frac{Q\alpha F q}{h\nu} (L_n + L_p) \quad (2.4.6)$$

olarak yazılabilir.

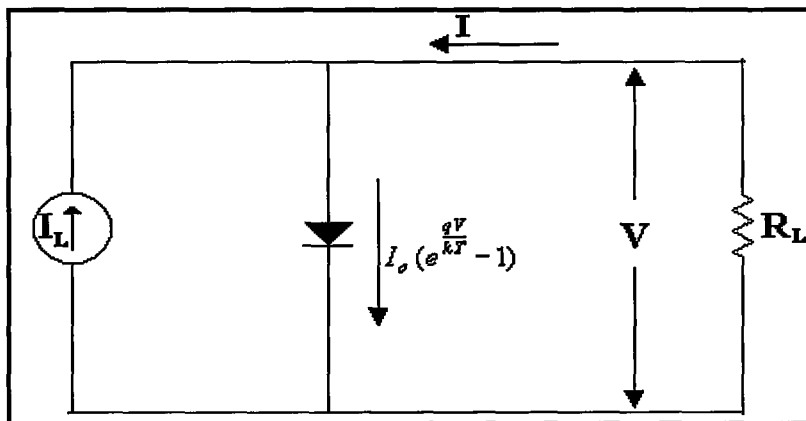
İdeal bir güneş pili, Şekil 2.4.2 de gösterilen V gerilimi etkisinde ideal diyodtan düz yönde akan akıma  $J_F$  paralel olarak ters yönde akan ışık akımını  $J_L$  sağlayan sabit akım kaynağından oluşan dc eşdeğer devresi ile belirtilebilir. R yük direnci üzerinden geçen akım bu durumda,

$$J = J_F - J_L \quad (2.4.7)$$

yada,

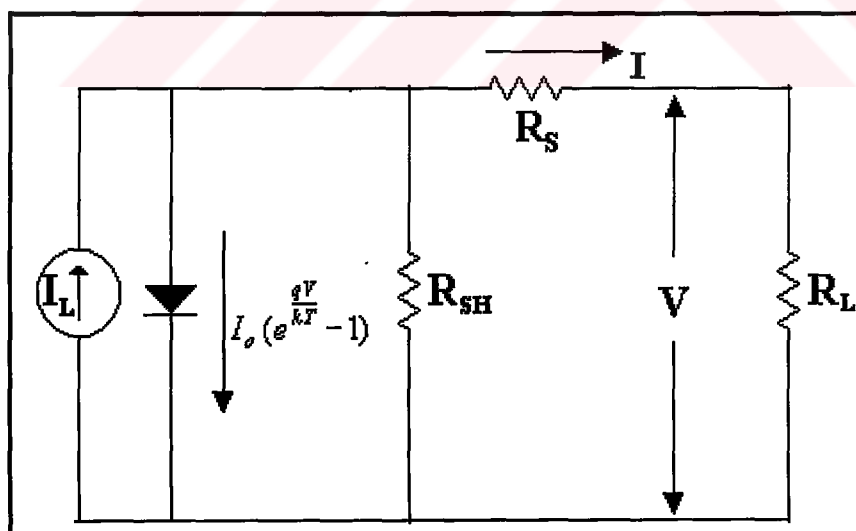
$$J = J_o [\exp(qV/kT) - 1] - J_L \quad (2.4.8)$$

olur. Burada  $k$  Boltzman sabiti ve  $q$  elektronun yüküdür.

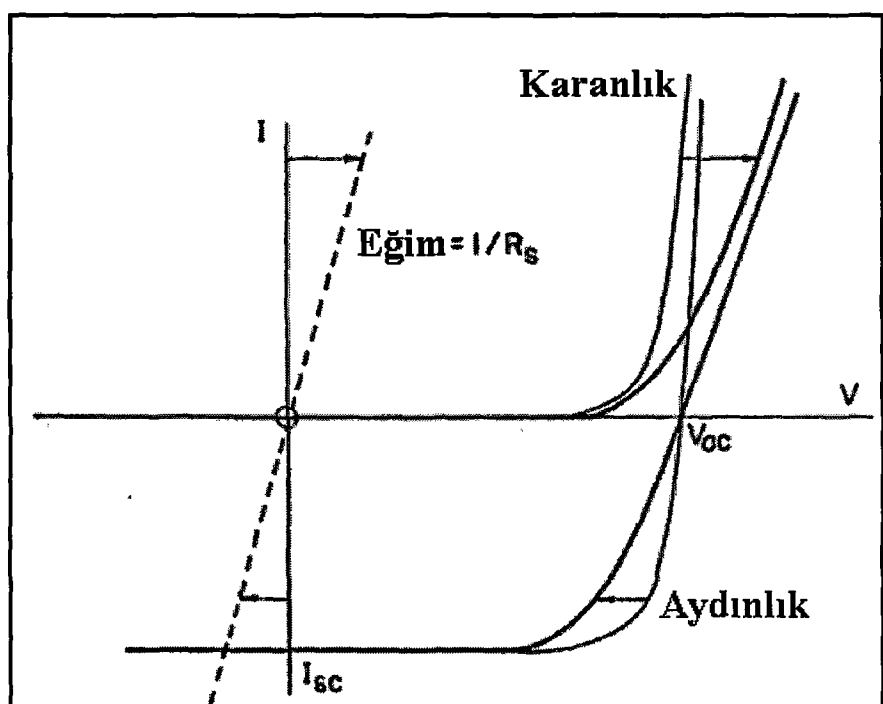


Şekil 2.4.2 İdeal bir güneş pilinin doğru akım eşdeğer devresi.

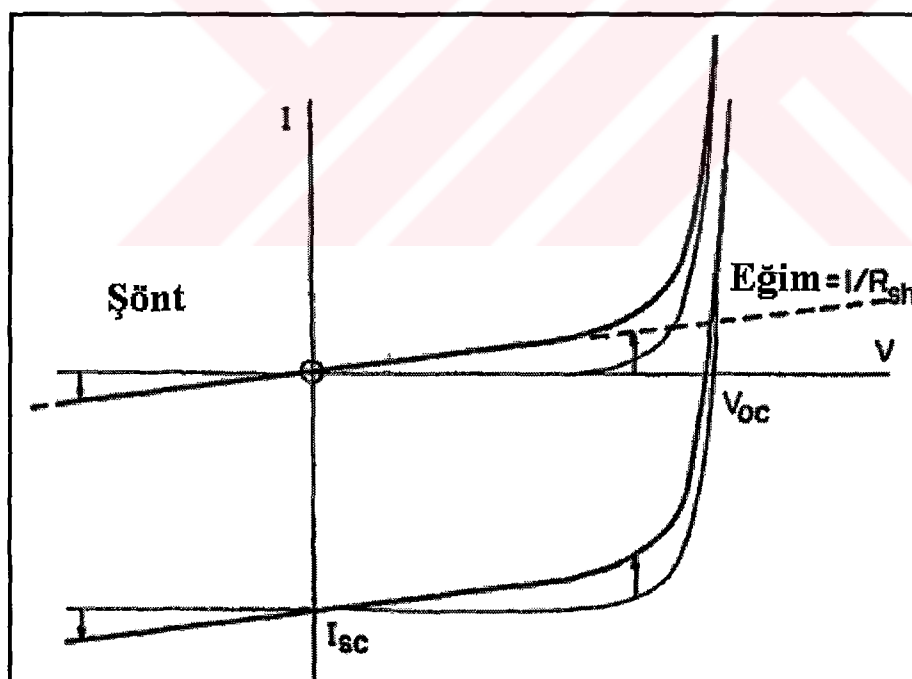
Kullanıma hazır durumda olan bir güneş pilinin, seri ve paralel direnç etkilerinin katılımı ile yeniden düzenlenen daha gerçekçi doğru akım eşdeğer devresi Şekil 2.4.3.de gösterilmiştir. Şekil 2.4.4.a ve b de ise seri ve paralel dirençlerinin akım-voltaj karakteristiği üzerine olan etkileri çizilmiştir.



Şekil 2.4.3 İdeal bir güneş pilinin, seri ve paralel direnç etkilerini kapsayan doğru akım eşdeğer devresi ( $R_L$  yük direncidir)



a)



b)

Şekil 2.4.4. a) Seri direnç etkisinin deki ve b.) paralel direnç etkisindeki bir güneş pilinin ışık altındağı I-V karakteristiği [29].

Pilin kenarları boyunca olan yüzey akım kaçakları, damar sınırları (grain boundary), kristal kusurları veya yer değiştirme (dislocation) kusurları boyunca olan difüzyon çıktıları (spike) ( $R_{sh}$  ile gösterilen paralel (şönt) direnç etkisinin) oluşumuna neden olabilir.  $R_s$  ile gösterilen seri direnç etkisi, eklemi oluşturan materyallerin nötral bölge direncinden ve kontak dirençlerinden dolayı olabilir. İdeal bir güneş pilinde seri direnç etkileri  $R_S = 0\Omega$  düzeyinde, paralel direnç etkisi ise  $R_{SH} = \infty$  düzeyinde olmalıdır. Seri ve paralel direnç etkilerinin dikkate alındığı durumda ideal bir pn eklemindeki karanlık akım-gerilim denklemi aşağıdaki gibi yeniden düzenlenebilir,

$$J = \sum_i J_{0i} \left[ \exp\left(\frac{q(V - JR_s)}{A_i kT}\right) - 1 \right] + \frac{V - JR_s}{R_{sh}} \quad (2.4.9)$$

burada  $J$  akım yoğunluğu,  $J_{0i}$  ve  $A_i$  i ncı mekanizma için akım ve diyod faktörü değerleri,  $V$  aygit üzerine düşen gerilim değeridir.

Genellikle bir güneş pili aşağıda sıralanan beş temel parametre ile tanımlanır ;

i) Kısa devre akımı;  $I_{sc}$ , sıfır ön gerilim durumunda, ışık altında eklemden akan akım olarak tanımlanır. İdeal bir güneş pilinde  $I_{sc} = -I_L$  dir. Kısa devre akımı, ışık kaynağının spektrumu ile soğurucu materyalin kuantum verimliliğine (gelen foton başına yaratılan elektron-deşik çifti) bağlıdır. Spektral karşılık sırası ile, optiksel soğurma katsayısına, boşaltılmış bölge genişliğine, pencere materyalinin kalınlığına, yük taşıyıcılarının yaşam sürelerine ve mobilite değerlerine, eklemdeki her iki yanındaki elektrik alanın şiddetine bağlıdır.

ii) Açık devre gerilimi:  $V_{oc}$ , ışık altında bulunan eklemde sıfır akımın geçtiği durumdaki gerilim değeri olarak nitelendirilir. Bir p-n eklemiin açık devre gerilimi eklemdeki enerji engel yüksekliği kanalı ile yarı iletkenin yasak enerji aralık değeri ile doğrudan ilintilidir. Genellikle kısa devre ışık akımı ve ters yöndeki doyma akımı ile aşağıda verildiği gibi ifade edilir,

$$V_{oc} = \left( \frac{AkT}{q} \right) \ln \left[ \frac{I_L}{I_o} + 1 \right] \quad (2.4.10)$$

İdeal bir eklemde A, 1 e eşit olur ve V<sub>oc</sub> en büyük değerine ulaşır, bunun yanı sıra A değerleri arttıkça V<sub>oc</sub> de azalır. Ayrıca, Denklem (2.4.10) da verilen ifadenin logaritmik doğası ışığın fonksiyonu olarak V<sub>oc</sub> nin sabit bir değere doğru gitmesine neden olur.

iii) Çıkış gücü: I<sub>sc</sub> ve V<sub>oc</sub> arasında kalan herhangi bir noktadaki çıkış gücü aşağıdaki gibi olur,

$$P = JV = J_o V [\exp(qV/AkT) - 1] - J_{LV} \quad (2.4.11)$$

Maksimum güç koşuluna  $\partial P / \partial V = 0$  yardımı ile ulaşılı bilinir, bu durumda maksimum güç durumundaki maksimum akım,

$$J_m = (J_{sc} + J_o)(qV_m/AkT)/[1 + (qV_m/AkT)] \quad (2.4.12)$$

ve,

$$\begin{aligned} \exp(qV_m/AkT)[1 + (qV_m/AkT)] &= (J_L/J_o) + 1 \\ &= \exp(qV_{oc}/AkT) \end{aligned} \quad (2.4.13)$$

maksimum güç noktasındaki V<sub>oc</sub> ‘nin hesaplanmasına olanak verir. Maksimum çıkış gücü,  $P_m = V_m j_m$  yardımı ile hesaplanabilir.

vi) Doluluk faktörü: FF, I-V karakteristik değişiminin kare şecline ne kadar yakın olup olmadığıının bir ölçüsüdür ve,

$$\begin{aligned} FF &= \frac{V_m J_m}{V_{oc} J_{sc}} \\ &= V_m/V_{oc} \{ [1 - \{\exp(qV_m/AkT) - 1\}] / [\exp(qV_{oc}/AkT) - 1] \} \end{aligned} \quad (2.4.14)$$

denklemleri ile ifade edilebilir. J-V karakteristiğinin ve  $J_{sc}$ 'nin bilinmesi ile ideal bir güneş pilinin tüm parametrelerini belirlemek mümkün olabilir. Yukarıda verilen açıklamalar yardımı ile, eklemin elektriksel özellikleri ile güneş pili verimliliği arasındaki bağlantıyı veren en önemli göstergelerin A diyot faktörü ile akım faktörünün  $J_0$  olduğunu söyleyebiliriz. Denklem (2.4.10)-(2.4.14) aralığındaki tüm ifadelerde seri ve paralel direnç etkileri ihmal edilmiştir.

v) Verimlilik: Bir güneş pilinin verimi  $\eta$ , maksimum güç noktasında üretilen gücün, güneş piline gelen fotonların optiksel gücüne olan oranı olarak tanımlanabilir,

$$\eta = \frac{V_m J_m}{P_{giriş}} \quad (2.4.15)$$

Giriş gücü  $P_{in}$ ,

$$P_{in} = A \int_0^{\infty} F(\lambda) \frac{hc}{\lambda} d\lambda \quad (2.4.16)$$

Burada A güneş pilinin yüzey alanı,  $F(\lambda)$ ,  $\lambda$  dalga boyunda birim alana birim zamanda gelen toplam foton sayısı ve  $hc / \lambda$  her bir fotonun enerjisidir. Maksimum çıkış gücü  $P_m$ ,

$$P_m = V_m J_m = V_{oc} J_{sc} FF \quad (2.4.17)$$

bu nedenle, bir güneş pilinin çevirim verimliliği,

$$\eta = \frac{P_{max}}{P_{in}} \times 100 = \frac{I_M V_M}{P_{in}} \times 100 \quad (2.4.18)$$

olarak tanımlanır.

### **2.4.3 GÜNEŞ PILİNİ OLUŞTURAN TABAKALAR:**

Heteroeklem güneş pili, iki farklı yarı iletkenin oluşturduğu bir p-n eklem aygıtı olup soğurucu, pencere, geçirgen kontak, mat kontak ve koruyucu isimlerini alan beş farklı tabakadan meydana gelmektedir;

**Soğurucu (absorber) tabaka;** en önemli tabakalardan birisi olup üzerine düşen güneş ışınlarını soğurup elektron – deşiklerin yaratılmasına neden olur. Bu tabakanın temel parametreleri, yasak enerji aralık değeri, soğurma katsayısı ile belirlenen uygun kalınlığı ve azınlık yük taşıyıcı difüzyon uzunluğuudur. Maksimum verimlilik, optimum yasak enerji aralık değerine sahip soğurucu yarı-iletken materyal ile belirlenebilir. Enerjisi yasak enerji aralık değerine eşit yada büyük değerde olan fotonun soğrulması ile oluşan serbest yük taşıyıcıları eklemden geçen maksimum akımı belirler. İdeal bir güneş pilinde optimum yasak enerji aralık değeri 1-1.3 eV optimum bant aralığı yarı-iletken materyaller için 1.5-1.6 eV olarak değişmektedir [56,57]. Soğurucu tabakanın kalınlığı kullanılan materyalin soğurma katsayısına  $\alpha(\lambda)$  bağlıdır. Soğurma katsayısının değerinin büyük olması hem teknolojik hem de ekonomik açıdan önemlidir. Genellikle, soğurucu tabakanın üzerine düşen güneş ışınımını etkin bir şekilde soğrabilmesi için kalınlığının 1-2  $\mu\text{m}$  civarında yada  $1/\alpha(\lambda)$  kadar olması gereklidir. Yaratılan azınlık yük taşıyıcılarının %90ının eklem bölgесine iletimi için difüzyon uzunluğu değerlerinin soğurucu film kalınlığı kadar olması istenir. Difüzyon uzunluğu bir çok faktöre bağlıdır, örneğin, i) katkı ve kusur yoğunluğu, ii) materyalin kristalliği, iii) kristal döngüsü (oriyantasyonu) ve iv) ideal kristal yapının moleküller oranı ile olan uyumu (stoichiometry).

**Pencere tabakası:** Azınlık yük taşıyıcılarını toplayan pencere tabakasının zıt etkenlik tipine sahip olması gereklidir. Çoğu durumda soğurucu tabaka p tipi, pencere tabaka n –tipi olarak seçilir. İki tabaka arasında örgü sabiti değerlerinin ve elektron düşükünlüğü değerlerinin uyumunun sağlanması oldukça önemlidir. Eğer pencere materyalinin elektron düşükünlüğü değeri soğurucu tabakanından daha az ise fotovoltaik çevrim sonucunda üretilen açık devre gerilimi (pil verimliliği) azalır. Bunun tersi durumunda ise iletim bant kıyısında oluşan enerji çıkıştırı (spike)

eklemden geçen akımın azalmasına bu da verimin azalmasına yol açar. Yaratılan fazlalık yük taşıyıcılarının yeniden birleşip yok olmalarına yol açabilecek kusurların azalması için materyallerin örgü sabit değerleri arasındaki uyum çok önemlidir.

**Geçirgen kontak:** Güneş ışınınının üzerine düştüğü pencere materyali üzerinde yer alan ohmik karakterde bir kontaktır. Optiksel geçirgenliği genellikle %95 civarında olup toplam aygıtın seri direnç etkilerini minimize edecek kadar akım taşıyabilme özelliğine sahip olmalıdır. Bu tip kontaktlara örnek; ZnO, indiyum tıń oksit, tıń oksit sayılabilir.

**Arka kontak:** Soğurucu materyale uygulanan ohmik karakterde düşük dirençli elektriksel bir kontaktır.

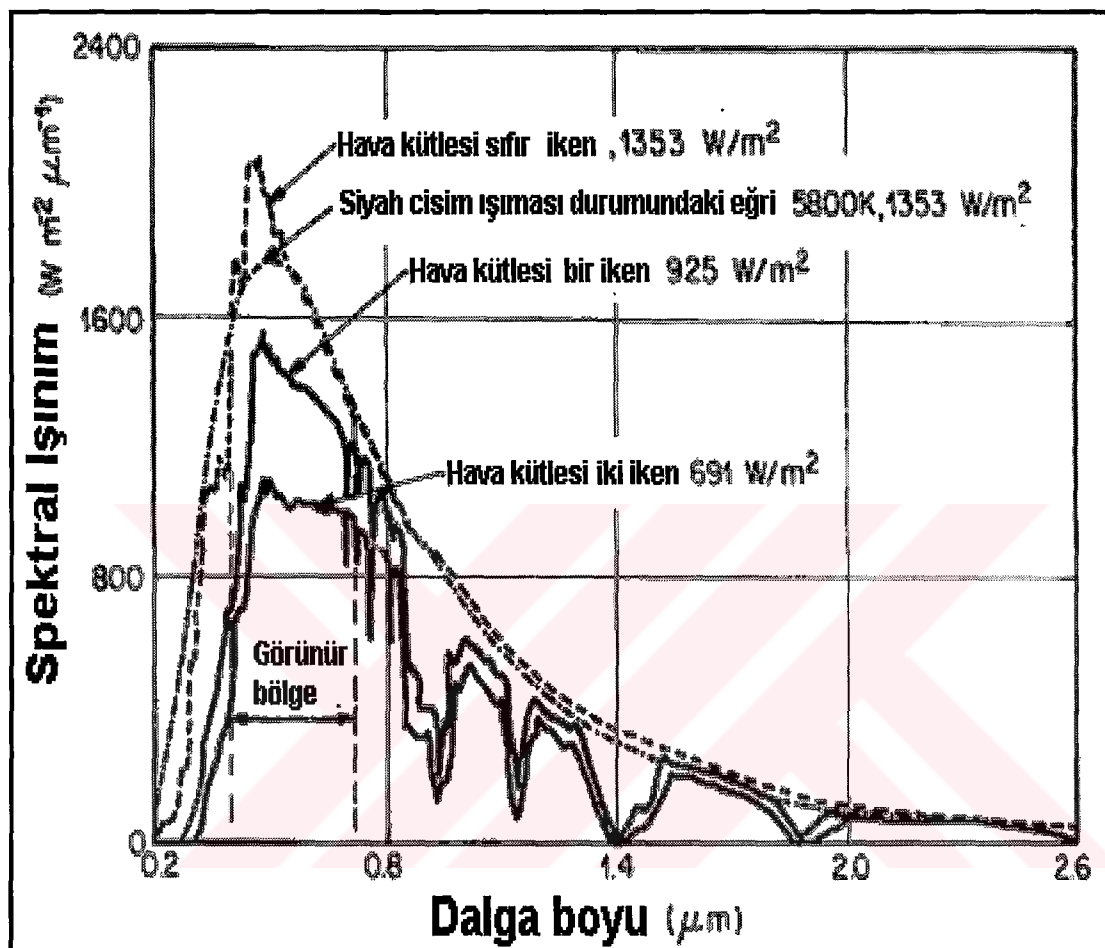
**Koruyucu tabaka:** Aygıtın en üst tabakası olup güneş pilini dış etkilerden korur. Optiksel olarak geçirgen olup yansımadan dolayı olan kayıpları da azaltıcı özelliği sahiptir.

#### 2.4.4 GÜNEŞ SPEKTURUMU VE OPTİMUM MATERİYAL SEÇİMİ

Bir güneş pilinin performansının, üzerine düşen güneş ışınınının şiddeti ve spektral dağılımı ile sıkı bir ilişkisi bulunmaktadır. Güneşten yayılan enerjinin, atmosfer dışına ulaşan % 98 lik bir kısmı  $0,25\text{-}3\mu\text{m}$  arasında değişen dalga boyu değerine sahiptir. Dünya atmosferinin üstüne düşen güneş ışınımlarının şiddetine güneş sabiti adı verilir ve uzay boşluğu içinde güneşten dünyaya olan ortalama uzaklığa dik olacak şekilde, birim yüzeye düşen enerji miktarı olarak tanımlanır. Bu sabitin en çok kabul edilen değeri  $1,353\text{kW/m}^2$  dir [56].

Güneş pili performansı çok kez, ışınmanın standart koşullarının sağlandığı şartlar altında ölçülür, özellikle AM0 (hava kütlesi sıfır), AM1 ve AM2 ( $\text{AM}_n$ ,  $n=1/\cos\theta$ ) durumları dış uzay koşullarındaki güneş ışısını ifade etmektedir. AM1, standart atmosfer koşulları altında güneş zenite olduğu zamanki deniz seviyesindeki

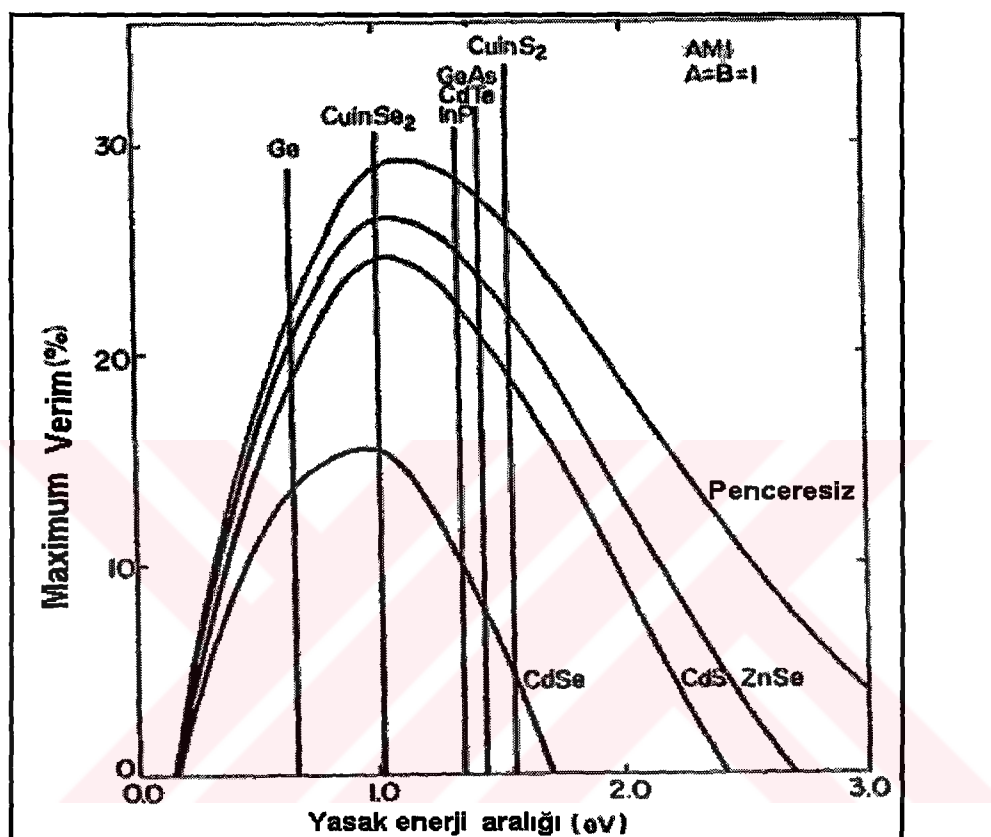
ışıma miktarıdır. AM2 ise, zenit ile güneş arasındaki açının  $60^\circ$  olduğu durumda dünya yüzeyindeki ortalama ışıma miktarıdır. Şekil 2.4.5 de güneş spekturumunun foton enerjisine göre dağılımı AM0, AM1 ve AM2 koşullarında gösterilmektedir.



Şekil 2.4.5 Güneş spekturumunun foton enerjisine göre dağılımı [59].

Güneş spekturumu dikkate alınarak, fotovoltaik materyaller için gerekli olan teorik optimum bant aralığı yarı-iletken materyaller için  $1.5\text{-}1.6\text{eV}$  olarak hesaplanmıştır [57]. Şekil 2.4.6 da, farklı pencere materyalleri için teorik olarak ulaşılabilcek maksimum güneş pili verimliliğinin soğurucu materyalin yasak enerji aralığı ile olan değişimi gösterilmektedir. Deneysel olarak tek kristal Si, InP, GaAs, CdSe, CuInSe<sub>2</sub> ve CdTe materyalleri yanında güneş pili üretiminde güçlü bir aday olmasına karşın, tek kristal Si güneş pili teknolojisi son yıllarda araştırma geliştirme çalışmalarına karşın üretim maliyetinin yüksek olma problemi ile karşı

karşıyadır [58]. Bu bakımdan fotovoltaik uygulamalarda ekonomik açıdan ince film materyaller oldukça önem kazanmaktadır. Son on yıl içerisinde olan araştırmalarda bir çok materyal arasında ince film Cu(In,Ga)Se<sub>2</sub> tabanlı güneş pilleri oldukça popüler bir pil yapısı olmaktadır.



Şekil 2.4.6 Heteroeklem güneş pillerinde yasak enerji aralığının teorik pil verimiyle olan değişimi [56].

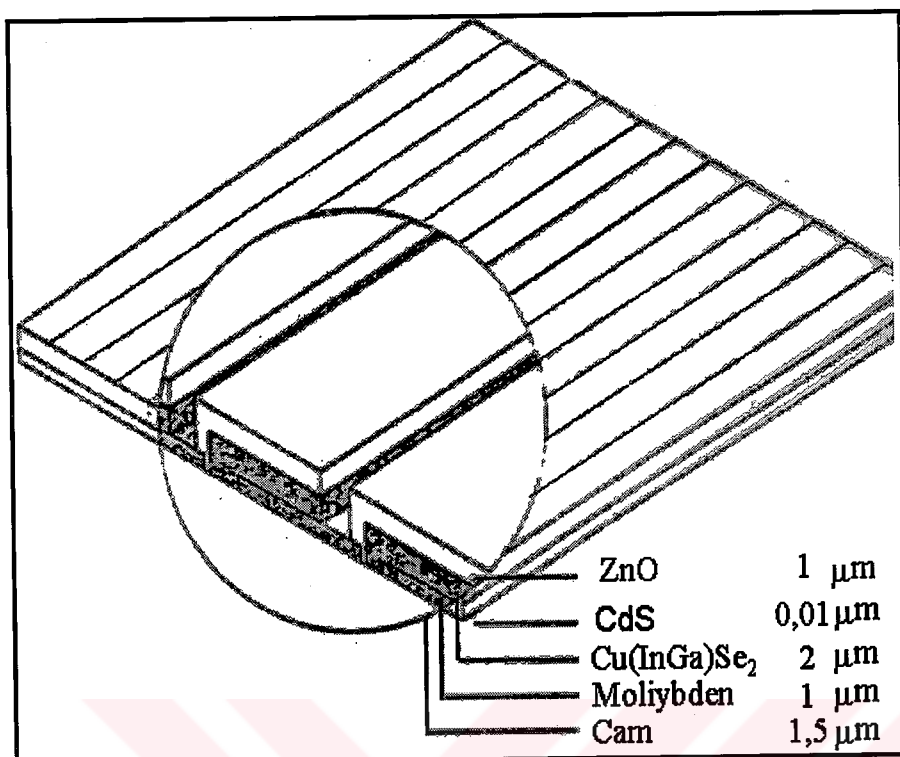
## BÖLÜM 3

### GÜNEŞ PILİNİN HAZIRLANMASI VE DENEYSEL ÖLÇÜM SİSTEMİ

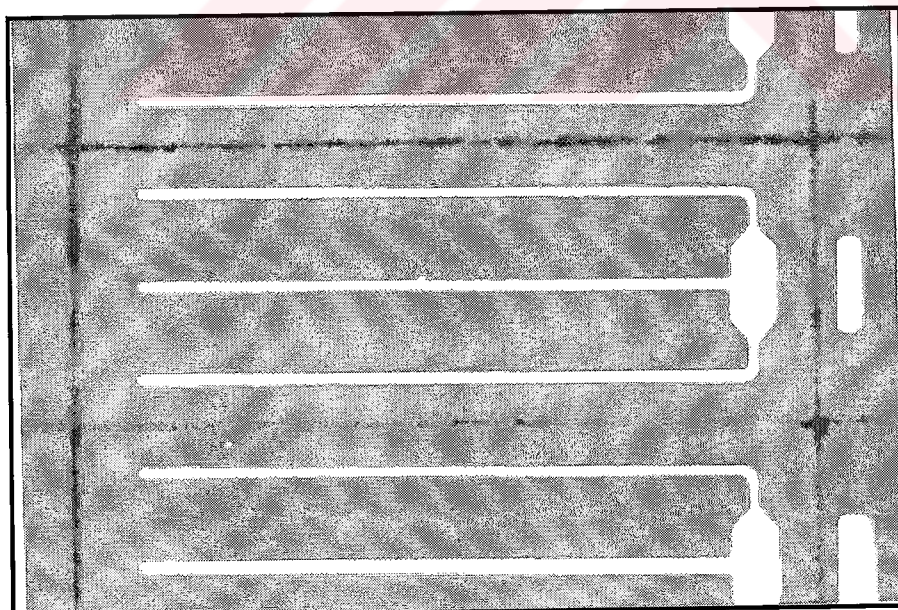
#### 3.1 CdS/Cu(In,Ga)Se<sub>2</sub> HETEROEKLEM GÜNEŞ PILİNİN ÜRETİM AŞAMALARI

Bu bölümde Stuttgart Üniversitesi Fiziksel Araştırma Enstitüsü (IPU) Laboratuarında Prof. Dr. Şener Oktik ve ilgili laboratuar gurubu tarafından hazırlanan MG414-72 kod numaralı Cu(In,Ga)Se<sub>2</sub> tabanlı heteroeklem güneş pilinin üretim aşamaları kısaca sunulmuştur. Kesit şeması Şekil 2.3.1 de ve fotoğrafı Şekil 2.3.2 de verilen heteroeklem yapı, soda-lime cam tutucu üzerine hazırlanan sırasıyla Mo/ZnO/CdS/Cu(In,Ga)Se<sub>2</sub> tabakalarından oluşmaktadır. Arka kontak materyali olan Molibden (Mo), cam tutucu üzerine yaklaşık 1  $\mu\text{m}$  kalınlığında olacak şekilde elektron ışınımı tekniği kullanılarak hazırlanmıştır. Bu tabakanın tipik özdirenç değeri 0,15 - 0,25  $\mu\text{m}$  arasında değişmektedir. Çökeltme işleminde, bir sonraki materyal p-tipi materyal olan Cu(In,Ga)Se<sub>2</sub> emici tabaka olup kalınlığı 2 $\mu\text{m}$  civarındadır. Bu tabaka materyal oranları %22,26 Cu, %19,46 In, %7,27 Ga, %51,02 Se olacak şekilde 550°C sıcaklık civarında tutulan tutucu üzerine yüksek vakum altında bireysel kaynaklardan toplu-buharlaştırma (coevaporation) tekniği kullanılarak hazırlanmıştır. Kimyasal banyo çökeltme tekniği kullanılarak hazırlanan tampon CdS tabakası 0,01 $\mu\text{m}$  kalınlığında olup bunu takip eden pencere ZnO tabakasının tipik kalınlığı 1 $\mu\text{m}$  civarında değişmektedir. Pencere materyali radyo frekansında salınım yapan magnetik alan içerisinde püskürme tekniği ile oluşturulmuş olup, iletkenlik değeri  $1,5 - 2 \Omega^{-1}\text{cm}^{-1}$  değeri civarında olacak şekilde Al ile katkılanmıştır.

Heteroeklem güneş pilinin verimlilik değerini artırmak için aygit 200°C sıcaklığında 1-2 dakika hava ortamı içerisinde tavlanmıştır. Alüminyum ızgaraların buharlaştırılması ile pil üretimi aşaması sona ermiştir. Üretim aşamaları ile ilgili olarak ayrıntılı bilgi ilgili referanslardan edinilebilir [14,22,60].



Şekil 3.1.1 Cu(In,Ga)Se<sub>2</sub> tabanlı güneş pil yapısının kesit şeması.

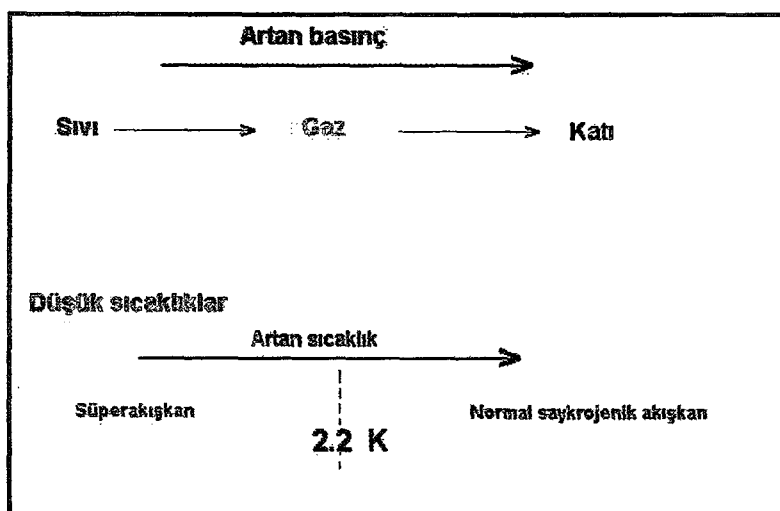


Şekil 3.1.2 MG414-72 kod numaralı Cu(In,Ga)Se<sub>2</sub> tabanlı heteroeklem güneş pilinin fotoğrafı.

### 3.2 DÜŞÜK SICAKLIK SİSTEMİ

**Helyum Pompaşı :** Sıcaklıklarını  $T_1$  ve  $T_2$  olan iki farklı sistem birbiriyle temas ettirildiğinde iki sistem arasında ısı alışverişi başlar. Eğer  $T_2 > T_1$  ise  $T_1$  sıcaklığına sahip olan sistem  $T_2$  den,  $T_1 > T_2$  ise  $T_2$  sıcaklığına sahip olan sistem  $T_1$  sıcaklığındaki sistemden den ısı soğurur. Dünya üzerinde ölçülebilmiş en düşük değer olarak kaydedilen  $-66^{\circ}\text{C}$  derece sıcaklığının altındaki sıcaklıklar saykrojenik (Cryogenics) sıcaklıklar olarak nitelenmekte olup, madde ve özellikleri üzerine yapılan çoğu bilimsel çalışmalar bu sıcaklığın altına inmeyi gerektirmektedir. Saykrojenik sıcaklık değerlerine inebilmek için, kaynama noktası çok düşük olan bir gaz örneğin 4,2 K lik kaynama noktasına sahip sıvı helyum kullanılabilir.

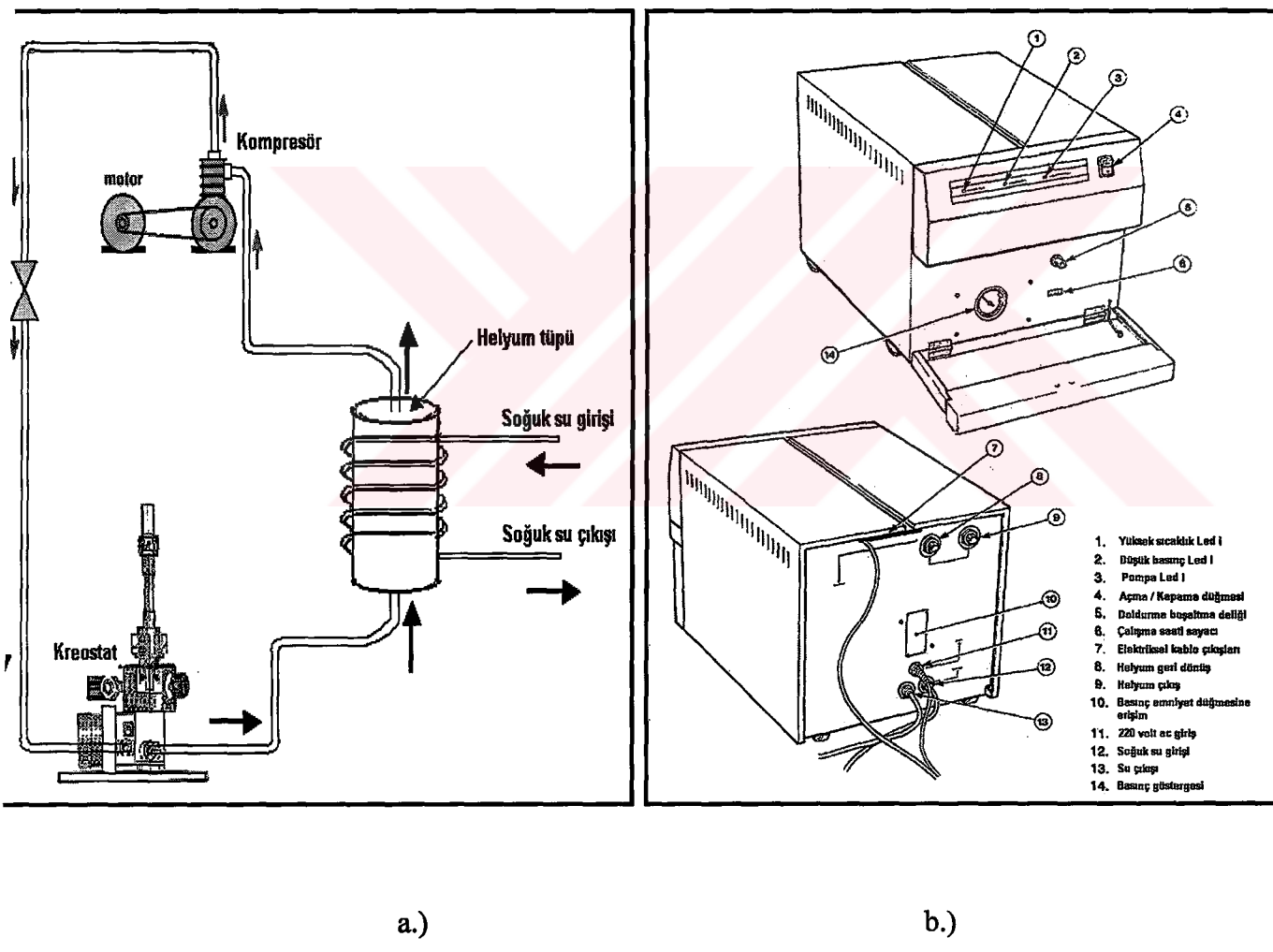
Helyum oda sıcaklığında gaz halinde bulunan bir maddedir ve en önemli özelliği üzerine basınç uygulandığında hemen sıvı hale geçebilmesidir. Temelde, herhangi bir gazın sıvılaştırılması için; a) gazın sıcaklığı düşürülmeli, ve b) gaz, bu düşük sıcaklıkta yeterli derecede sıkıştırılmalıdır. Şekil 3.2.1 de helyumun artan basınç ve sıcaklıkla olan faz geçişleri gösterilmektedir ve Tablo 3.2.1 de bazı gazlar için kritik sıcaklık ve basınç değerleri sıralanmıştır.



Şekil 3.2.1 Helyumun faz geçişleri.

Gazlar	Kritik ( $^{\circ}\text{C}$ )	Kritik Basınç (Atm)
Helyum	-268	2
$\text{H}_2$	-241	19.5
$\text{O}_2$	-119	51
$\text{CO}_2$	+31.4	73
Su buharı	+374	225.2

Tablo 3.2.1 Bazı gazların sıvılaşma koşulları.

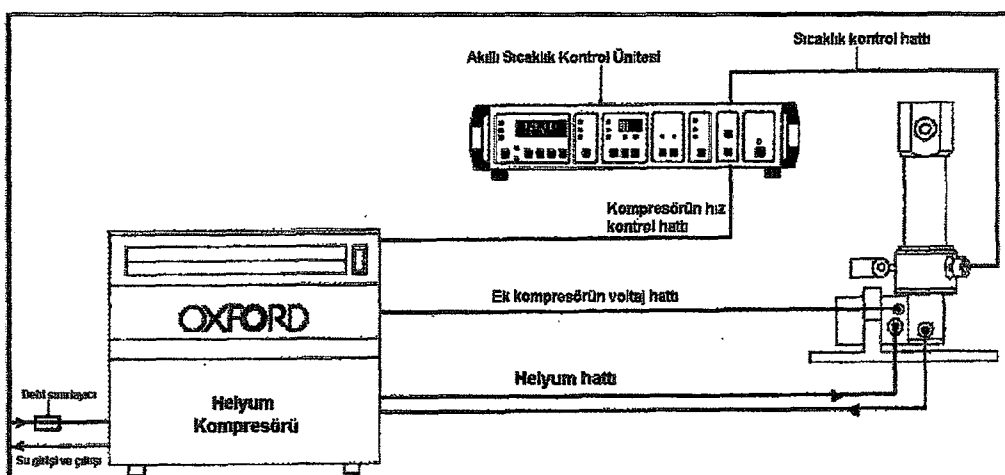


Şekil 3.2.2 a.) Helyum pompasının açık blok diyagramı, b.) Helyum pompasının dış görünüşü.

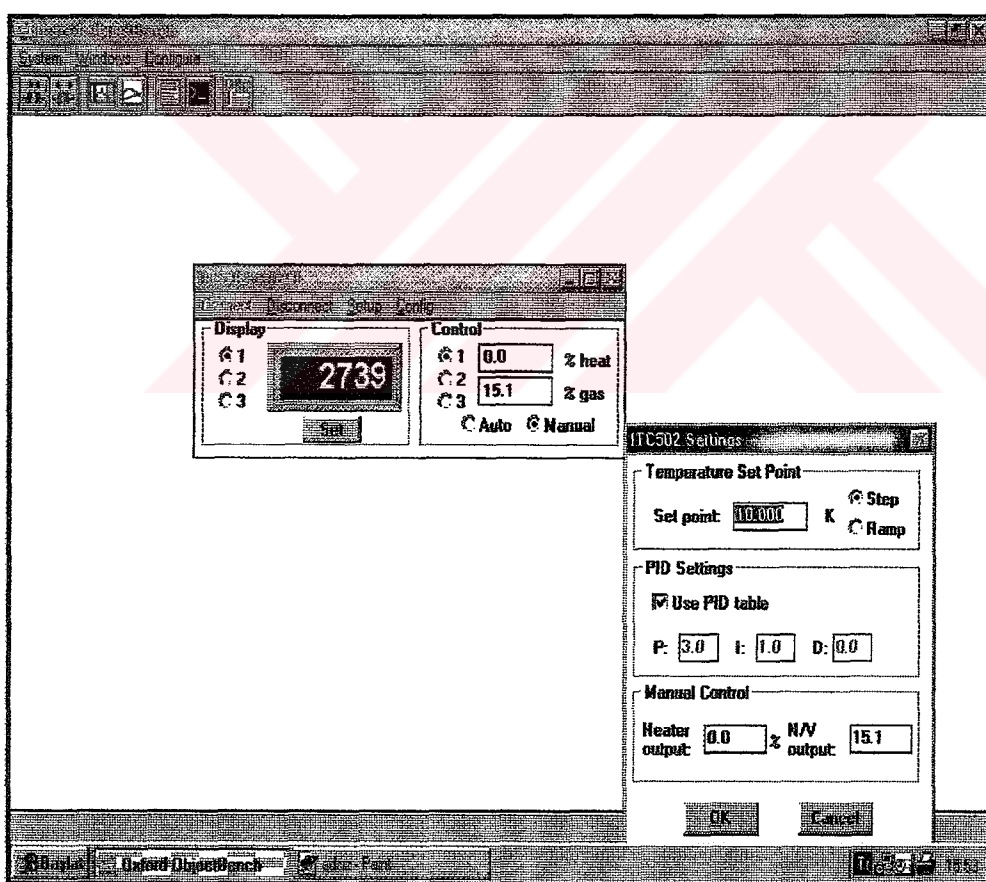
Helyumun buharlaşması için, çevreden ısı alması gerekir. Bu ısı, kreostatin imal edildiği materyalden ve oda sıcaklığında bulunan kreostatin ısı kaçakları yolu ile sağlanabilir. Şekil 3.2.2.a da helyum pompasının açık blok diyagramı, Şekil 3.2.2.b de ise dıştan görünümü görülmektedir. Şekilde gösterilen boruların içinde dolaşan He, kompresör tarafından sisteme sürülerek sıkıştırılır. Bu sırada ısınmış olan Helyum buharları, helyum tüpü etrafına sarılmış boruların içinden geçirilen soğuk su yardımı ile soğutularak sıvılaştırılır. Dönüş borularında bulunan He gazının basıncı azalır ve genleşme kapakçığından geçen sıvı helyum, bu düşük basınç altında hızla buharlaşır ve soğur. Soğuyan Helyum buharları, kreostat içerisinde yerleştirilen numunenin hızla soğumasına neden olur [61].

**ITC-502 (Akıllı sıcaklık kontrol ünitesi) :** Kullanılan bu kontrol ünitesi aynı anda kreostat pompası ile helyum pompasını kontrol edebilmektedir. RS-232 arayüzey haberleşme hattı üzerinden bilgisayarla doğrudan iletişim kurabilen bu cihaz, kreostat içindeki termo çiftten (termo pil) gelen elektriksel gerilimi sıcaklık değerine çevirip, kreostat içindeki sıcaklığa göre sistemdeki helyum akışını ve numune sıcaklığını kontrol edebilmektedir. Ayrıca, helyum pompasının ve kreostat içindeki ek kompresör motorunun uçlarındaki voltaj değerini değiştirmek suretiyle, kompresör motorlarının devrini kontrol edip gaz akışını sistem için doğru bir değerde sabit tutmaya çalışır. Tüm bunların yanında kreostat içinde bulunan ısıtıcı rezistans teline uygulanan gerilimin kontrolü ile içerisindeki sıcaklık yükselmesinin de kontrolü mümkündür.

Bu cihaz yardımı ile 10–330 K aralığındaki sıcaklıklarda ölçüm yapılmaktadır. OXFORD firması tarafından dizayn edilip üretilen bu cihazın bilgisayar ile iletişimini sağlayan bir paket yazılım programı (ObjectBench) mevcuttur. Şekil 3.2.3 te akıllı sıcaklık kontrol ünitesinin, sistemi nasıl sürdüğü görülmektedir. Bu program sayesinde, kontrol ünitesinin ön panelindeki kontrol düğmelerini ve lambalarını bilgisayarın pencere (windows) ortamına taşıyarak, bu sistemi kontrol etmek oldukça kolay olmaktadır. Şekil 3.2.4 te akıllı sıcaklık kontrol ünitesi için kullanılan paket programı görülmektedir.

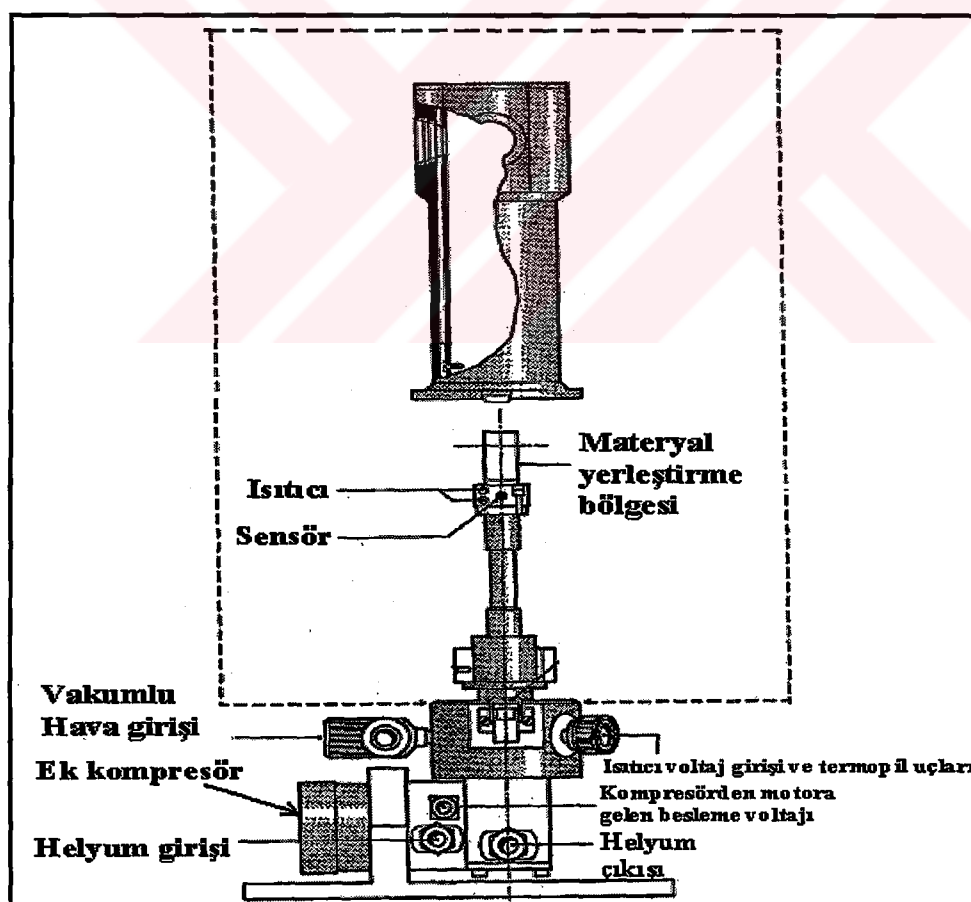


Şekil 3.2.3 Düşük sıcaklık sistemi.

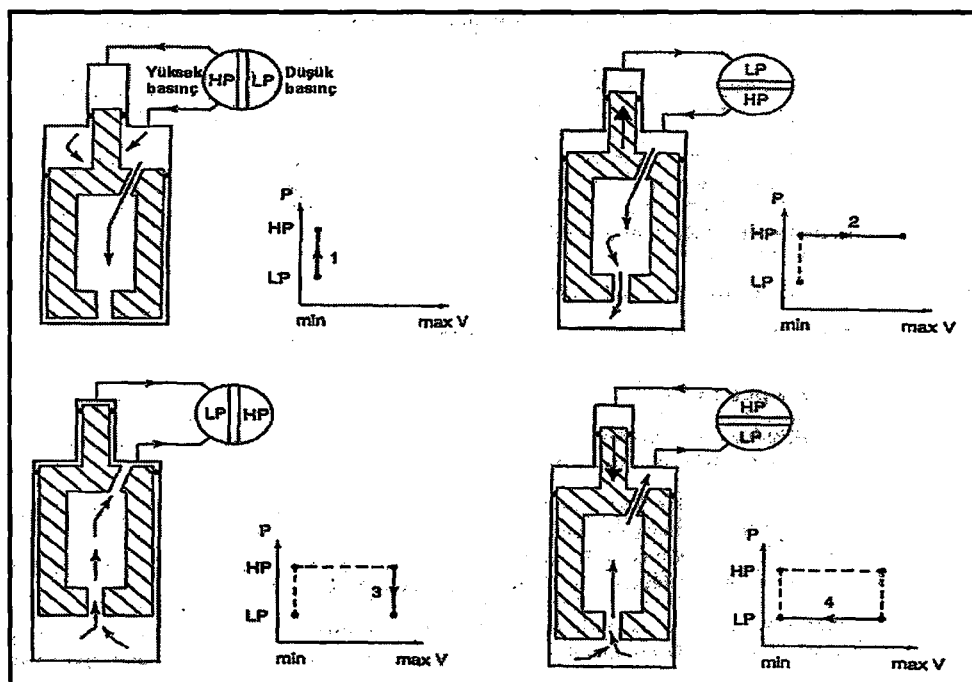


Şekil 3.2.4 OXFORD Object bench paket programı [62].

**Kreostat :** İndiyum ve alüminyum alaşımından dizayn edilen ana gövde üç ana bölümünden oluşmaktadır. Bunlar, vakum bölgesi, ek kompresör ve helyum giriş çıkış hatlarıdır. Şekil 3.2.5 de kreostatin açık şeması gösterilmektedir. Vakum bölgesinde, vakum pompasının devreye girmesiyle 30 dakikalık bir zaman süreci sonucunda, yaklaşık  $3 \cdot 10^{-3}$  bar lık bir basınç oluşmaktadır. Kreostatin dış kapağının kapanması ile birlikte sistem dış ortamla izole olmakta ve sisteme bağlanan vakum pompa yardımıyla kreostatin ana gövdesiyle kapak arasında kalan bölge hızla vakumlanmaya başlamaktadır. Helyumun girdiği ve çıktıığı hatlardaki basınç ve hacim değişimini ek kompresör kontrol etmektedir. Ek kompresör bir elektrik motoru ile çalışmakta olup, motora uygulanan voltaj ile motorun devri ayarlanabilmekte ve sonuçta kompresörün hızı kontrol edilebilmektedir. Basınçlı helyumun girdiği hat, yüksek basınç girişi olup, 22 barlık bir basınçca gelmektedir. Helyumun çıktıığı hat ise düşük basınç girişi olup 10bar lık bir değere karşı gelmektedir.



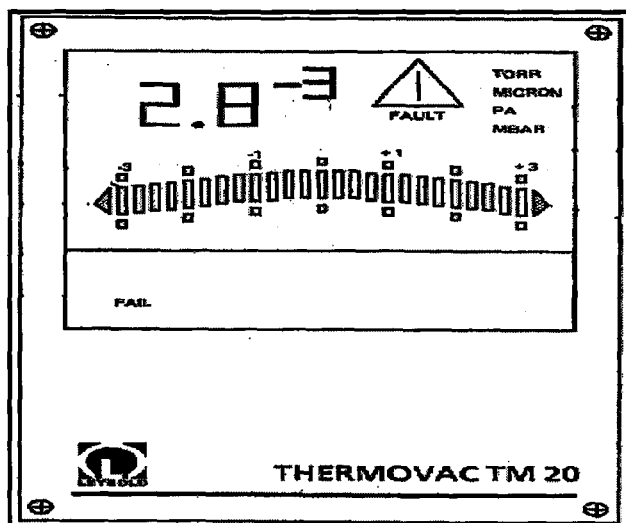
Şekil 3.2.5 Kreostatin yan kesit görünüşü.



Şekil 3.2.6 Ek kompresörün basınç-hacim (pv) değişimi

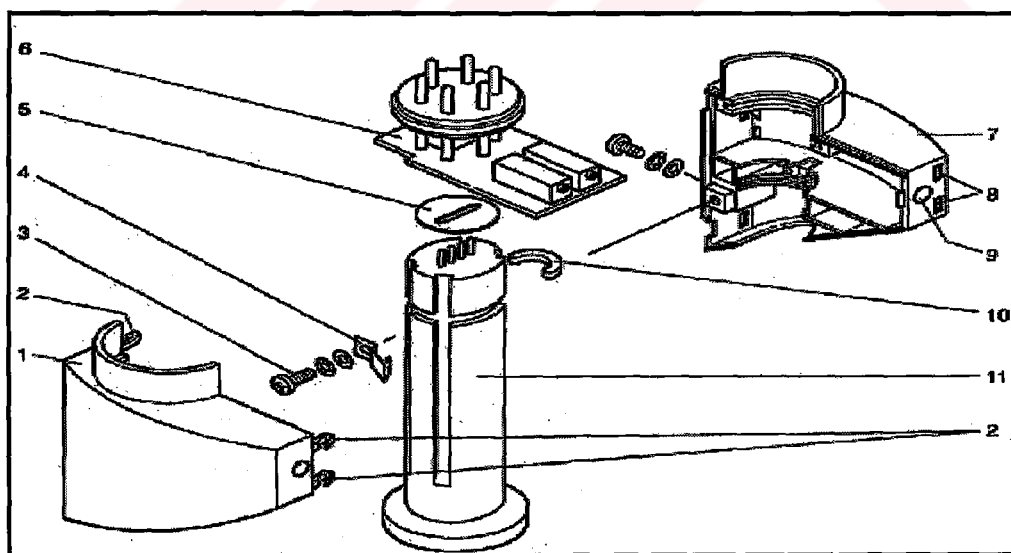
Şekil 3.2.6 de Basınç-Hacim diyagramı verilen ek kompresörün görevi, bir anlamda, giriş ve çıkıştaki 22 bar lık ve 10bar lık basınç değerlerini düzenlemektir [63].

**Basınç Göstergesi ve Sensörü :** Leybold firması tarafından üretilen bu cihaz, kreostatın içindeki vakum bülgesinin basıncını ölçmektedir. İki ana parçadan oluşan bu cihazın birinci parçası basınç sensörü, ikinci parçası ise elektronik göstergedir. Şekil 3.2.7 de gösterilen elektronik basınç göstergesi likit kristal olup  $10^{-3}$ mbar dan 1000mbar a kadar bir ölçüm sınırına sahiptir ve basınç ölçümlerini aynı anda torr, pascal ve mbar cinsinden görüntüleyebilmektedir. PV sensöründen gelen elektriksel sinyalleri, basınç değerine kalibre edilmiş elektronik işlem yapıcı entegreler yardımıyla likit kristal göstergeye iletmektedir. Sensör bağlantısı veya sağlamlık test etme özelliğine sahip olan bu elektronik cihaz, deney sırasında çıkabilecek problemleri anında göstergeye yansıtmaktadır [64].



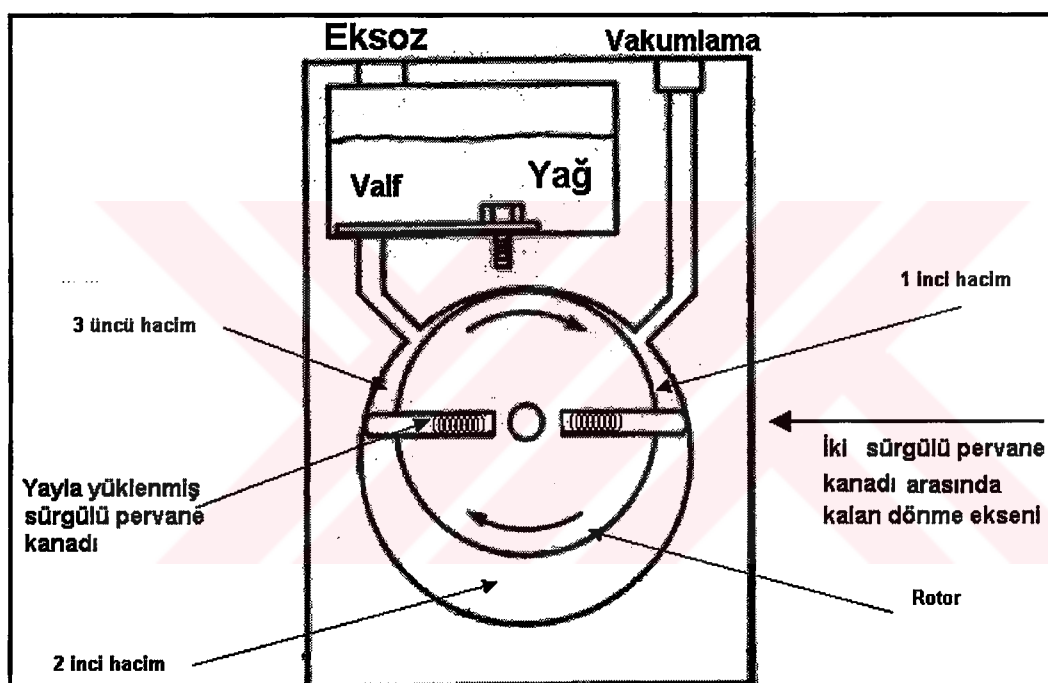
Şekil 3.2.7 Elektronik basınç göstergesi.

**Basınç Sensörü :** Leybold firması tarafından üretilen TR 211 modeli basınç sensörünün Şekil 3.2.8 açık şeması verilmektedir. İçinde hava bulunan bir tüpün içerisinde yerleştirilmiş tungsten filamanından oluşan basınç sensörünün ölçüm aralığı  $0.5 \times 10^{-3}$  mbar dan 1000mbar a kadar değişmekte olup bu sensörün maksimum filaman sıcaklığı 110°C dir. Çalışma sıcaklığı 0 ile 40°C arasındadır [65].



Şekil 3.2.8 Basınç sensörü.

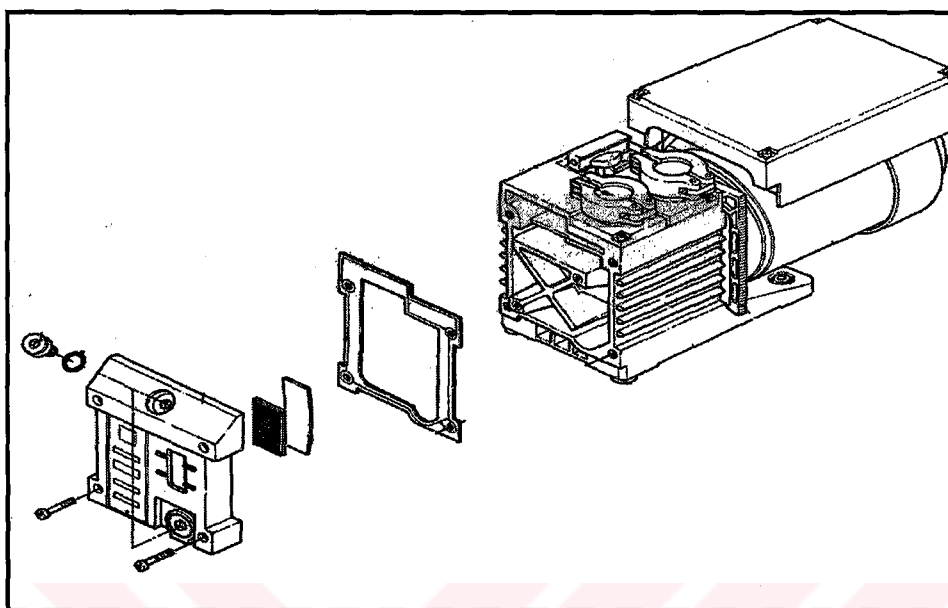
**Vakum Pompası :** Bu tür vakum pompaları Şekil 3.2.9 da gösterilen yağ kaplı bir ortam içinde dönen bir diskten oluşur. Disk şeklinde dönen rotorun karşılıklı iki kenarına yerleştirilmiş pervane kanatları biçimindeki silindir şeklindeki çubuklar sayesinde, dönen disk kenarları bir piston gibi esneme özelliği kazanmıştır. Diskin 90 derece döndüğü durumda, silindir şeklindeki çubuk, vakum yatağındaki yarıçapsal genişlemeden dolayı yay kuvveti altında uzar. Bu uzama birinci hacim bölgesinin genişlemesine neden olur ve diğer hacim bölgelerindeki yağı sıkıştırır. Pervane kanadı ikinci hacim bölgесine ulaştığında, üstte kalan diğer pervane kanadı, sıkışan ve az miktarda yanın gazın bir kısmının egzozdan dışarı atılmasını sağlar.



Şekil 3.2.9 Vakum pompasının kesit görünüşü.

Rotorun dönme süresince, yağ, bütün vakum yatağına yayılmış bir durumdadır. Üçüncü hacim bölgесine varan pervane kanadının görevi diğer pervane kanadıyla değişim tokus olur. Vakum pompalarının dizaynında kullanılan dönen disk üzerindeki bu hareketli pervaneler yerini bazen, yağ dolu vakum yatağı içinde dönen yarı disk şeklindeki disklere de bırakabilir. Şekil 3.2.10 de Leybold firması tarafından üretilen, deneysel ölçümleerde kreostatı vakuma almak amacıyla kullanılan

maksimum vakumlama basıncı  $4.10^{-6}$  mbar olan mekaniksel vakum pompasını görmektedir.

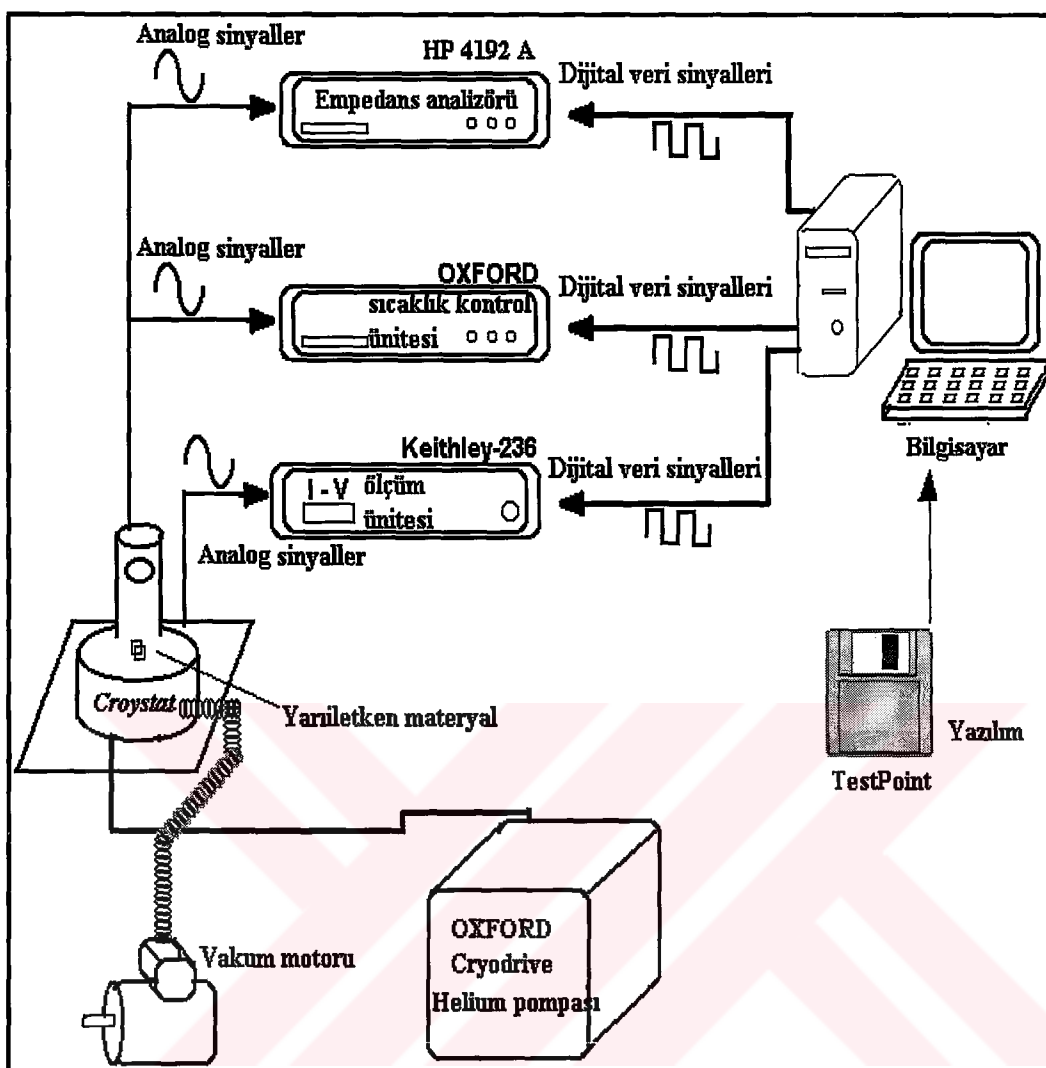


Şekil 3.2.10 Leybold vakum pompasının kesit görünüşü.

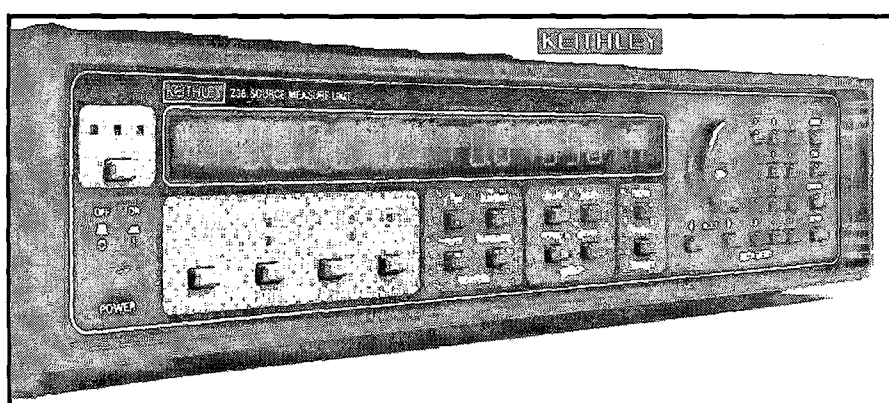
### 3.3 Elektriksel Ölçüm Sistemi

Bu bölümde, akım-voltaj analizinde ve empedans analizlerinde kullanılan deney düzenekleri ve cihazların teknik özellikleri üzerinde durulacaktır. DeneySEL ölçümlerde kullanılan cihazların ölçüm aralıkları ve cihazların fiziksel ayarları aşağıdaki bölümlerde açıklanmıştır. Şekil 3.3.1 de bu tez çalışmasında kullanılan ölçüm sisteminin deneySEL düzeneği verilmektedir

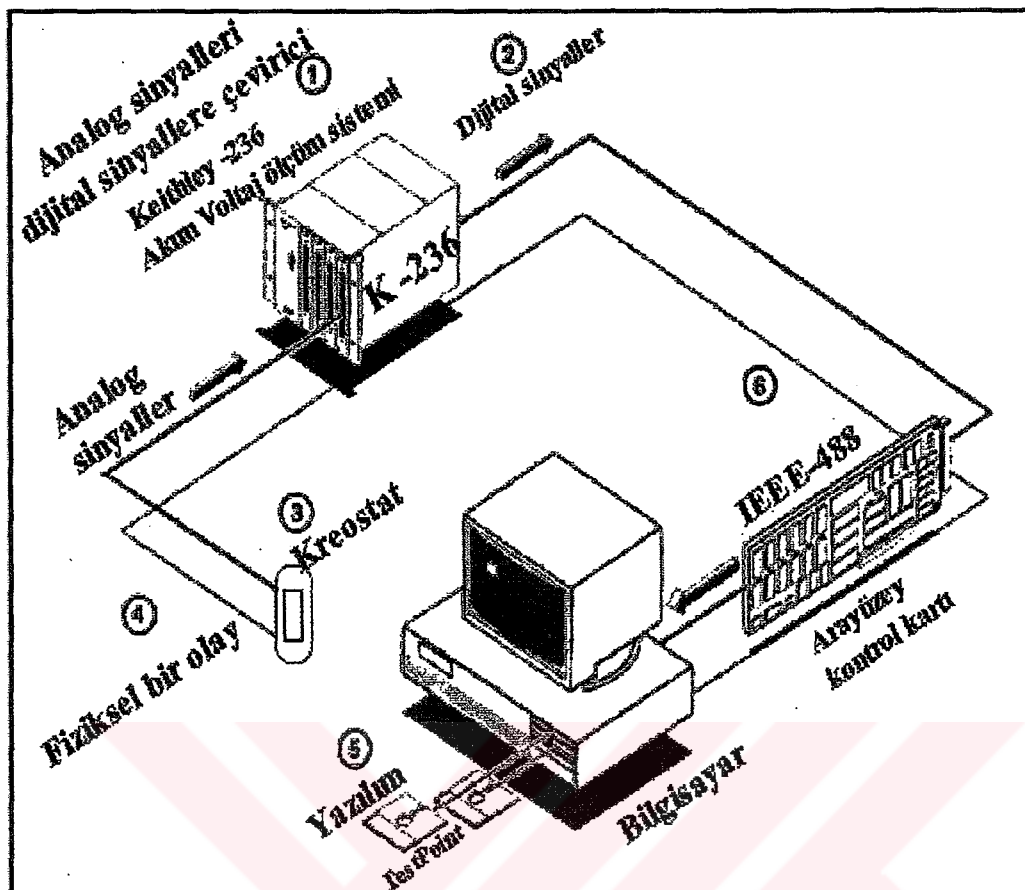
**Keithley-236 Akım-Voltaj Ölçüm Sistemi:** Şekil 3.3.2 de gösterilen Keithley 236 akım-voltaj ölçüm sistemi, hem akım kaynaklı voltaj, hem de voltaj kaynaklı akım ölçebilme özelliğine sahiptir. Maksimum voltaj çıkışı 110 Volt, maksimum akım çıkışı 100 mA olan akım voltaj ölçüm sistemi, GPIB IEEE-488 (Institute of Electrical and Electronic Engineers) interface veri yolu çıkışına sahiptir. Keithley-236 nın bilgisayar ile iletişiminin şematik diyagramı Şekil 3.3.3’te ve kullanılan ara yüzey (interface) kontrol kartın şematik resmi Şekil 3.3.4.’te gösterilmektedir.



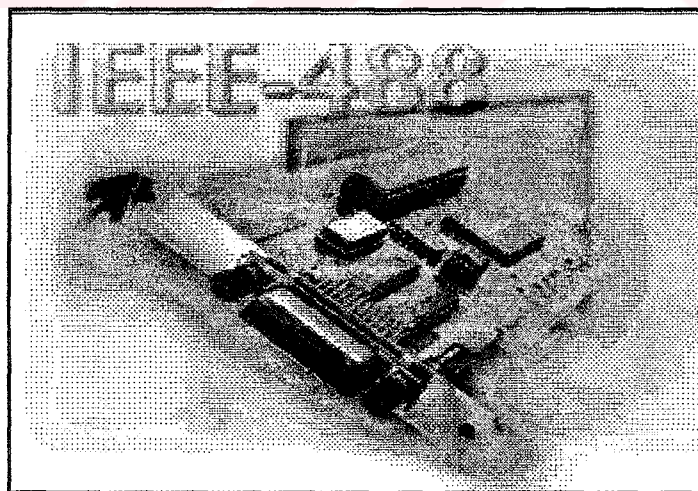
Şekil 3.3.1 Deneysel ölçüm sistemi.



Şekil 3.3.2 Keithley-236 akım-voltaj ölçüm cihazı.



Şekil 3.3.3 Keithley-236 nın bilgisayar iletişimini şematik gösterimi.



Şekil 3.3.4 Ara yüzey kontrol kartı.

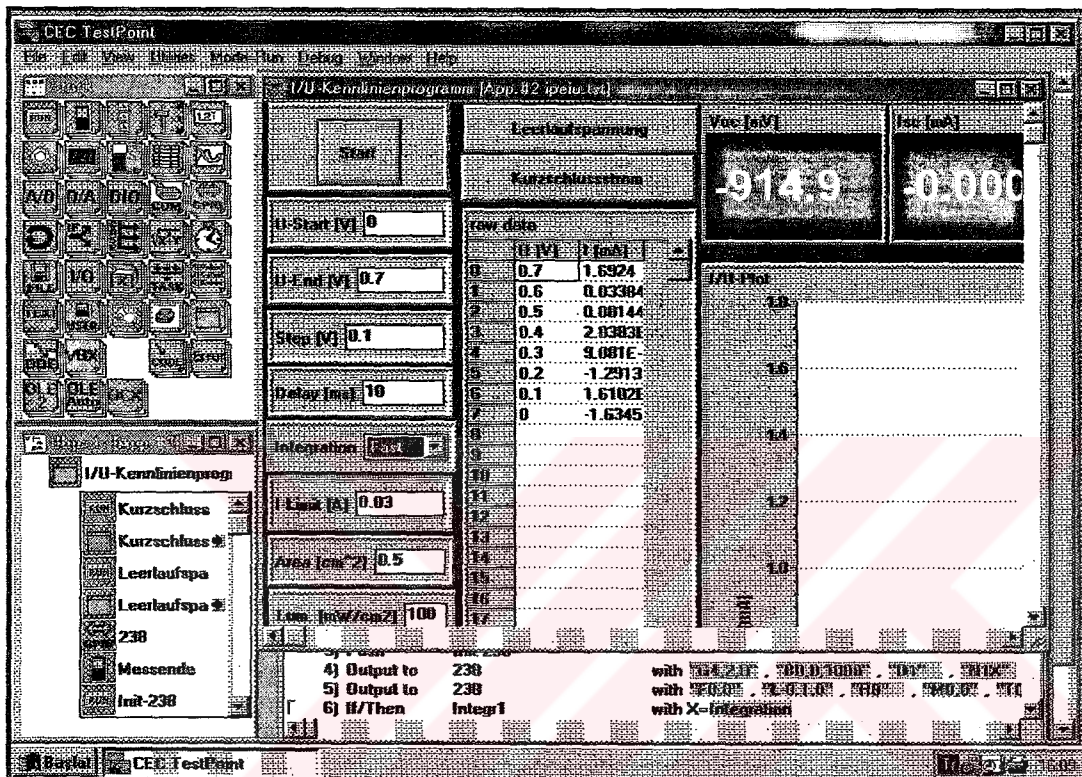
IEEE-488 veri yolu yardımıyla bilgisayarla direkt iletişim kurabilme özelliğine sahip olan bu sistem, ölçtüüğü akım ve voltaj değerlerini saniyede 488 kilobaytlık bir transfer hızıyla bilgisayara aktarabilmektedir. RS-232 ara yüzey veri yolundaki veri transfer hızının maksimum 20 kilobayt olması nedeniyle bu veri yolu tercih edilmiştir. IEEE-488 ara yüzey kontrol kartı ile iletişim kuran bu cihaz, bilgisayar üzerindeki ana kartta 8 bitlik ISA veri yolunu kullanmaktadır.

Test çıkış uçlarına gelen potansiyel fark değerlerini logaritmik, üstel, basamak veya lineer aralıklarla gönderebilen akım-voltaj ölçüm sistemi, TestPoint yazılımıyla kontrol edilebilmektedir. TestPoint yazılımı, bilgisayarın iletişim hatları olan RS232, LPT1 veya GPIB veri yollarını kullanarak bilgisayara bağlı olan herhangi bir cihazın kontrolünü sağlayan, pencere ortamında çalışan bir paket programdır. Program kısaca aşağıda yazılı olan işlemleri yerine getirmektedir;

**Remote 236 : K236 yi bilgisayar ile kontrol;**

- Source I, measure V : Kaynağı ve ölçülecek büyülügü seçme.
- Sweep mod : Tarama.
- Trigger konfigürasyonu : Tetikleme modunu seçme.
- Compilance range : Ölçüm aralığı belirleme.
- Data formatı: Bilgisayara gönderilecek verilerin veri formatının ayarlanması (ASCI).
  - SRQ mask : SRQ maskesinin ayarlanması.
  - Suppress : Çalışmaya hazır.
  - V start : Taranacak voltaj aralığının başlangıç değeri.
  - V stop : Taranacak voltaj aralığının bitiş değeri.
  - V step : Hangi aralıkta.
  - Data delay : Data toplama hızı.
  - Trigger run : Tetikleme.
  - Data aquction : Veri toplama.

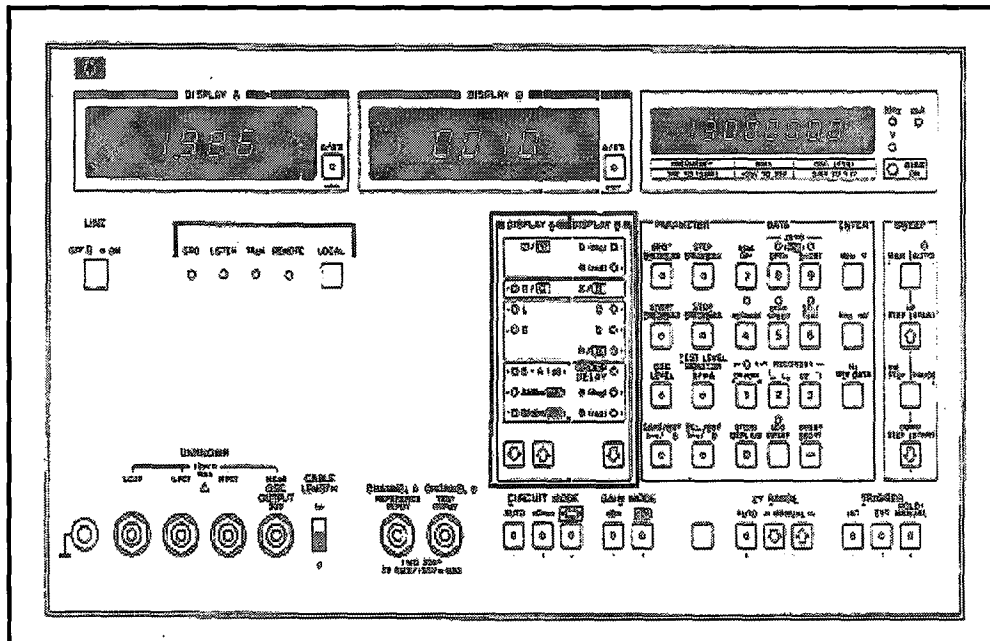
Ölçüm sonucunda elde edilen veriler ASCII veri formatında bilgisayara aktarılır. Elde edilen verilerin TestPoint yazılımı ile grafiğinin çizilerek istatistiksel hesaplamalarının yapılması mümkün olabilmektedir. Şekil 3.3.5 de TestPoint yazılımı ile Keithley 236 için programlanmış yazılımı görülmektedir.



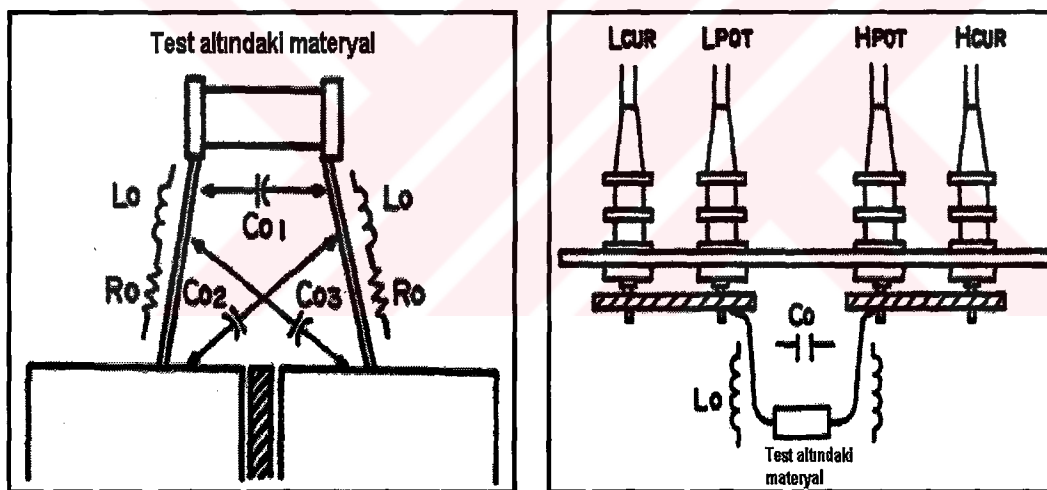
Şekil 3.3.5 TestPoint yazılımıyla Keithley-236 nin kontrol edilmesi.

### 3.4 Admittans ve Empedans Ölçüm Sistemi :

Şekil 3.4.1 admittans ve empedans ölçümlerde kullanılan HP4192A ölçüm sistemi gösterilmektedir. Sistemin frekans ölçüm sınırları 5Hz-13MHz ve osilatör genlik sınırları 5mV – 1Volt aralığında değişmektedir. Doğru akım çıkış, özelliği olan HP4192A sistemine -35Volt ve +35Volt aralığında gerilim üretebilmektedir. Bu cihaz aynı anda empedans, admittans, kapasitans, induktans ve konduktans ölçebilmektedir. Test kutusuna yerleştirilen aygit üzerine, kontaklarının bulunduğu ortamın di-elektriksel özelliklerinden dolayı kapasitif ve induktif etkiler söz konusu olabilir.



Şekil 3.4.1 HP4192A .Empedans Analizörü.



Şekil 3.4.2 a) İstenmeyen induktif ve kapasitif etkiler, b) HP16047A Test kutusu.

Bu tip etkilerin minimuma indirilmesi amacıyla yapılan ölçümelerde HP 16047A tipinde test kutusu ve koaksiyel kablosu kullanılmıştır. Sıcaklık bağımlı kapasitans-frekans ölçümlerinde besleme voltajı 0 Volt ta ve osilatör sinyalinin genliği ise 20mV ta sabit tutulmuştur. Kapasitans-voltaj ölçümünde osilatör sinyal genliği aynı değerde sabit tutularak doğru akım besleme voltajı  $-0.4 / 0.7$  Volt aralığında farklı frekans değerleri için taranmıştır.

## BÖLÜM 4

### DENEYSEL SONUÇLAR VE SONUÇLARIN TARTIŞILMASI

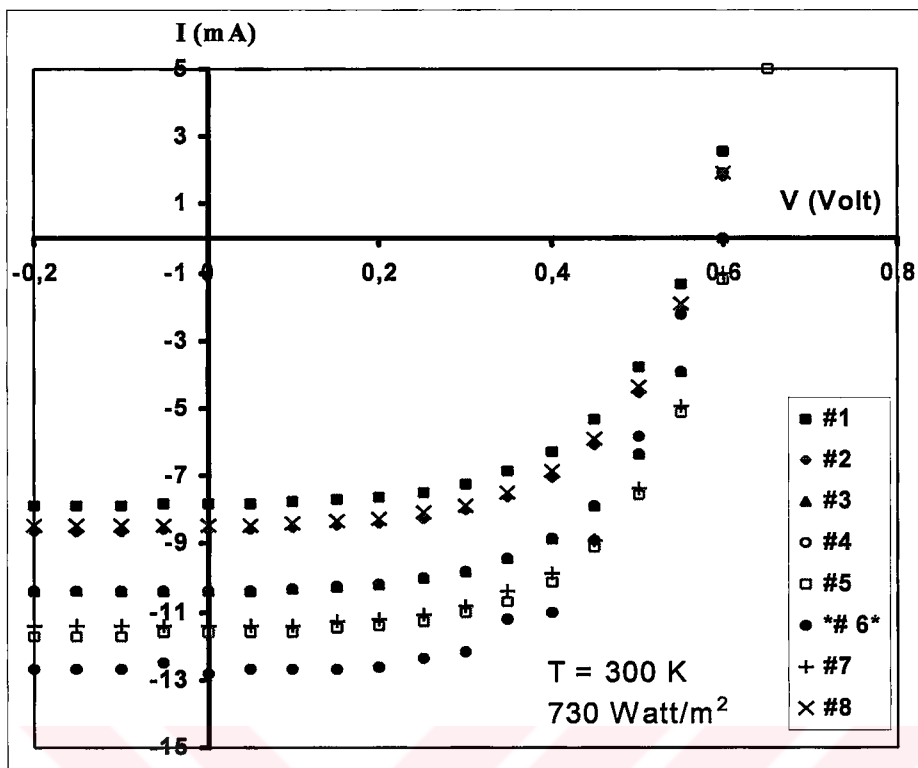
#### 4.1 ODA SICAKLIĞINDA KARANLIK VE AYDINLIK AKIM – VOLTAJ KARAKTERİSTİĞİ

##### 4.1.1 AYDINLIK AKIM-VOLTAJ KARAKTERİSTİĞİ

Materyal oranları %22,26 Cu, %19,46 In, %7,27 Ga, %51,02 Se olan ve MG-414-72 kod numaralı modül üzerinde yer alan n-CdS/p-Cu(In,Ga)Se<sub>2</sub> heteroeklem aygıtların fotovoltaik performansları 730Watt/m<sup>2</sup> ışınım altında ölçülmüştür. Güneş pillerin belirlenen açık devre gerilimi  $V_{oc}$ , kısa devre akımı  $I_{sc}$  ve doluluk faktörü FF değerleri Tablo 4.1.1 de sıralanmıştır. Pillerin belirlenen doluluk faktörü değerleri 0.56 – 0.58 civarında olmasına karşın açık devre gerilim değerleri 0.570 V – 0.628 V ve kısa devre akım değerleri 7.84 mA – 12.8 mA aralıklarında değiştiği gözlenmiştir. Hesaplanan güneş pili verimlilik değerleri ise % 6.8- % 11.91 arasında değişmektedir. En yüksek verim, Tablo 4.1.1 ve Şekil 4.1.1 de görüldüğü gibi en iyi  $V_{oc}$  ve  $I_{sc}$  değerlerine sahip olan 6 numaralı pilden elde edilmiştir. Bu nedenle ilerideki böltümlerde, heteroeklem güneş pilinin elektriksel karakterizasyonu ile ilgili araştırma sonuçlarının sadece bu pil üzerine olan kısımları sunulmuştur.

Pil No	1	2	3	4	5	6	7	8
$V_{oc}$ (mV)	570	580	600	590	610	628	610	578
$I_{sc}$ (mA)	7,84	8,61	10,4	10,4	11,6	12,8	11,4	8,45
FF (%)	55,94	56,47	56,73	57,7	57,94	54,11	57,52	56,3
Verim (%)	6,8	7,7	9,7	9,7	11,23	11,91	10,96	7,53

Tablo 4.1.1 CdS/Cu(In,Ga)Se<sub>2</sub> heteroeklem güneş pillerin 730 Watt/m<sup>2</sup> ışınımı altındaki fotovoltaik parametreleri (aktif pil alanı 0.5cm<sup>2</sup> ).

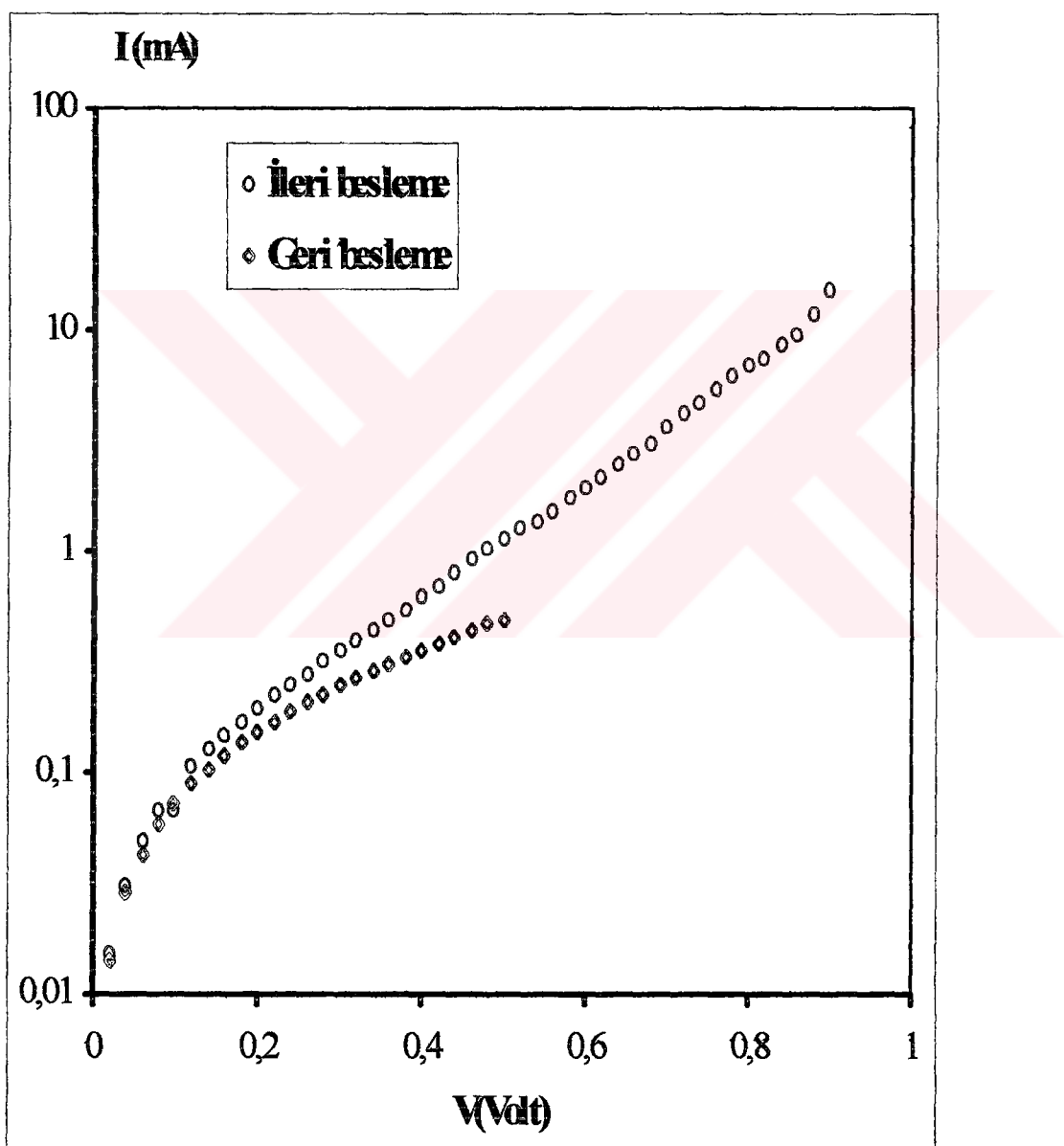


Şekil 4.1.1 Heteroeklem güneş pillerin aydınlatık akım-voltaj karakteristiği.

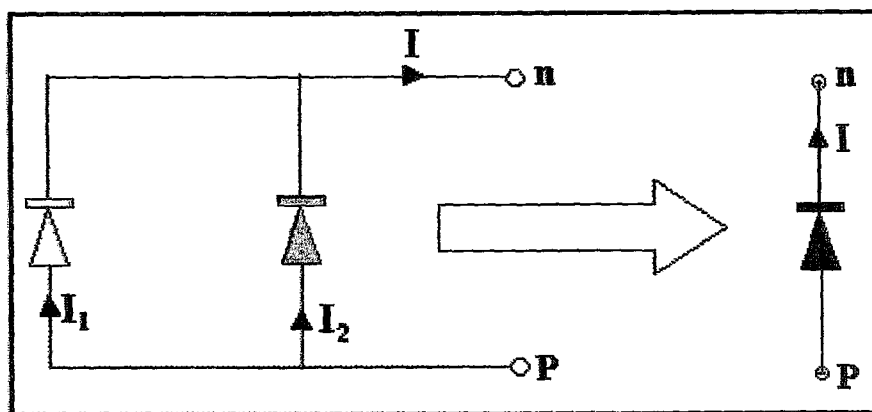
Literatürde, ince bir CdS tampon (buffer) tabakası içeren CIGS-tabanlı güneş pili yapıları için küçük alanlı aygıtlarda %12 - %17.7 civarında [23, 24, 60, 66-68] ve büyük alanlı modüllerde ise %11'i aşan [69,70] verimlilik değerleri rapor edilmektedir. Soğurucu Cu(In,Ga)Se<sub>2</sub>' nin eklem ara yüzeyine yakın olan bölgelerindeki materyal kompozisyonunun ve kusur yoğunluğunun güneş pili çevirim verimliliğini oldukça etkilediği, homojen bir kompozisyona ve az kusur yoğunluğuna sahip soğurucu tabaka içeren aygıtlarda daha yüksek verimlilik değerlerinin ölçüldüğü belirtilmektedir [60,71]. Ayrıca, yüksek verime sahip CIGS pillerin Ga/(In+Ga) materyal oranı yaklaşık 0.25 olup bu değer yaklaşık 1.15 eV lik yasak enerji aralık değerine ve yaklaşık 600-650 mV luk açık devre voltaj değerine karşılık gelmektedir [68]. Ancak, Ga miktarındaki artış sonucu açık devre geriliminin yasak enerji değeri ile orantılı olarak artmadığı ve verimliliğin düşüğü de rapor edilmektedir.

#### 4.1.2 KARANLIK AKIM VOLTAJ KARAKTERİSTİĞİ

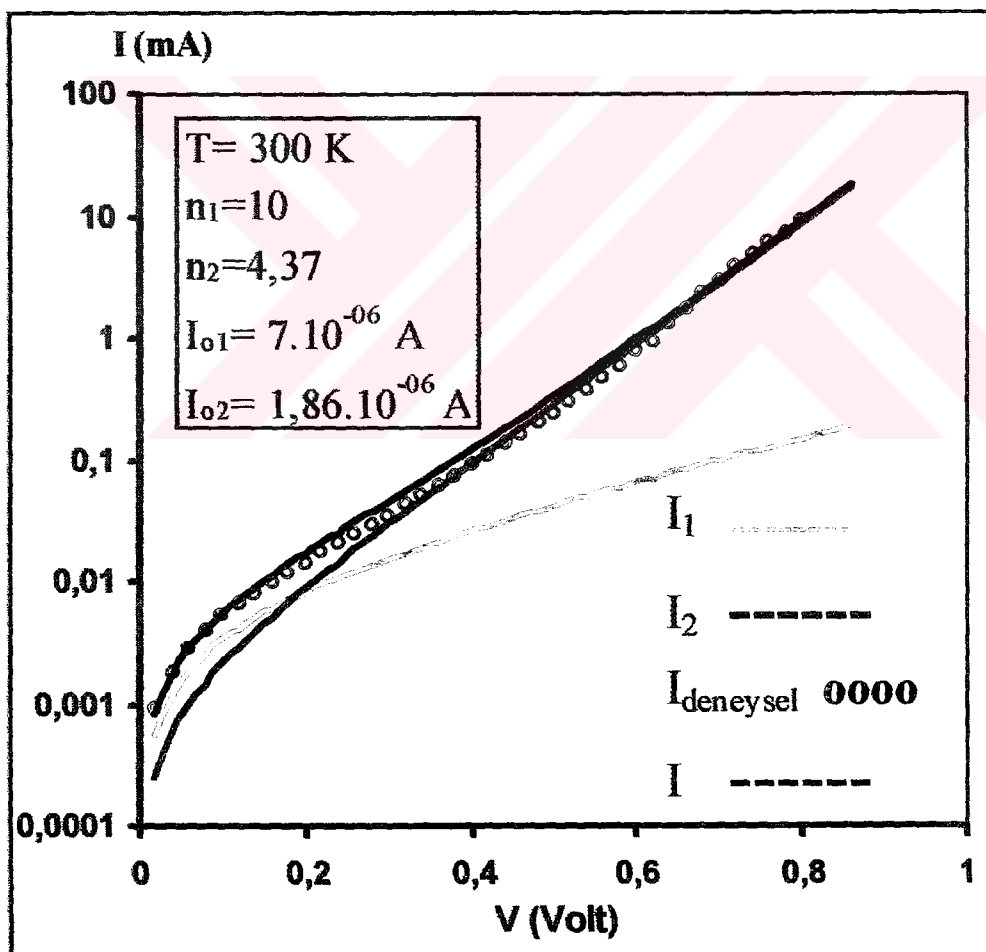
İleri ve ters besleme durumları için Şekil 4.1.2 de çizilen LogI – V değişim karakteristiğinde, yaklaşık 0.15-0.6 ile 0.6-0.9 Volt değerleri arasında biraz farklı üstel davranış gösteren iki bölge belirlenmiştir. Bu deneysel gözlemler, heteroeklem aygitin toplam diyon akımına farklı katkıları olan değişik kaliteye sahip paralel bağlı diyonlar dan oluşmuş olduğunu öne süren çok katlı diyon modeli ele alarak açıklanabilir [72].



Şekil 4.1.2 Güneş pilinin oda sıcaklığında ve karanlıktaki I-V karakteristiği.



Şekil 4.1.3 a.) Paralel bağlı iki diyon için eşdeğer devre modeli.



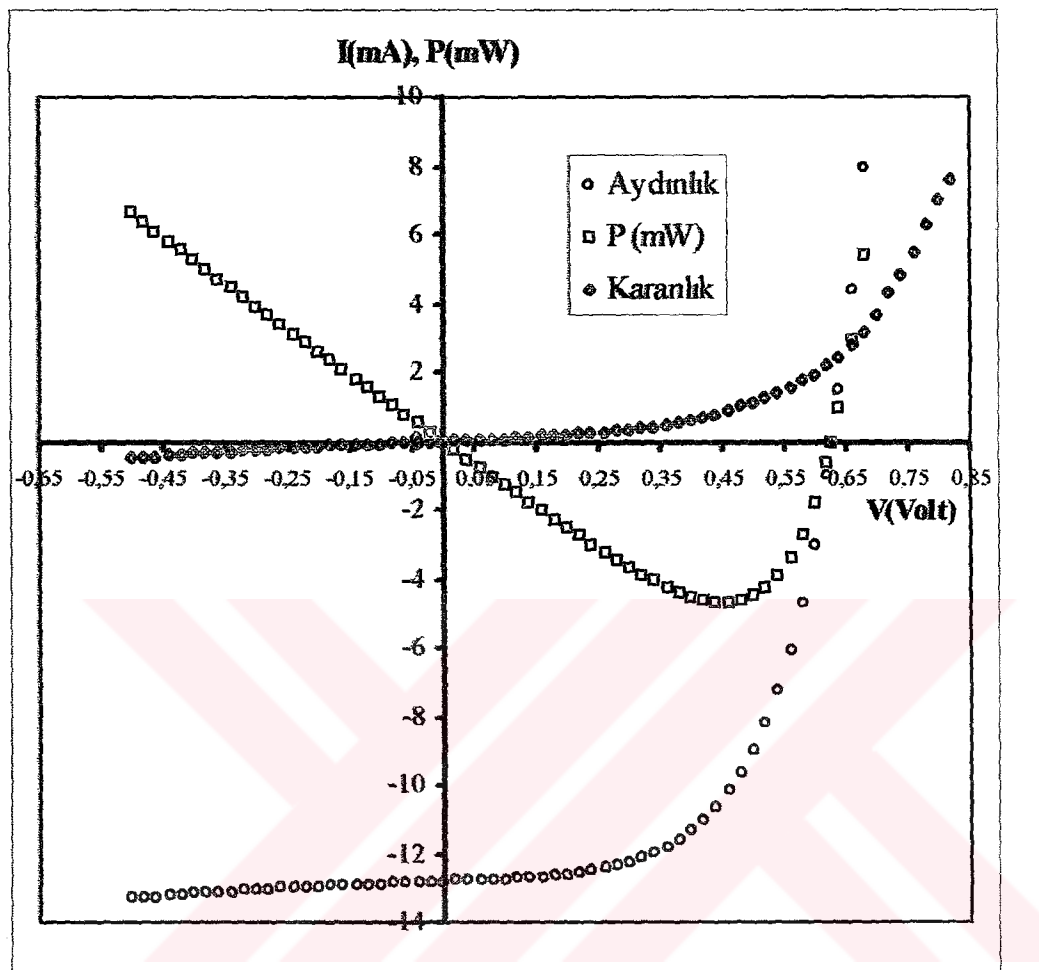
Şekil 4.1.3. b.) Teorik ve deneysel verilerin karşılaştırılması.

İncelenen güneş pili, paralel bağlı iki diyottan oluşmuş olarak ele alınmış ve eşdeğer devre modeli Şekil 4.1.3.a. da şematik olarak gösterilmiştir. Bu tip bir devreden geçen net akım Kirchoff yasası gereği her iki diyodun üzerinden geçen akımların toplamına eşittir. Uygulanan gerilime karşı ölçülen akım verileri ile iki katlı diyot yaklaşımı kullanılarak hesaplanmış teorik akım-gerilim verileri Şekil 4.1.3.b de gösterilen grafik üzerinde beraber çizilmişlerdir. İkinci diyod' un akım-gerilim karakteristiği ile deneysel verilerin oldukça iyi bir uyum içerisinde olduğu ve özellikle 0.2 V dan daha büyük değerler için neredeyse aynı oldukları belirlenmiştir. Birinci diyodun akım-gerilim karakteristiği ise 0.2 V tan düşük gerim değerlerinde deneysel veriler ile uyumlu olup yüksek gerilimlerde oldukça farklılaşmaktadır. Heteroeklem güneş pilinin elektriksel özelliklerinin belirlenmesi için yapılan hesaplamlarda 0.2 V tan daha büyük gerilim değerleri dikkate alındığından, ele alınan eşdeğer devre modelinin, uygulanan gerilime karşı baskın olarak ikinci diyodun özelliklerini sergilediği söylenebilir. Teorik olarak hesaplanan  $I = I_1 + I_2$  toplam akımı ile deneysel olarak ölçülen  $I$  akım değerlerinin neredeyse aynı oldukları da belirlenmiştir.

#### **4.1.3. KARANLIK VE AYDINLIK KARAKTERİSTİKLERİDE ÇAKIŞMA ETKİSİ:**

Şekil 4.1.4 de çizilen grafikte, karanlık ile aydınlatma karakteristiklerin ( $J, V$ ) düzleme üzerinde bir noktada çapraz olarak çakışıkları görülmektedir. Benzer teknikler kullanılarak üretilen bir çok CIGS tabanlı güneş pilinde gözlenen bu çapraz çakışım (cross-over), CdS tampon tabaka seri direncinin ışık altındaki değişimin bir etkisi olarak [73] veya eklemdeki elektrik alanının yük taşıyıcı yoğunluğuna bağlı olarak gösterdiği değişimin bir etkisi olarak [74-76] açıklanmaktadır. Niemegers ve grubu [22] geliştirdikleri model de, CIGS soğurucu materyalinin eklem ara yüzeyine yakın kısımlarında yer alan ince bir kusur tabakasının üzerine düşen gerilim değişimlerinin çapraz çakışma neden olabileceğini öne sürmüştür. Bu modele göre ışık altında, hem CdS pencere materyali içerisinde hem de kusur tabakası içerisinde desikler yaratılmaktadır. Çapraz çakışım etkisini açıklayabilmek için bu desiklerin ara yüzey yakınlarında yer alan tuzaklarca tutulduğu ve bu pozitif fazlalık

yüklerin eklemdeki toplam elektron akışını yada toplam akımı artttırduğu kabul edilmiştir.



Şekil 4.1.4 Karanlık ve aydınlatık karakteristiklerinde çapraz çıkışım etkisi.

Eklem akımı ancak, CdS/ince kusur tabakası ara yüzeyindeki hem de CIGS' in boşaltılmış bölgesinde içerisindeki yeniden birleşmelerle sınırlanılmaktadır. Yüksek yoğunluktaki ( $1.5 \times 10^{18} \text{ cm}^{-3}$ ) alici-benzeri (acceptor-like) kusur durumlarının bulunduğu varsayılan ince kusur tabakası üzerine düşen gerilim ( $V_{ODC}$ ) CdS ten CIGS içerişine enjekte olan elektronlara karşı bir engel meydana getirmektedir. Kusur tabakası ile CIGS' in değerlik bandının üst kiyisi arasındaki farklılık nedeniyle oluşan düz çıkıştı şeklindeki enerji engeli, deşiklerin CIGS 'den kusur tabakasına doğru olan hareketine engel olarak kusur tabakası içerisindeki deşik yoğunluğunun çok düşük olmasına neden olmaktadır. İşık altında, kusur tabakası içerisinde, foton

sogurulması sonucu yaratılan elektron-deşik çiftleri, burada deşik yoğunluğunun artmasına neden olmaktadır. Bu deşikler iyonize olmuş alıcı durumların boşalmasına neden olur ve bu nedenle  $V_{ODC}$  (ODC: Ordered Defect Compound) gerilimi azalır. Kusur tabakası üzerine düşen gerilimin ışık altında azalması, elektron akışına engel olan engel yüksekliğinin azalmasına neden olur. Bu modelde, verilen bir gerilim değerinde ışık altındaki toplam yeniden birleşme oranının karanlıktakine oranla daha fazla olmasının I-V karakteristiğinde bir çakışmaya neden olduğu öne sürülmektedir. Kylner [23], CdS tampon tabaka nötral bölgesi içerisinde bulunan safsızlıklar ile kusurların n-CdS/CIGS heteroeklem yapının ara yüzey bölgesinde doğru uzanan bir elektrik alan dağılımının oluşmasını sağlayıp oda sıcaklığındaki J-V karakteristiğinde çapraz çakışma neden olduğunu ve bu nedenle güneş pil performansının arttığını ifade etmiştir.

#### 4.2 SICAKLIK BAĞIMLI KARANLIK AKIM-VOLTAJ KARAKTERİSTİĞİ

Üretim koşulları Bölüm (2.4.3) de açıklanan, CdS/Cu(In,Ga)Se<sub>2</sub> heteroeklem güneş pilinde baskın olan akım-iletim mekanizmasının belirlenmesi amacıyla 100 K ile 300 K sıcaklık aralığında karanlıkta I-V ölçümleri gerçekleştirilmiştir. Heteroeklem yapılarda materyallerin özelliklerine, eklemdeki kusur yapılarının, ara yüzey ve tuzak düzeylerinin etkilerine bağlı olarak farklı akım mekanizmaları öne sürülmüştür. Bölüm (2.1.2) de verildiği gibi, eğer akım iletiminde ısisal uyarılma sonucu oluşan akım mekanizmaları etkin iseler, örneğin, enjeksiyon, ara yüzey yada tükenmiş bölgede yeniden birleşme gibi,  $3 kT/q$  dan daha büyük düz ön gerilim değerleri için en genel formdaki akım-voltaj bağıntısı aşağıda verildiği gibi yazılabılır,

$$\begin{aligned} J &= J_o \exp(qV / AkT) \\ &= J_{oo} \exp(-E_a / AkT) \exp(qV / AkT) \end{aligned} \quad (4.2.1)$$

burada  $E_a$  aktivasyon enerjisi iletim mekanizmasının tipine göre değişmektedir, örneğin; ideal emisyon ve difüzyon mekanizmasında eklenen geçen akımı belirleyen yük taşıyıcıların çoğunluk oldukları bölgeden azınlıkta oldukları bölgeye geçerken

karşılaştıkları enerji engelini ifade ederken, serbest yüklerden boşaltılmış bölgede yeniden birleşme-yaratılma (R/G) mekanizmasında boşaltılmış bölgenin çoğunlukla yer aldığı soğurucu materyalin yasak enerji aralık değerinin yarısını (Eg /2'ye) ifade eder (Bölüm 2.1.2.b).

Genellikle, ısisal uyarılma sonucu oluşan iletim mekanizmalarının baskın olduğu durumda; a.) Sabit sıcaklıkta, ileri besleme akımı, voltaj ile  $\log I \propto qV/AkT$  olarak değişir ve A değerleri baskın olan mekanizmanın tipine ve eklemi oluşturan materyallerin katkı yoğunluklarına bağlı olarak 1 ile 2 değerleri arasında değişebilmektedir. B.) Sabit gerilimde,  $\log I$  ve  $\log I_o, T^{-1}$  ile doğrusal olarak değişmektedir.

Eğer akım iletiminde, banttan banda doğrudan tünelleme veya çok adımlı tünellemenin ardından ara yüzey durumları yardımıyla yeniden birleşmenin gerçekleştiği akım iletim mekanizmaları etkin iseler, en genel akım-gerilim denklemi aşağıda verildiği gibi de ifade edilebilir,

$$J_{ileri} = J_o(T) \exp(\Lambda V) \quad (4.2.2)$$

Burada  $\Lambda$ , InI-V grafiğindeki doğrusal değişimin eğimi olup voltaj faktörü adını almaktadır.

Eğer tünelleme mekanizması daha baskın ise; a.)  $\log I - V$  değişiminin eğimi sıcaklıktan bağımsız olur ve  $\Lambda$  neredeyse sabittir. B.)  $\log I$  ve  $\log I_o, T$  ile doğrusal olarak değişir.

Eğer eklemdeki baskın akım iletim mekanizması, saf Shockley-Read-Hall' u temel alan eklemde yeniden birleşmenin klasik modeli [77] ile ısisal uyarılmanın olmadığı tuzak yardımcı tünelleme (*trap assisted tunneling*) [41] modelleri arasında kalan tünellemenin yükselttiği yeniden birleşme (*tunneling enhanced recombination*) ise, bu durumda en genel formdaki akım-voltaj bağıntısı Denklem (4.2.1) de verildiği gibi yazılabilir. Bölüm (2.1.2.d..ii) de n-CdS/p-Cu(In,Ga)Se<sub>2</sub> heteroeklem yapısı için kısaca açıklanan bu modele göre eklemde etkin olan akım iletim mekanizmasının takip ettiği

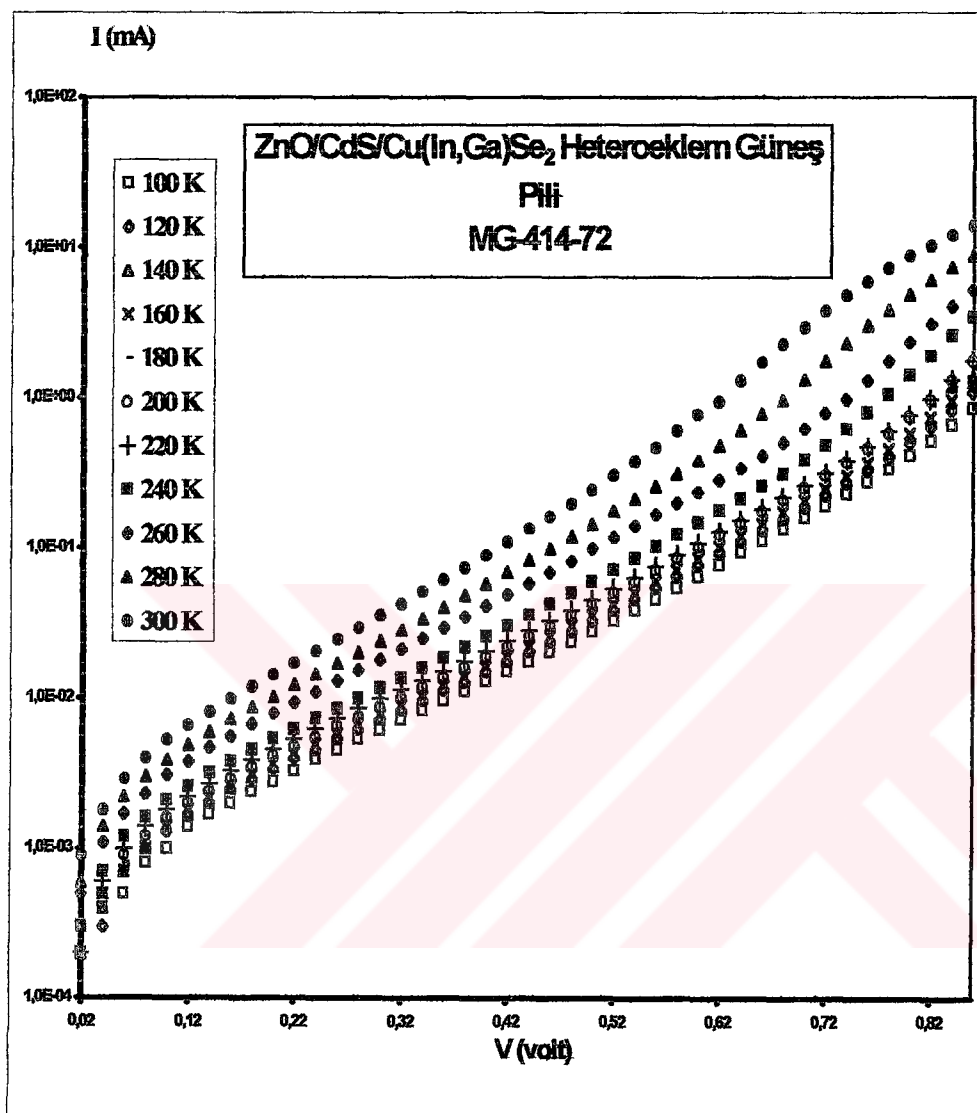
yol, aktivasyon enerjisinin aldığı değere göre değişmektedir [3]. Eğer,  $E_a$  Şekil 2.1.7 de gösterildiği gibi ZnO iletim bant alt kiyısı ile Cu(In,Ga)Se<sub>2</sub> değerlik bandındaki eğrilmenin düzgünleşmeye başladığı noktalar arasında kalan  $\phi_b^P$  enerji miktarına eşit ise ara yüzeyde tünellemenin yükselttiği yeniden birleşme mekanizması etkin olabilir. Aktivasyon enerjisi CIGS 'in yasak enerji aralık değerine eşit olduğu durumda, boşaltılmış bölge içerisinde tünellemenin yükselttiği yeniden birleşme mekanizması daha etkin olmalıdır. Her iki durumda da,  $J_{oo}$  sıcaklıkla çok zayıf bağlı olarak değişmektedir. Ara yüzeyde ve boşaltılmış bölgede tünellemenin yükseltiği yeniden birleşme modellinde A diyod faktörü sırasıyla Denklem 2.1.48 ve Denklem 2.1.53 ile verilmekte ve genelde 2 den büyük değerler alabilmektedir.

T(K)	Eğim (q/AkT)	Diyod Faktörü A	$I_o$ ( $\mu$ A)
100	7,66	15,13	0,56
120	7,77	12,44	0,67
140	7,87	10,52	0,70
160	7,98	9,08	0,71
180	8,09	7,96	0,73
200	8,21	7,06	0,80
220	8,33	6,33	0,90
240	8,45	5,72	1,05
260	8,58	5,20	1,25
280	8,70	4,76	1,52
300	8,84	4,37	1,86

Tablo 4.2.1 100 K-300 K sıcaklık aralığında belirlenen diyon parametreleri.

İncelenen heteroeklem güneş pilinin 100K – 300K sıcaklık aralığında ölçülen LogI-V karakteristiği Şekil 4.2.1 de gösterilmiştir. I-V değişimleri Denklem 4.2.1 de verilen diyon denklemine uyarlanmıştır. Diyon ideallik faktörü A, ve ters doyma akımı  $I_o$ , LogI – V değişiminin doğrusal olduğu bölgenin eğiminden ve 0 Volt a uzatılan kesim noktasından hesaplanmış ve sonuçlar Tablo 4.2.1 de sıralanmıştır. Sıcaklığın 100 K den 300 K değerine doğru artması ile birlikte, LogI-V değişim eğimlerinin oldukça yavaş

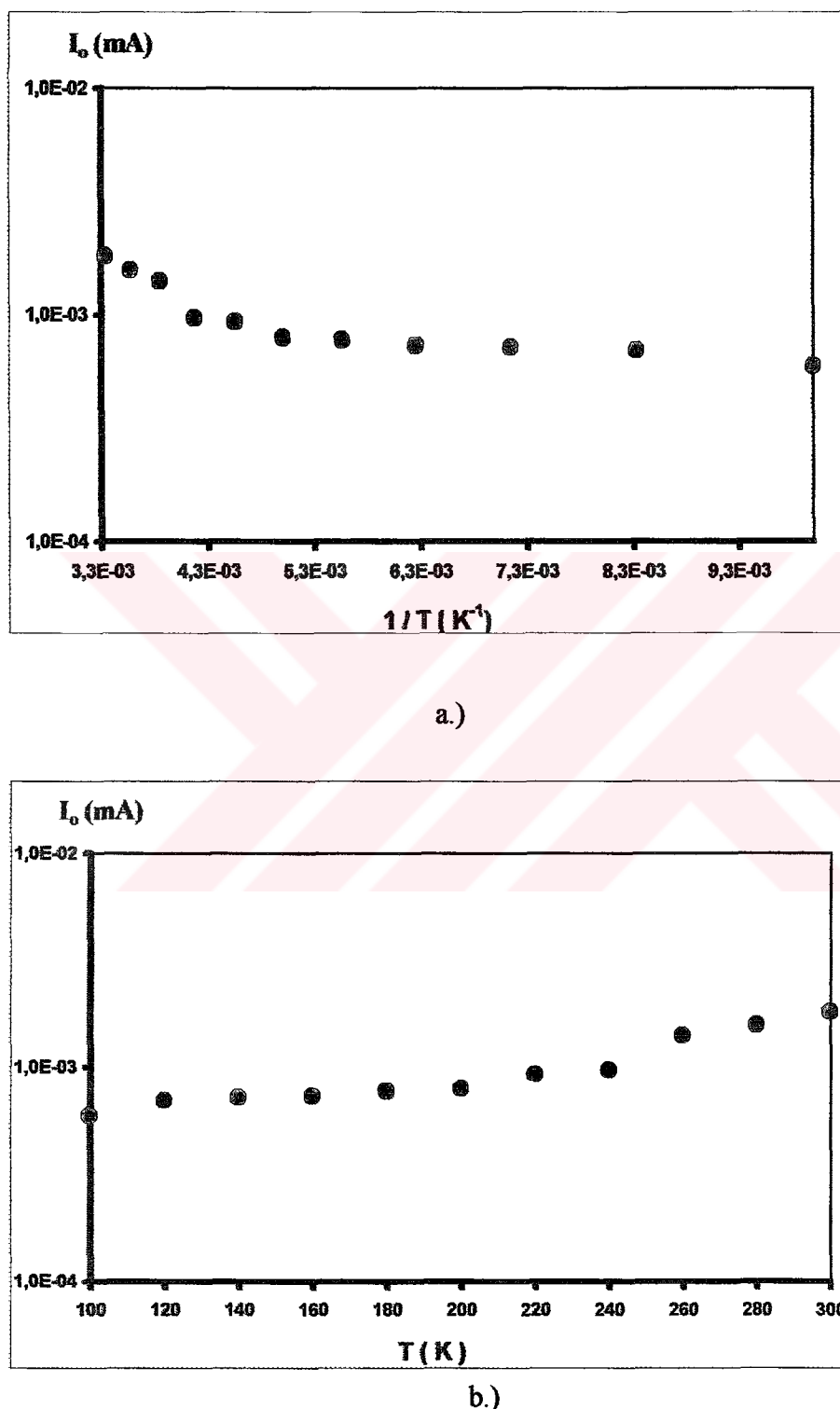
olarak arttığı ve 2 den oldukça büyük olan diyot ideallik faktörünün de 15.13 den 4.37 değerine doğru sistematik olarak azaldığı belirlenmiştir.



Şekil 4.2.1 100K-300K sıcaklık aralığındaki akım-gerilim karakteristiği.

Sıcaklığın, akım iletim mekanizmasına olan etkisini araştırmak amacıyla  $\log I_o$  in sıcaklık ( $T$ ) ve sıcaklığın tersi ( $1/T$ ) ile olan değişimleri incelenmiştir. Şekil 4.2.2.a da verilen  $\log I_o - T^{-1}$  grafiğinde, yaklaşık 100 K ile 250 K aralığında  $I_o$  sıcaklıkla zayıf bir bağımlılık göstermesine karşın yüksek sıcaklıklarda değişimin biraz arttığı görülmektedir. Yüksek sıcaklıklarda, yeteri kadar veri alınamamasına karşın,  $\log I_o - T^{-1}$  deki değişimin daha hızlı olması ve doğrusallığa yakın bir değişim göstermesi ve A değerlerinin giderek

azalması nedeniyle akım iletiminde ısisal uyarılmalı mekanizmaların önemli olmaya başlayabileceği düşünülmektedir.



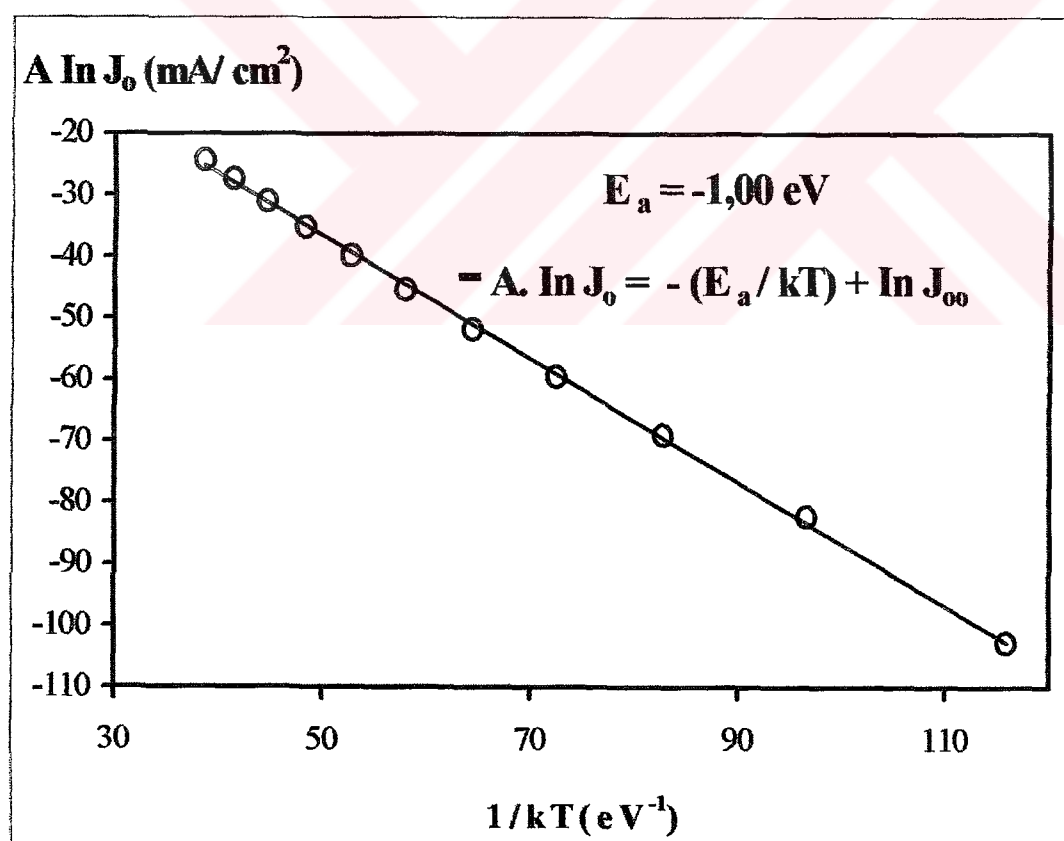
Şekil 4.2.2 a.)  $\log I_o$  in  $1/T$  ile olan değişimi, b.)  $\log I_o$  in  $T$  ile olan değişimi.

Şekil 4.2.2.b de verilen Log  $I_0-T$  grafiğinde, 100-250 K sıcaklık aralığındaki değişim doğrusallığı yakın bir karakterde olmasına karşın yüksek sıcaklıklarda doğrusallıktan uzaklaşmaktadır. 250 K den düşük sıcaklıklarda; Log  $I_0-T$  değişiminin Log  $I_0-T^{-1}$  değişimine oranla daha doğrusal karakterde olması ve Tablo 4.2.1 de sıralanan Log I-V değişim eğimlerinin oldukça yavaş olarak artması, tünellemenin varlığına işaret edebilir. Ancak Log I-V karakteristik eğimlerin artan sıcaklıkla düzgün olarak 7.66 dan 8.84 'e değişmesi doğrudan ya da çok adımlı tünellemenin bu pillerde etkin bir mekanizma olmadığını göstermektedir [40,41]. Diğer yandan diyot ideallik faktörünün sıcaklığın fonksiyonu olarak değişip 2 den çok büyük değerler alması nedeniyle boşaltılmış bölgede yada ara yüzeyde tünellemenin yükselttiği yeniden birleşme mekanizmasının [26,14] incelenen pilde etkin bir rol oynadığı düşünülebilir. Bu modele göre, ileri besleme durumundaki bir pn heteroeklem için en genel akım-gerilim bağıntısı Denklem 4.2.1. de verildiği gibidir.  $j_{00}$  in sıcaklığa çok zayıf bağlı olduğu ve diyot faktörü A'nın sıcaklıkla değiştiği kabul edildiğinde, Denklem 4.2.1 yeniden düzenlenirse,

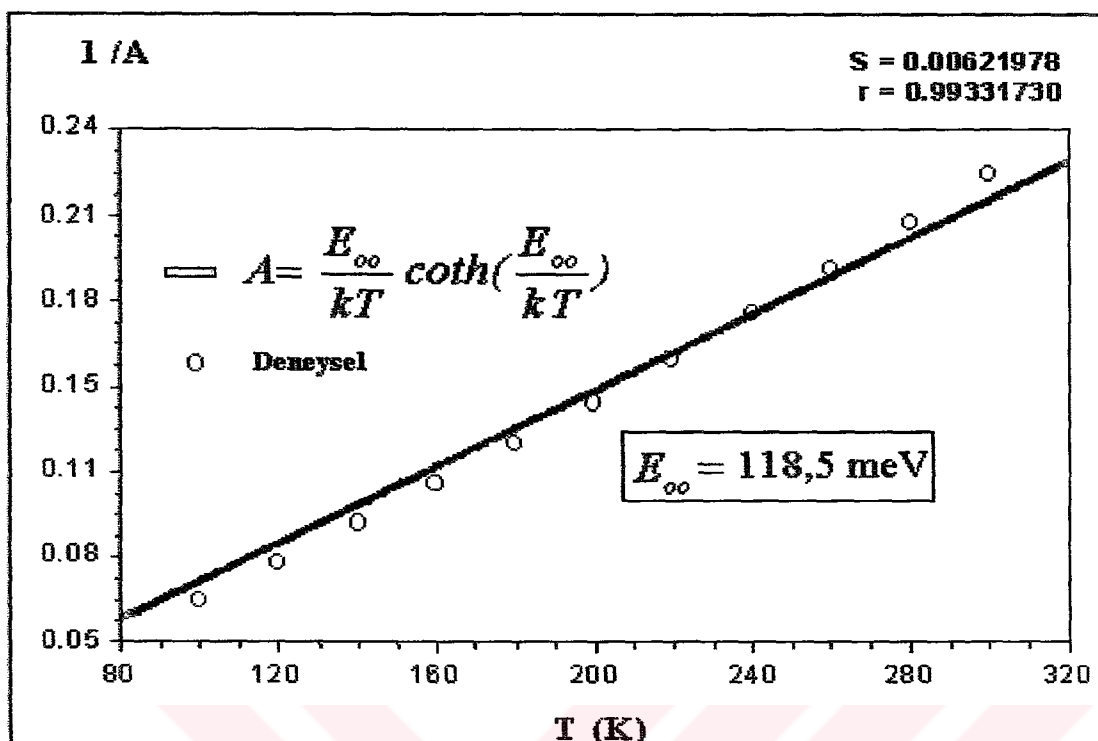
$$A \ln J_0 \approx \frac{-E_a}{kT} + \ln J_{00} \quad (4.2.3)$$

olur. Bu nedenle  $A \ln J_0$  a karşılık  $1/T$  grafiği çizildiğinde doğrusal karakterde olan eğimden  $E_a$  aktivasyon enerjisinin değeri belirlenebilir. [14]. Şekil 4.2.3 de gösterilen  $A \ln J_0$  a karşılık  $1/T$  Arrhenius çiziminde incelenen güneş pilinin aktivasyon enerjisi 1.00eV olarak hesaplanmıştır. Bu güneş pil yapısı %7.27 oranında Galyum içermesine rağmen, hesaplanan aktivasyon enerji değerinin neredeyse saf CuInSe<sub>2</sub>'un yasak enerji aralığı değerine  $E_{g(CIS)} = 1.04$  eV eşit olduğu görülmektedir [3,20]. Bu çalışmada incelenen pil ile aynı laboratuarda benzer fabrikasyon koşullarında hazırllanmış n-CdS/p-Cu(In,Ga)Se<sub>2</sub> güneş pillerinde aktivasyon enerji değerleri genellikle 1.04-1.21 eV civarında olarak rapor edilmektedir [3,26]. Rau [3], ani ısısal işleme (RTP: rapid thermal processing) ile hazırlanan güneş pillerinde, neredeyse tüm Galyumun arka kontağa yakın yerlere doğru yerleştiğini ve boşaltılmış bölge yasak enerji aralığı değerinin yaklaşık olarak saf CuInSe<sub>2</sub> için verilen değere eşit olduğunu belirtmektedir.

Akım iletimi ile ilgili daha ayrıntılı bilgi elde edebilmek için A ideallik faktörünün sıcaklıkla olan değişimini incelenmiştir. Ara yüzey veya boşaltılmış bölgede tünellemenin yükselttiği yeniden birleşme mekanizmalarından hangisinin akım iletiminde daha etkin olduğunu belirlenebilmesi için deneysel ve teorik modellere uygun olarak belirlenen ters diyot ideallik faktörü değerlerinin sıcaklıkla olan değişimleri Şekil 4.2.4 ve Şekil 4.2.5 de gösterildiği gibi çizilmiştir. Ara yüzeyde gerçekleşen model için Denklem 2.1.48 ile ifade edilen A faktörünün teorik değişimini de Şekil 4.2.4 te verilen grafik üzerinde kesikli çizgilerle gösterilmiştir. Deneysel verilerle teorik yaklaşımın oldukça iyi bir uyum içerisinde olması ara yüzeyde tünellemenin yükselttiği akım iletim mekanizmasının toplam eklem akımına önemli katkıda bulunduğu işaret etmektedir. Deneysel veriler ve Denklem 2.1.48 kullanılarak Şekil 4.2.4 te verilen grafikten karakteristik tünelleme enerjisi  $E_{\infty} = 118.5$  meV olarak hesaplanmıştır.



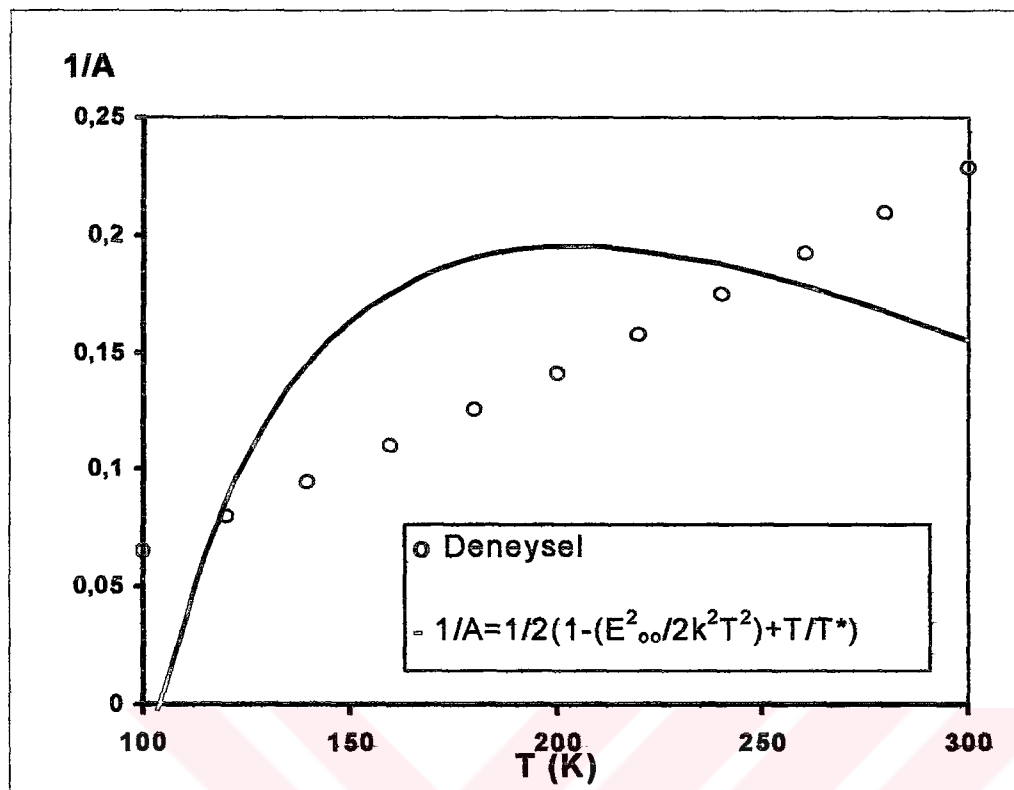
Şekil 4.2.3  $A \ln J_0 - 1/T$  Arrhenius gösterimi.



Şekil 4.2.4 1/A nin sıcaklıkla değişimi ve ara yüzeyde tünellemenin çoğaltığı yeniden birleşme modeli için teorik değişim.

Bosaltılmış bölgede tünellemenin yükselttiği yeniden birleşme mekanizmasının toplam eklem akımına olan etkisinin araştırılması amacıyla deneysel A değerleri ve Denklem 2.1.53 ile verilen teorik değişim Şekil 4.2.5 da gösterilen grafikte beraber çizilmişlerdir. Her iki değişimin oldukça farklı olması, bu mekanizmanın toplam eklem akımına etkisinin olmadığını belirtmektedir.

Eğer boşaltılmış bölge içerisinde yasak enerji aralığının ortasında bulunan tuzak durumları kanalı ile olan tünellemenin yükselttiği mekanizma ihmali edilemeyecek miktarda olursa, Denklem 2.1.53 de verilen 1/A ifadesi  $1/A=1/2(T/T^*)^a$  dönüşümektedir. Burada  $T^*$  tuzak durumları için karakteristik sıcaklığı belirtmektedir. [14]. Bu durumda 1/A ile T 'in değişimi grafiği y ekseni 0.5 de kesmelidir ancak deneysel değişimlerde böyle bir bulguya rastlanılmamıştır.



Şekil 4.2.5 1/A 'nın sıcaklıkla değişimi ve boşaltılmış bölgede tünellemenin çoğalığı yeniden birleşme modeli için teorik değişim.

#### 4.3 KAPASİTANS, EMPEDANS VE ADMİTTANS ÖLÇÜMLERİ

Kapasitans ve admittans ölçümelerinin, eklem bölgesinin enerji bant yapısı, ara yüzey kusurları ve derin tuzak enerji düzeyleri ile ilgili bilgilerin edinilmesi açısından oldukça önemli olduğu bilinmektedir. Bu nedenle incelenen Cu(In,Ga)Se<sub>2</sub> tabanlı heteroeklem aygit üzerinde karanlıkta, sıcaklık bağımlı kompleks admittans ve empedans ölçümeleri, sabit gerilim altında ( $V = 0$ ) sıcaklık bağımlı kapasitans frekans ölçümeleri ve oda sıcaklığında frekans bağımlı kapasitans-gerilim ölçümeleri gerçekleştirılmıştır.

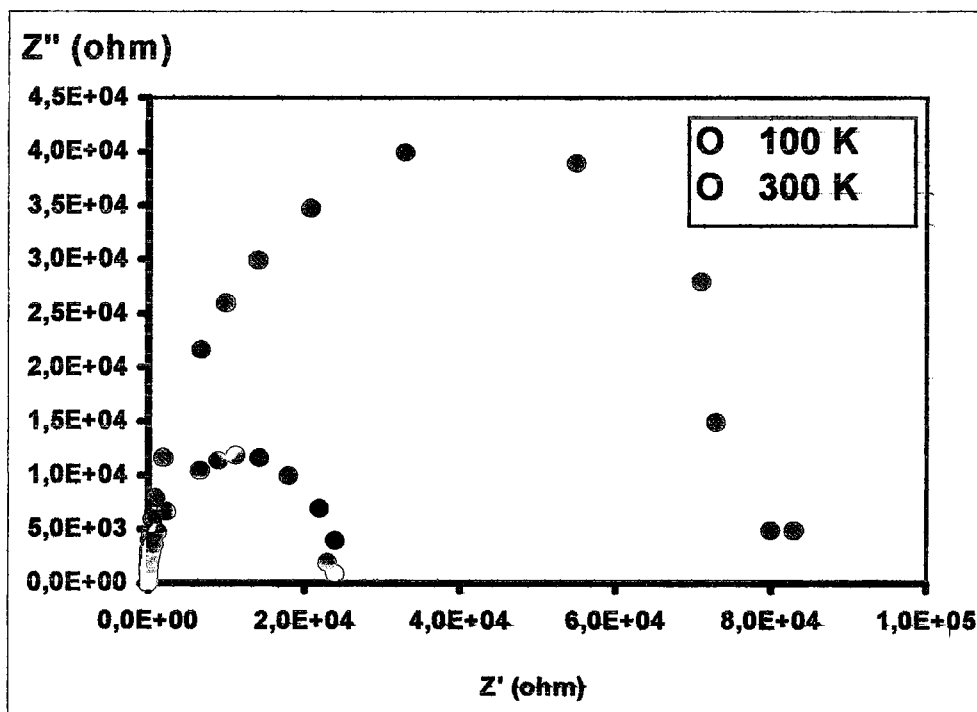
### 4.3.1 Cu(In,Ga)Se<sub>2</sub> TABANLI GÜNEŞ PILİNİN EŞDEĞER EVRESİNİN BELİRLENMESİ.

İlk olarak, incelenen güneş pilinin alternatif sinyallere karşı gösterdiği tepkilerden faydalananak ac eşdeğer devresinin belirlenmesi hedeflenmiştir. Bu nedenle empedans ölçümü yapılmıştır, heteroeklem yapı içerisindeki direnç ve kapasitansların kararlı oldukları bağlanma konfigürasyonları araştırılmıştır [78]. Ölçümler sadece 100K ve 300K sıcaklık değerlerinde yapılmış olup verilerin grafik üzerindeki değerlendirilmesi Şekil 4.3.1.a ve b de verilmiştir. Bölüm 2.2 de açıklanacağı gibi gözlemlenen yarı daire şeklindeki değişim, eşdeğer devrenin birbirine paralel bağlı kapasitans ve direnç ile yine bunlara seri bağlı olan bir seri dirençten olduğunu göstermektedir [52]. Ayrıca tek yarı dairesel değişimin bulunması, pil içerisinde geri kontak etkisinin ölçülemeyecek kadar önemsiz olup sadece tek bir potansiyel engelinin var olduğunu göstermektedir [79]. Her iki sıcaklık değerinde de sadece bir yarı dairesel değişimin gözlenmesi, devre modelindeki bağlantı konfigürasyonun sıcaklıkla değişmediğini ifade etmektedir.

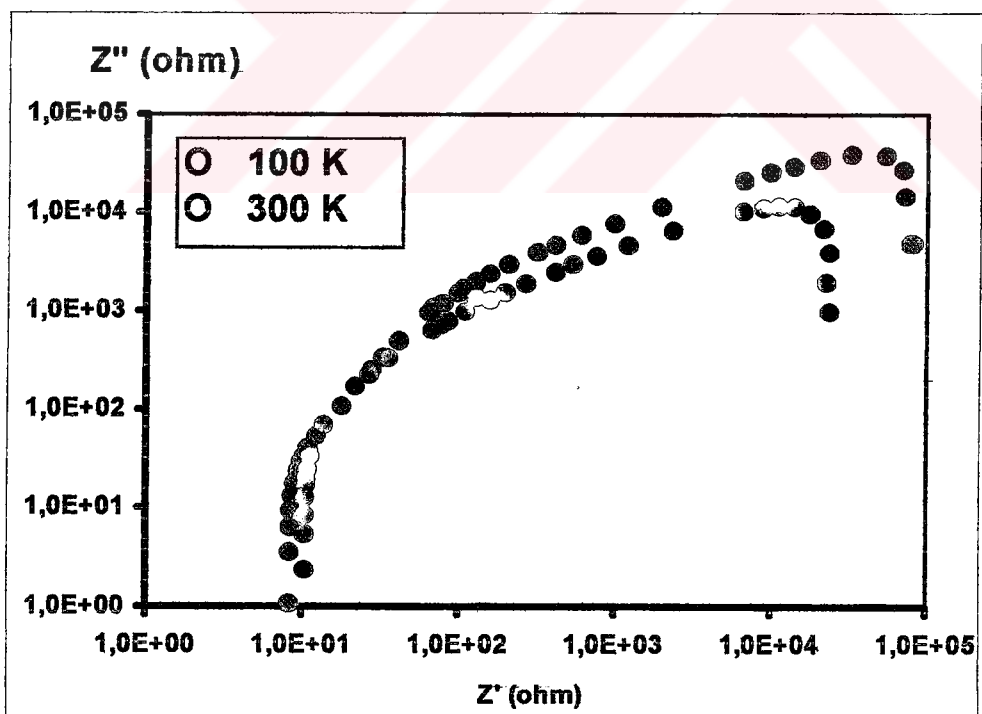
Kompleks empedans eğrilerinin düşey ekseni kestikleri noktalar doğrudan Şekil 4.3.2 de gösterilen devre modelindeki seri  $R_s$  ve paralel  $R_p$  direnç değerlerine karşılık gelmektedir. Tablo 4.3.1 de sıralanan  $R_s$  ve  $R_p$  değerlerinin sıcaklıkla değişmesi, heteroeklem yapıyı oluşturan yarı-iletken materyallerin iletkenlik değerlerinin sıcaklıkla değiştiğini göstermektedir.

Direnç Etkileri		$T = 100 \text{ K}$	$T = 300 \text{ K}$
Seri direnç etkisi	$R_s$	$12 \Omega$	$20 \Omega$
Şönt direnç etkisi	$R_p$	$82 \text{ k}\Omega$	$23 \text{ k}\Omega$

Tablo 4.3.1 Seri ve şönt direnç değerleri.

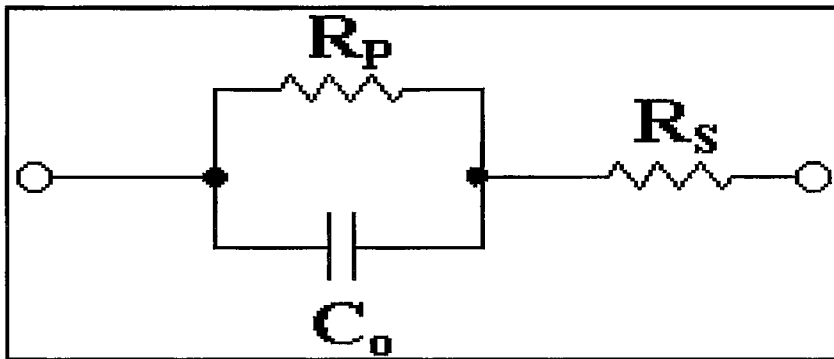


a.)



b.)

Şekil 4.3.1 Kompleks empedansın a.) lineer, b.) logaritmik değişimi.



Şekil 4.3.2 Cu(In,Ga)Se<sub>2</sub> tabanlı heteroeklem güneş pilinin eşdeğer devresi.

### 4.3.2 ODA SICAKLIĞINDA KARANLIK KAPASİTANS – VOLTAJ ÖLÇÜMLERİ

$C^2$ - V grafiğinin ters besleme değerlerindeki eğiminden faydalananarak yarı-iletken materyallerin tükenmiş bölge kıyısındaki katkı yoğunluğu hesaplanabilir. Doğrusal değişimin gerilik eksenini kestiği noktadan ise engel potansiyel değeri belirlenebilir. Ancak, derin tuzakların ve ara yüzey etkilerinin varlığı durumunda, C-V bağıntısının şekli etkilenebilir [80]. 1MHz ile 250kHz aralığında kapasitansın gerilik ile olan değişimi Şekil 4.3.4 a ve b de sırasıyla C-V ve  $C^2$ -V grafiklerinde gösterilmektedir. Uygulanan geri beslemenin tüm değerleri için  $C^2$ -V değişimlerinin genellikle doğrusal bir karakter göstermesi incelenen aygıtta keskin değişimli (abrupt) eklem tipi yapısının olduğunu göstermektedir.

Doğrusal değişimlerin voltaj eksenini kestiği noktalar Şekil 4.3.3 de gösterildiği gibi frekansın 250 – 350 kHz değerleri için 0.4 V ile 0.5 V arasında değişmekte ancak uygulanan frekansın artması ile birlikte engel potansiyelinin değeri ( $V_{bi}$ ) artmaktadır. Engel potansiyel değerinin pn-eklemine veya ara yüzeye yakın yerlerde yerleşen kusur durumlarına, dipol ve tuzak merkezlerinin varlığına çok sıkı bağlı olduğu bilinmektedir. [72,81]. Genellikle CIGS-tabanlı [25] güneş pillerinde önemli miktarda ara yüzey durum yoğunluğunun olduğu bilinmektedir. Bu nedenle engel potansiyeli  $V_{bi}$  değerlerinin frekans arttıkça büyük değerlere doğru değişmesi, alçak frekanslarda uygulanan ac sinyalini izleyen önemli miktardaki ara yüzey durum yoğunluğunun yüksek frekanslarda giderek azaldığını ortaya koymaktadır.

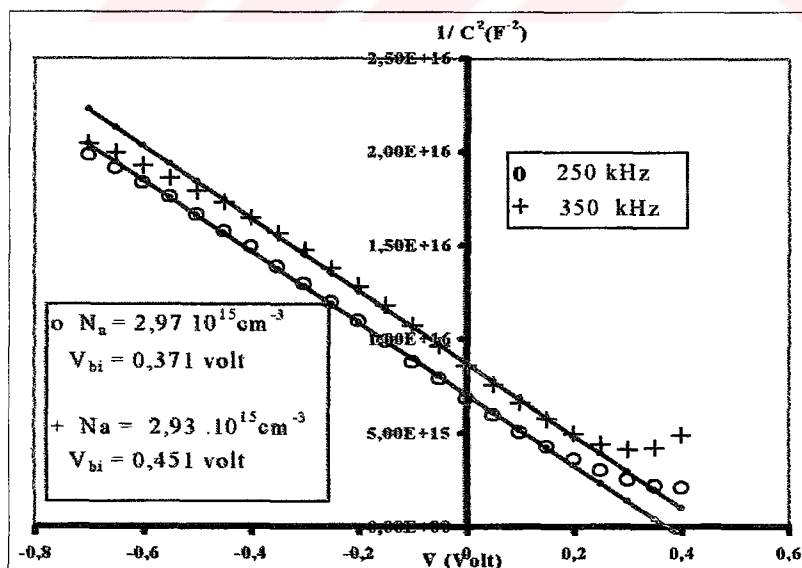
C-V ölçümü ile hesaplanacak eklem parametreleri, özellikle alçak frekanslardaki yüksek ara yüzey yoğunluğunun varlığı nedeniyle çok güvenilir olmadığından sadece 1MHz deki net alıcı yoğunluğu hesaplanmıştır. Keskin değişimli bir pn eklem yapısında ve  $N_D \gg N_A$  olduğu kabul edildiğinde Bölüm 2.1.3 de verilen Denklem 2.1.59 aşağıda verildiği gibi sadeleştir.

$$C_{SCR} = \frac{\epsilon_p}{w} = \sqrt{\frac{\epsilon_p N_A q}{2V_{bi}}} \quad (4.3.1)$$

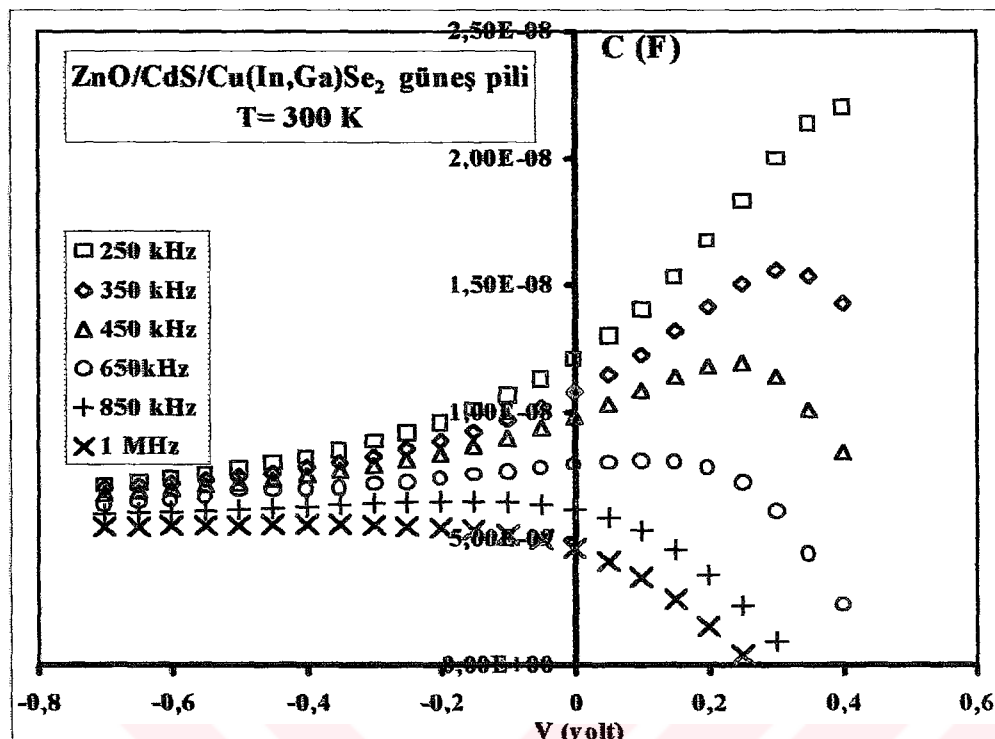
Eğer safsızlık profili düzgün dağılımlı değilse, belirli bir voltaj (örneğin  $V_0$ ) değerindeki  $C(V)^2 - V$  değişimi o gerilimdeki tükenmiş bölge genişliğinin fonksiyonu olarak ( $w(V_0)$ ) aşağıda verildiği gibi yazılabilir [82],

$$\left| \frac{dC^{-2}}{dV} \right|_{V=V_0} = \frac{2}{q\epsilon N_A(w)} \quad (4.3.2)$$

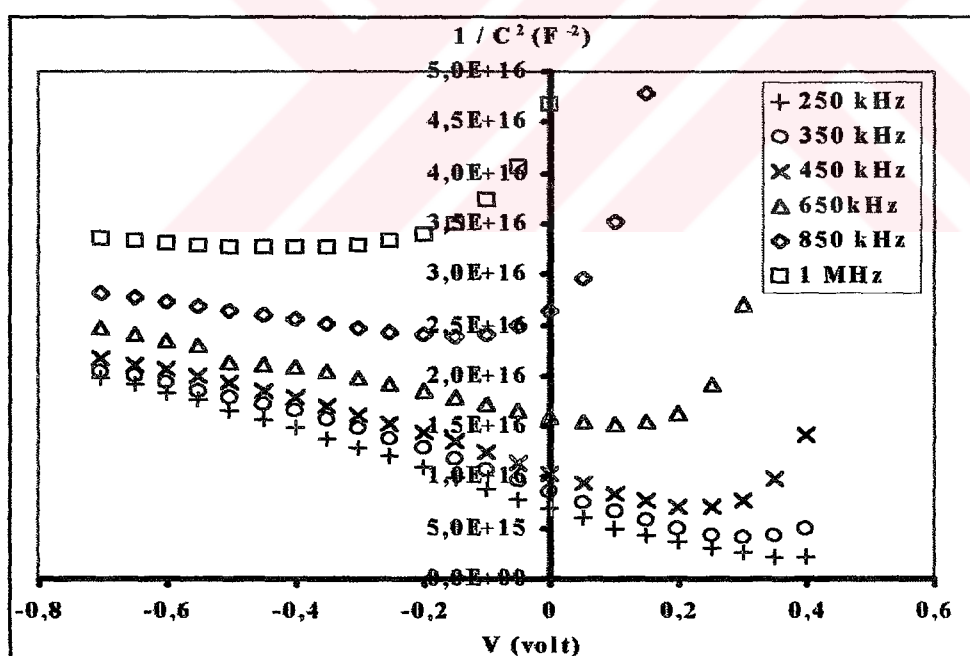
burada  $w(V_0) = \epsilon/C(V_0)$  dır.  $V_0 = -0.4$  V değerindeki, eğim yardımı ile ve  $\epsilon_s = 10\epsilon_0$  alarak alıcı yoğunluğu yaklaşık  $1.5 \times 10^{15} \text{ cm}^{-3}$  olarak ve boşaltılmış bölge genişliği yaklaşık 0.8  $\mu\text{m}$  olarak hesaplanmıştır.



Şekil 4.3.3 Güneş pilinin 250kHz ve 350kHz deki  $1/C^2$ -V değişimi.



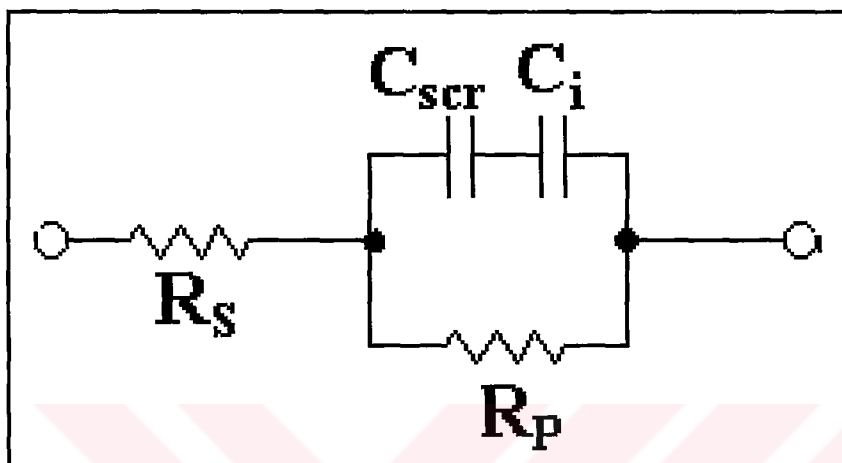
a.)



b.)

Şekil 4.3.4 Güneş pilinin 250kHz – 1MHz frekans aralığında, a.) C-V ve b.) C<sup>-2</sup>-V karakteristikleri

Boşaltılmış bölgeden gelen kapasitif etkiler Bölüm 4.3.1 de önerilen devre modeline katıldığında Şekil 4.3.2 de verilen eşdeğer devre Şekil 4.3.5 de verilen modele dönüştürmektedir. Seri bağlı bir kapasitans etkisi ile devreye katılan bu kapasitansın eşdeğeri, geometrik kapasitans değeri hakkında kabaca bilgi vermektedir.



Şekil 4.3.5 Devre modeline tükenmiş bölgelerinden gelen kapasitansın katımı.

Oda sıcaklığında, Fermi düzeyinde bulunan ara yüzey yoğunluğu yüksek ve alçak frekanslarda ölçülen kapasitans değerinin aşağıda verilen ifadede kullanılması ile hesaplanabilir [83].

$$N_{IS} = \frac{C_{LF} - C_{HF}}{q} \quad (4.3.3)$$

Burada  $N_{IS}$  ara yüzey toplam sayısını,  $C_{LF}$  ve  $C_{HF}$  sırasıyla alçak ve yüksek frekanslarda ölçülen kapasitans değerlerini,  $q$  ise elektrik yükünü ifade etmektedir. Sıfır ileri besleme koşulunda oda sıcaklığında ara yüzey yoğunluğu yaklaşık  $10^{10} \text{ cm}^{-2} \text{ eV}^{-1}$  düzeyinde bulunmuş olup yaklaşık stokiyometrik CIS tipi güneş pili içinde benzer sonuçlar yayımlanmıştır [80].

### 4.3.3 SICAKLIK BAĞIMLI KAPASİTANS – FREKANS VE KONDUKTANS – FREKANS ÖLÇÜMLERİ

İncelenen güneş pilinin sabit sıfır besleme gerilimi altında ve 100K ile 320K sıcaklık aralığındaki frekans – kapasitans değişim karakteristikleri Şekil 4.3.6.a da ve frekans-konduktans değişim karakteristikleri Şekil 4.3.7 de çizilmiştir. Şekil 4.3.2 de gösterilen eşdeğer devre modeli için Bölüm 2.2 de açıklanan teorik yaklaşım, kapasitansın ve konduktansın uygulanan frekans ile aşağıda verildiği gibi değişimlerini öngörmektedir.

$$C(\omega) = \frac{C_o}{1 + \omega^2 \tau^2} \quad (4.3.4)$$

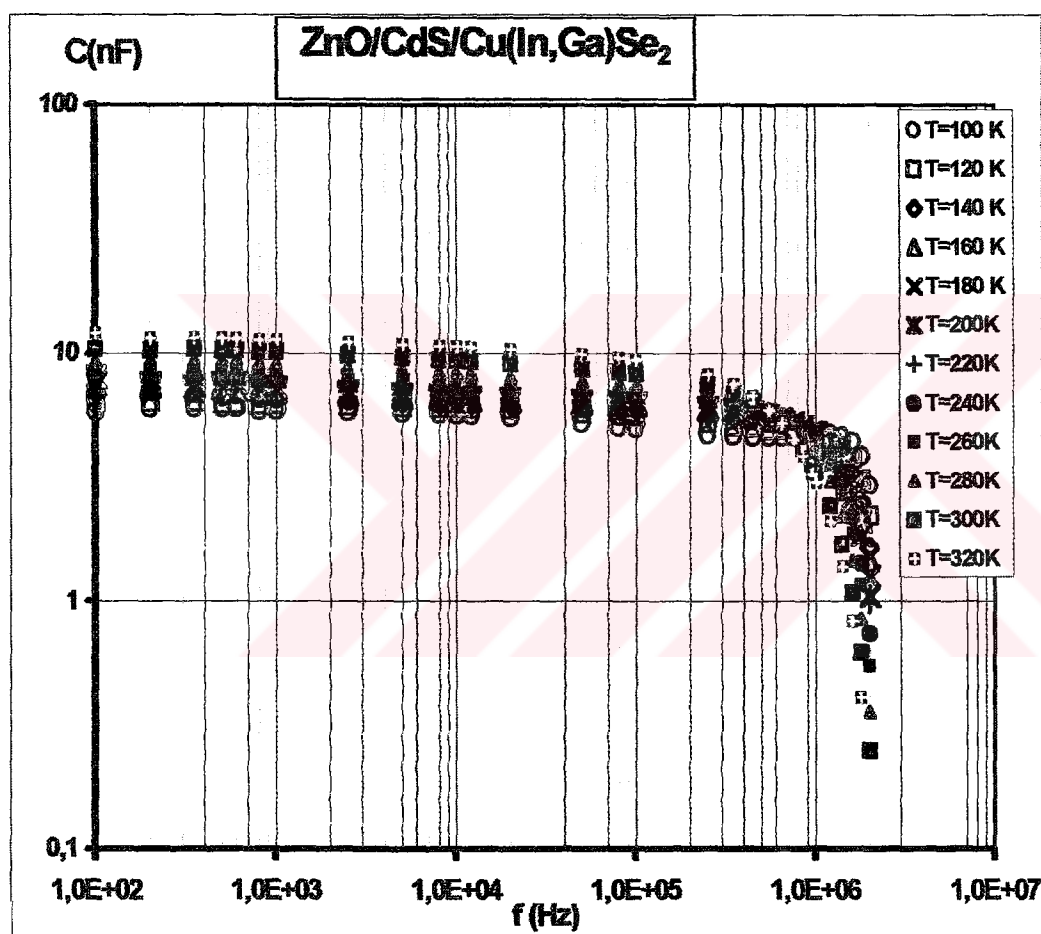
$$G(\omega) = G_o \frac{1 + \omega^2 \tau^2 / b}{1 + \omega^2 \tau^2}$$

Bu nedenle tüm sıcaklık değerleri için deneyel verilerin beklenen teorik yaklaşım ile olan uyumu araştırılmıştır. Deneyel veriler ile Denklem 4.3.4 ile ifade edilen teorik C-f ve G-f karakteristik değişimlerinin tüm sıcaklık değerleri için oldukça benzer oldukları bulunmuştur. Tipik bir örnek olarak oda sıcaklığındaki teorik ve deneyel C-f karakteristik değişimini Şekil. 4.3.6.b de tekrar çizilmiştir.

Düşük frekanslarda,  $10^3$ - $10^4$  Hz değerlerinde oldukça yavaş değişen konduktans, frekansın artması ile oldukça hızlı artmaktadır ve  $10^6$  Hz den büyük frekanslarda ise tekrar neredeyse sabit bir değere doğru büükülmektedir. 100K den 320K ne doğru sıcaklığın artması ile aynı frekansta ölçülen konduktans değerleri artmakta ve yüksek frekans değerlerinde gözlenen büükümenin frekans eksenindeki değeri sıcaklıkla beraber kaymaktadır. Düşük frekanslarda neredeyse sabit olan kapasitans belli bir büükülme frekans değerinden sonra hızla azalmaktadır. Sicaklığın 100K den 320K e doğru artması ile oldukça simetrik olan C-f karakteristiklerin büükülme frekansı değeri de değişmektedir.

Önemli ara yüzey durum yoğunluğunun varlığına [24, 84-87] işaret eden sıcaklık bağımlı kapasitans veya konduktanstaki karakteristik değişimlerin yardımcı

ile boşaltılmış bölge içerisinde bulunan etkin tuzak seviyelerinin enerji derinlikleri belirlenebilir.  $\omega_0$  bükülme frekansı ara yüzey durumlarının karakteristik emisyon zamanı  $\tau_{tuzak}^{-1}$  ile Denklem 2.3.3. de gösterildiği gibi bağlı olduğundan C-f veya G-f karakteristik değişimlerindeki bükülme frekansının belirlenmesi ile tuzak seviyelerin Denklem 2.3.4 ile ifade edilen aktivasyon enerjileri hesaplanabilir.



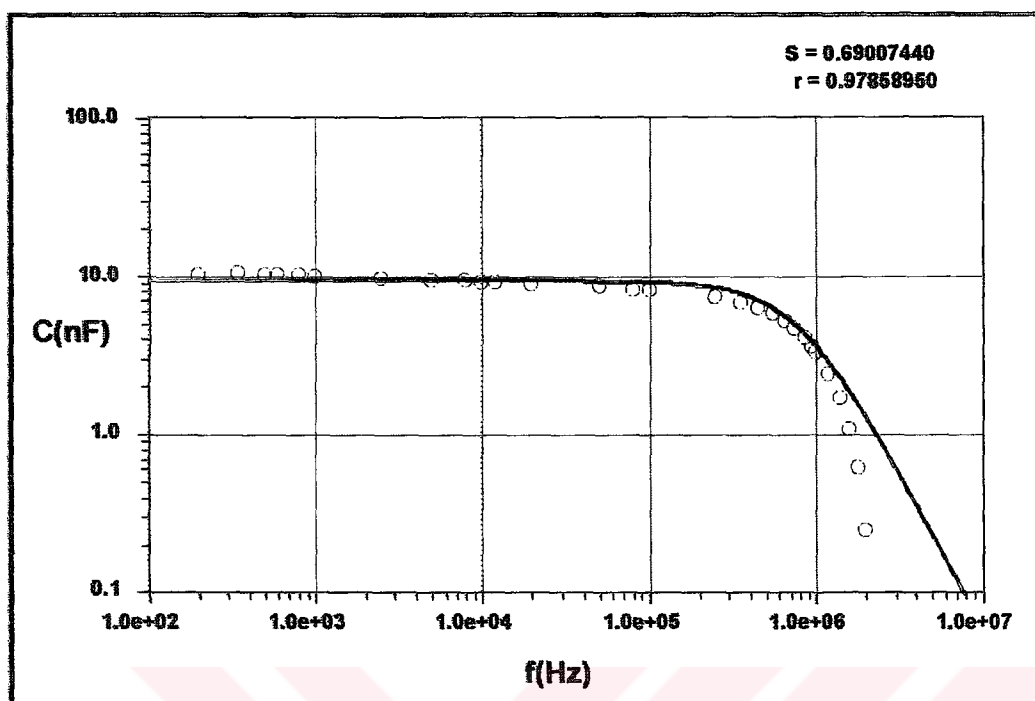
Şekil 4.3.6 a.) Güneş pilinin 100-320K sıcaklık aralığındaki C-f karakteristikleri.

Farklı sıcaklıklardaki  $\tau$  di elektrik rölausyon veya kritik bükülme zamanı değerleri Şekil 4.3.7.ve 4.3.8 de çizilen  $\omega dC/d\omega$  'ye veya  $G/\omega$  'ye karşılık  $1/\omega$  değişimlerinin maksimum değer aldıkları noktalar yardımı ile belirlenmiştir. Yapılan hesaplamalarda her iki spektradan da , aynı sıcaklık değeri için kritik bükülme zamanlarının tamamen aynı değerlerde olduğu bulunmuştur. Tablo 4.3.2 de farklı sıcaklıklar için belirlenen alçak frekanslardaki yaklaşık sabit kapasitans  $C_0$  değeri, kritik frekans değerleri  $\omega_I$  ve  $1/\omega_I = \tau_d$  dielektrik rölausyon süreleri sıralanmıştır.

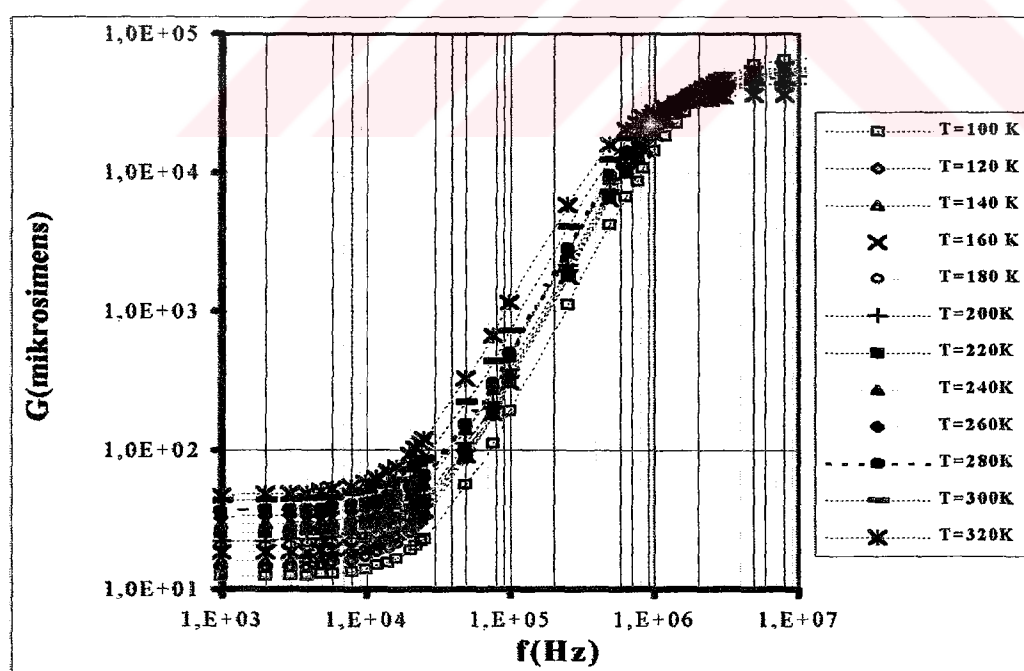
Aynı zamanda,  $\tau_d = R_s C_0$  olduğundan, eşdeğer devre modelindeki seri direnç etkisi  $R_s$  bu formül yardımı ile de hesaplanmış ve kompleks empedans ölçümleri sonucunda belirlenen ve Tablo 4.3.1 de sıralanan değerler ile tamamen aynı değerlerde bulunmuştur. Tüm bunlar öne sürülen devre modelinin doğruluğunu bir kez daha kuvvetlendirmektedir.

T (°K)	$\tau$ (ns)	$\omega_I = 1/\tau$ (rad s <sup>-1</sup> )	$C_0$ (nF)	$\omega_I / T^2$ (s <sup>-1</sup> K <sup>-2</sup> )
100	80	$1,25 \cdot 10^7$	5,6	$1,25 \cdot 10^3$
120	120	$0,83 \cdot 10^7$	6,2	$5,79 \cdot 10^2$
140	127,3	$0,79 \cdot 10^7$	6,5	$4,08 \cdot 10^2$
160	113,7	$0,88 \cdot 10^7$	6,5	$3,44 \cdot 10^2$
180	117,9	$0,85 \cdot 10^7$	6,9	$2,62 \cdot 10^2$
200	130	$0,77 \cdot 10^7$	6,9	$1,92 \cdot 10^2$
220	117,9	$0,85 \cdot 10^7$	6,5	$1,75 \cdot 10^2$
240	160	$0,63 \cdot 10^7$	7	$1,09 \cdot 10^2$
260	160	$0,63 \cdot 10^7$	7,2	$9,25 \cdot 10^1$
280	155	$0,65 \cdot 10^7$	7,8	$8,23 \cdot 10^1$
300	200	$0,50 \cdot 10^7$	8,9	$5,55 \cdot 10^1$
320	280	$0,36 \cdot 10^7$	10,2	$34,87$

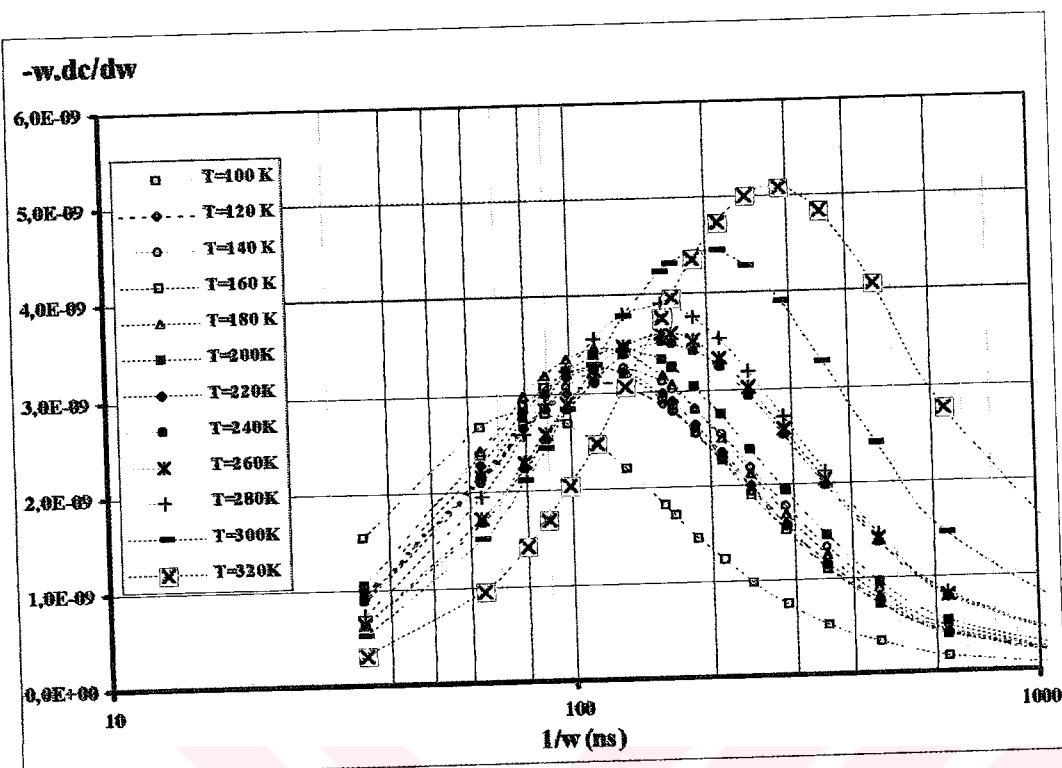
Tablo 4.3.2 Farklı sıcaklık değerlerinde tespit edilen alçak frekanslardaki kapasitans  $C_0$  ve kritik frekans değerleri ( $\omega_I$ ) ile dielektrik rölausyon süreleri ( $\tau$ ).



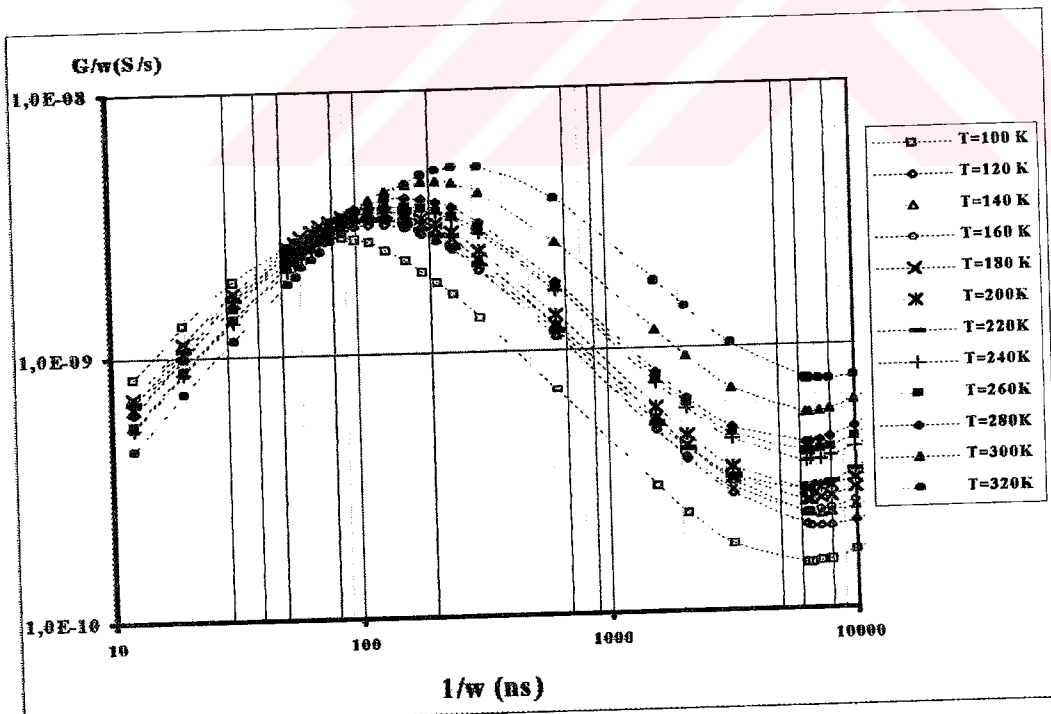
Şekil 4.3.6 b.) Güneş pilinin 300K de gösterdiği değişimin eşdeğer devre modeliyle olan uyumu.



Şekil 4.3.7 Güneş pilinin 100-320K sıcaklık aralığındaki G-f karakteristikleri.



Şekil 4.3.8 Kapasitansın farklı sıcaklıklar için diferansiyel spektrsı

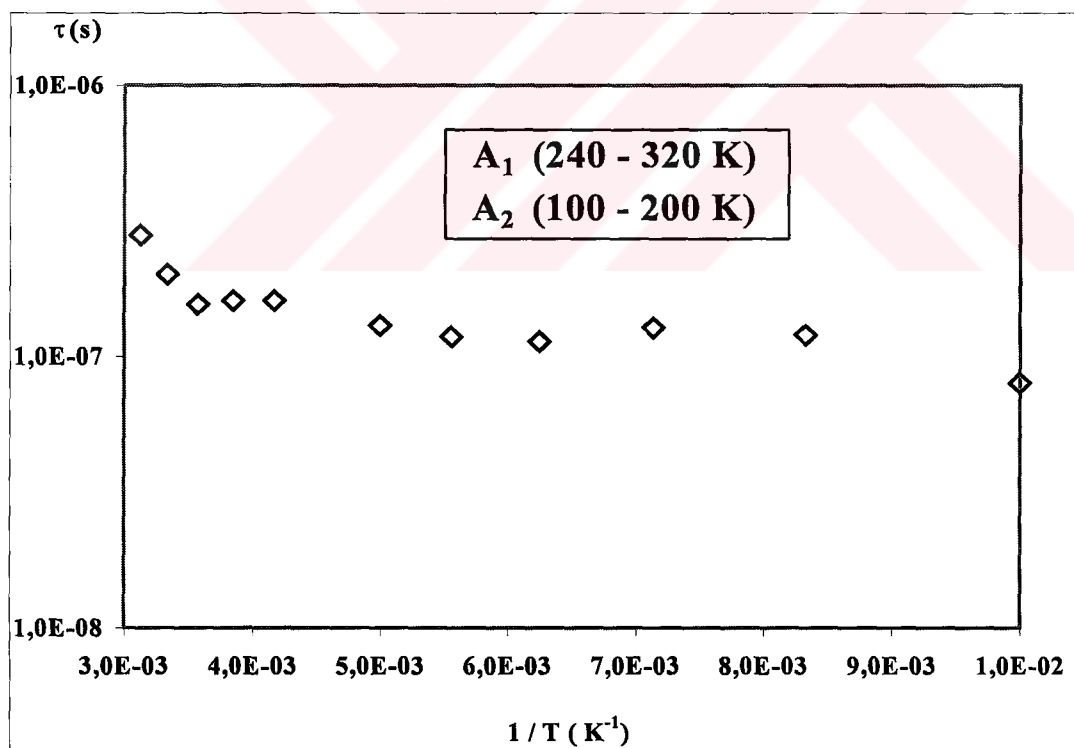


Şekil 4.3.9 Konduktansın  $1/w$  ile olan değişimi

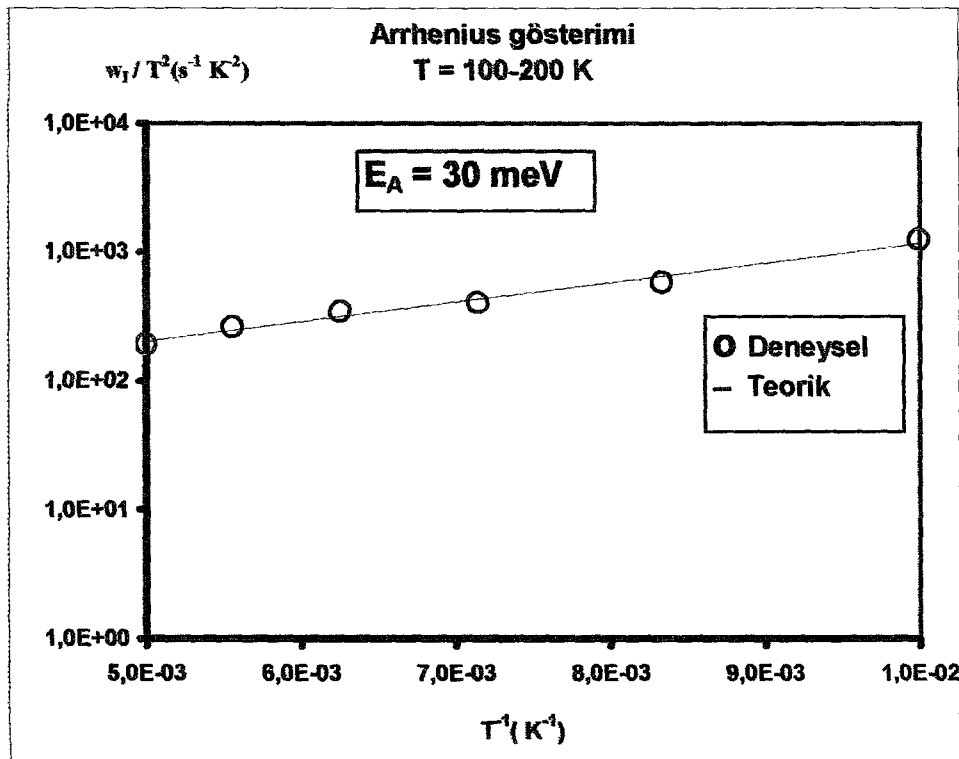
Dielektrik rölausasyon süresinin  $1/T$  ile olan değişimi Şekil 4.3.9 da gösterilmiştir. Yaklaşık 260K den düşük sıcaklıklarda daha yavaş olan değişimin sıcaklık arttıkça hızlandığı görülmektedir. İki ayrı bölgenin olması bu sıcaklık değerlerinde aktif olan iki farklı tuzak seviyesinin varlığı ile açıklanabilir. Bölüm 2.3 de kısaca açıklandığı gibi, tuzak durum yoğunluğunun alıcı seviye yoğunluğundan çok daha az olduğu durumda Denklem 2.3.4 de verilen ifadede  $T^2$  eşitliğinin diğer tarafına geçirip her iki tarafının  $\ln$  'ni alındığında,

$$\ln \left[ \frac{\omega_I}{T^2} \right] = \ln \xi_o - \frac{E_F - E_v}{kT} \quad (4.3.5)$$

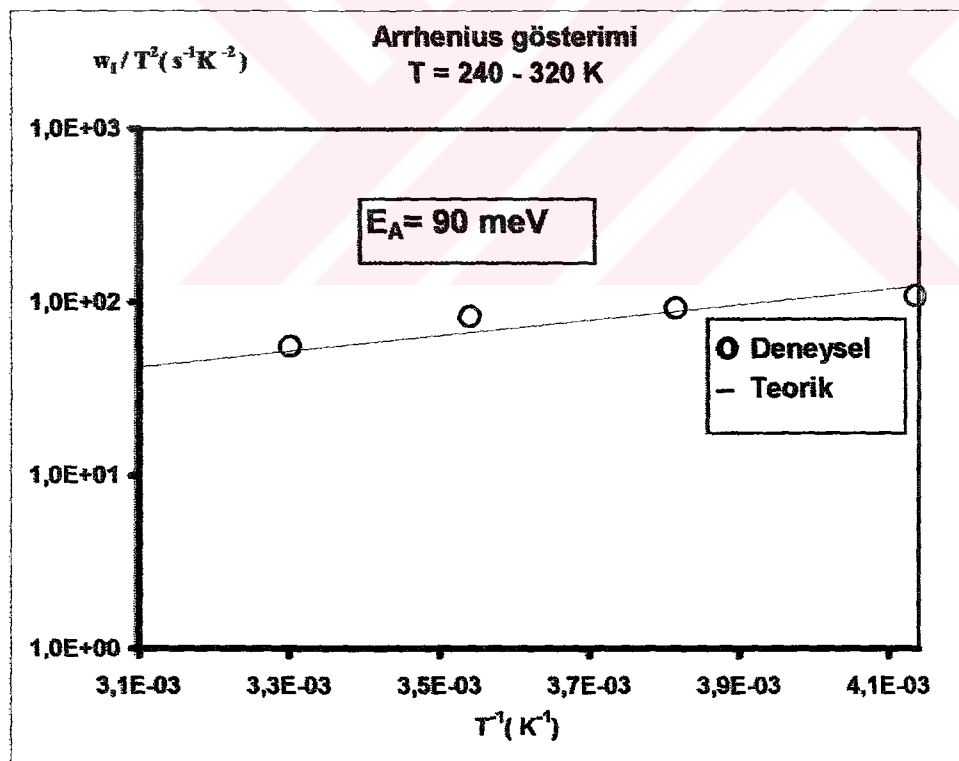
olur. Şekil 4.3.10.a ve b de verilen  $\omega_I/T^2$  'ye karşılık  $1/T$  doğrusal değişimlerden sırasıyla 260-320K ve 100-260K sıcaklık aralıklarında aktivasyon enerjileri 90 meV ve 30 meV olan iki tuzak seviyesi tespit edilmiştir.



Şekil 4.3.10 Dielektrik rölausasyon zamanının  $1/T$  ile olan değişimi.



a.)



b.)

Şekil 4.3.11 Bükülme frekansının sıcaklığın tersiyle olan a) 100-200K ve b) 240-320K aralığındaki Arrhenius gösterimi

Değerlik bandının 30 meV yukarısında bulunan sığ tuzak seviyesi genellikle bakır boşluğu olarak ( $V_{Cu}$ ) tanımlanmakta olup bakırca fakir olan p-tipi soğurucu materyal için baskın alıcı seviyesi olduğu belirtilmektedir [3]. 90 meV lik tuzak seviyesi ise kristal örgü içerisinde ( $InSe$ ) Selenyum atomunun bulunması gereken yerde İndiyum atomunun oturması nedeniyle oluştuğu rapor edilmektedir [3].

## BÖLÜM 5

### SONUÇ

Bu çalışmada, soğurucu tabakasının materyal oranları %22,26 Cu, %19,46 In, %7,27 Ga, %51,02 Se olan n-CdS/p-Cu(In,Ga)Se<sub>2</sub> ince film heteroeklem güneş pilinin akım-voltaj ve admittans ölçüm metotları kullanılarak elektriksel karakterizasyonu amaçlanmıştır.

MG-414-72 kod numaralı panel üzerinde yer alan ve aynı aktif pil alanına sahip güneş pillerin fotovoltaik performans değerleri 730Watt/m<sup>2</sup> lık ışınım altında ölçülmüştür. Verimi en yüksek olan pil için belirlenen aygit parametreleri;  $V_{oc} = 0.628$  V,  $I_{sc} = 12.8$  mA,  $FF = 0.54$  ve  $\eta = 11.91\%$  dir. Bu çalışmada, incelenen heteroeklem güneş pilinin elektriksel karakterizasyonu ile ilgili araştırma sonuçlarının sadece bu pil üzerine olan kısımların üzerinde durulmuştur.

Oda sıcaklığında, karanlık ile aydınlatır karakteristiklerin (J,V) düzlemi üzerinde bir noktada çapraz olarak çakışıkları görülmektedir. Bir çok CIGS tabanlı güneş pilinde gözlenildiği sıkça rapor edilen bu çapraz çakışım (cross-over) etkisi, genellikle CdS tampon tabakasının seri direncinin ışık altındaki değişimin bir etkisi olarak [73] veya eklemdeki elektrik alanın bu bölgedeki yük taşıyıcı yoğunluğuna bağlı olarak gösterdiği değişimin bir etkisi olarak açıklanmaktadır [74-76]. CIGS soğurucu materyalinin eklem ara yüzeyine yakın kısımlarında kusur yoğunluğunun yüksek olduğu bilinmektedir. İncelenen heteroeklem güneş pilinde gözlenen çapraz çakışım etkisi bu nedenle Cu(In,Ga)Se<sub>2</sub> tabakası içerisinde, eklem ara yüzeyine yakın bölgede bulunan ara yüzey (tuzak) durumlarının serbest yük yoğunluğuna bağlı olarak değişen elektrik alan dağılımının bir etkisi olarak açıklanabilir [22-23].

Sıcaklık bağımlı akım-voltaj karakteristiklerinde farklı iki exponansiyel davranış belirlenmiştir. İncelenen güneş pilin eşdeğer devresi paralel bağlı iki

diyottan oluşmuş olarak ele alınmış ve uygulanan gerilime karşı ölçülen akım verileri ile iki katlı diyot yaklaşımı kullanılarak hesaplanmış teorik akım-gerilim verileri karşılaştırıldığında elektriksel parametreleri baskın olan tek bir diyodun özelliklerini gösterecek şekilde eklemden akımın geçtiği belirlenmiştir [72]. Benzer şekilde, sadece 100K ve 300K sıcaklık değerlerinde gerçekleştirilen kompleks empedans ölçümleri sonucunda belirlenen tek yarım daire şeklindeki değişim de incelenen aygıtın tek eklemli bir yapı olarak ele alınabileceği görününü kuvvetlendirmiştir ve ayrıca heteroeklemdeki geri kontak etkisinin ölçülemeyecek kadar önemsiz olduğunu göstermiştir.

İncelenen ince filim güneş pilinin 100K – 300K sıcaklık aralığında ölçülen akım-gerilim analizi sonucunda sıcaklığın 100K den 300K değerine doğru artması ile birlikte,  $\text{Log}I - V$  değişim eğimlerinin oldukça yavaş olarak arttığı ve 2 den oldukça büyük olan diyot ideallik faktörünün de 15.13 den 4.37 değerine doğru sistematik olarak azalduğu belirlenmiştir. Sıcaklığın, akım iletim mekanizmasına olan etkisini araştırmak amacıyla  $\text{Log}I_0$  in sıcaklık ( $T$ ) ve sıcaklığın tersi ( $1/T$ ) ile olan değişimleri incelenmiştir.  $\text{Log}I_0 - T^{-1}$  grafiğinde, yaklaşık 100K ile 250K aralığında  $I_0$  sıcaklığıla çok az değişmesine karşın yüksek sıcaklıklarda bu değişim artmaktadır. Yüksek sıcaklıklarda, yeterli veri alınamamasına karşın, bu biraz daha hızlı  $\text{Log}I_0 - T^{-1}$  değişiminin yanı sıra diyod ideallik faktörü A değerlerinin giderek azalması, akım iletiminde ısisal uyarılmalı yeniden birleşme mekanizmalarının önemli olmaya başlayabileceğini ifade edebilir.  $\text{Log}I_0 - T$  değişiminin özellikle 100-250K sıcaklık aralığında daha doğrusal bir karakterde olduğu belirlenmiştir. Bunun yanı sıra 250K den düşük sıcaklıklarda  $\text{Log}I - V$  değişim eğimlerinin de oldukça yavaş olarak artması, tünellemenin varlığına işaret etmektedir. Ancak  $\text{Log}I - V$  karakteristik eğimlerin artan sıcaklıkla düzgün olarak artması doğrudan, banttan banda ya da çok adımlı tünelleme modellerinin bu pillerde etkin bir mekanizma olmadığını belirtmektedir [40,41]. Ancak diğer yandan, 2 den çok büyük olan diyot ideallik faktörünün sıcaklığın fonksiyonu olarak değişmesi, boşaltılmış bölgede yada ara yüzeyde tünellemenin yükselttiği yeniden birleşme mekanizmasının [26,14], akım iletiminde etkin bir rol oynayabileceği düşünülebilir. Bu nedenle diyod faktörü A nin sıcaklıkla olan değişimi incelenmiş ve  $A \ln J_0$  a karşılık çizilen  $1/T$  grafiğinin

doğrusal karakterde olan eğiminden  $E_a$  aktivasyon enerjisinin değeri 1.00eV olarak hesaplanmıştır. Bu değerin neredeyse saf CuInSe<sub>2</sub>'un yasak enerji aralık değerine  $E_{g(CIS)} = 1.04$  eV eşit olduğu görülmektedir. İncelenen heteroeklem aygit ile aynı laboratuarda benzer koşullarda üretilen CIGS pillerde 1.02-1.21 eV civarında ölçülen küçük yasak enerji aralık değerlerinin nedeni olarak boşaltılmış bölge içerisindeki Ga miktarının önemsiz olup neredeyse tüm Galyumun arka kontaşa yakın yerlere doğru yerleştiği öne sürülmektedir [3,26].

Boşaltılmış bölgede yada ara yüzeye tünellemanın yükseltiği yeniden birleşme mekanizmalarından hangisinin akım iletiminde daha etkin olduğunu belirlenebilmesi için deneysel verilerin teorik modellerden hangisine daha uygun olduğunu araştırılmıştır. Ara yüzeye gerçekleşen mekanizma için geliştirilen teorik ifade ile deneysel olarak belirlenen A değerlerinin oldukça iyi bir uyum içerisinde olması ara yüzeye tünellemanın yükseltiği akım iletim mekanizmasının toplam eklem akımına önemli katkıda bulunduğunu işaret etmektedir. Bu modele uygun olarak hesaplanan karakteristik tünelleme enerjisi  $E_{oo}=118,5$  meV dır. Boşaltılmış bölgede tünellemenin yükseltiği yeniden birleşme mekanizmasının varlığı da araştırılmış ancak deneysel değişimin beklenen teorik yaklaşımından oldukça farklı olması nedeniyle bu mekanizmanın toplam eklem akımına etkisinin olmadığı belirtilebilir. Ayrıca, boşaltılmış bölge içerisinde yasak enerji aralığının ortasında bulunan tuzak durumları yolu ile olabilecek tünellemenin yükseltiği mekanizmanın da eklem akımına etkisinin olmadığı belirlenmiştir.

Heteroeklem yapıdaki belirgin akım iletim mekanizmasına önemli etkisi olan ara yüzey durumlarının sıcaklık bağımlı kapasitans-frekans veya konduktans-frekans ölçümleri sonucu belirlenebilmesi sürecinde eşdeğer devre modelinin oluşturulması önemli bir yer tutmaktadır [78]. Bu nedenle 100K ve 300K sıcaklık değerlerinde kompleks empedans ölçümleri yapılmış ve gözlemlenen tek yarım daire şeklindeki değişim sonucunda eşdeğer devrenin birbirine paralel bağlı kapasitans ve direnç ile yine bunlara seri bağlı olan bir seri dirençten oluştuğu ve devre modelindeki bağlantı konfigürasyonun sıcaklıkla değişmediği belirlenmiştir.

Oda sıcaklığında gerçekleştirilen frekans bağımlı C<sup>-2</sup>-V analizleri incelenen aygıtta keskin değişimli (abrupt) eklem tipi yapısının olduğunu göstermiştir. Uygulanan frekansın 250 – 350 kHz aralığındaki değerleri için doğrusal değişimlerin voltaj ekseni kestiği noktalar 0.4 V ile 0.5 V arasında değişmekte ancak uygulanan frekansın artması ile birlikte engel potansiyelinin değeri ( $V_{bi}$ ) artmaktadır. Genellikle CIGS-tabanlı güneş pillerinde önemli miktarda ara yüzey durum yoğunluğunun olduğu bilinmektedir [25]. Engel potansiyeli  $V_{bi}$  değerlerinin frekans arttıkça büyük değerlere doğru değişmesi, alçak frekanslarda uygulanan a.c. sinyalini izleyen önemli miktardaki ara yüzey durum yoğunluğunun yüksek frekanslarda giderek azaldığını ortaya koymaktadır. Bu nedenle alçak frekanslar için C-V ölçümü yardımı ile hesaplanacak eklem parametreler güvenilir olmadığından sadece 1MHz deki net alıcı yoğunluğu  $1.5 \times 10^{15} \text{ cm}^{-3}$  ve boşaltılmış bölge genişliği yaklaşık 0.8  $\mu\text{m}$  olarak hesaplanmıştır. Oda sıcaklığındaki ara yüzey yoğunluğu yüksek ve alçak frekanslarda ölçülen kapasitans değerlerinden yaklaşık  $10^{10} \text{ cm}^{-2} \text{ eV}^{-1}$  düzeyinde hesaplanmıştır.

100K - 300K sıcaklık aralığında ölçülen kapasitans ve konduktansın frekans ile olan değişimlerinin belirlenen eşdeğer devre modeline uygun olan teorik yaklaşım ile oldukça iyi bir uyum içerisinde olduğu belirlenmiştir. Düşük frekanslarda,  $10^3$ - $10^4$  Hz değerlerinde oldukça yavaş değişen konduktans, frekansın artması ile oldukça hızlı artmakta ve  $10^6$  Hz den büyük frekanslarda ise tekrar neredeyse sabit bir değere doğru büükülmektedir. 100K den 320K ne doğru sıcaklığın artması ile aynı frekansta ölçülen konduktans değerleri artmakta ve yüksek frekans değerlerinde gözlenen büükümenin frekans eksenindeki değeri sıcaklıkla beraber kaymaktadır. Düşük frekanslarda neredeyse sabit olan kapasitans belli bir büükülme frekansı değerinden sonra hızla azalmaktadır. Sıcaklığın 100K den 320K doğru artması ile oldukça simetrik olan C-f karakteristiklerinin büükülme frekansı değeri de değişmektedir. Önemli ara yüzey durum yoğunluğunun varlığına [24, 84-87] işaret eden bu sıcaklık bağımlı kapasitans veya konduktanstaki karakteristik değişimlerdeki büükülme frekans değerleri  $\omega dC/d\omega$  'ye veya  $G/\omega$  'ye karşılık  $1/\omega$  değişimlerinin maksimum değer alındıkları noktalar yardımı ile belirlenmiştir. Yapılan hesaplamalarda her iki

metot için belirlenen kritik bükülme zamanları, aynı sıcaklık değerinde aynı mertebelerde bulunmuştur.

Dielektrik rölausasyon süresinin  $1/T$  ile olan değişim grafiğinde gözlenen iki aynı bölgenin olması ilgili sıcaklık değerlerinde aktif olan iki farklı tuzak seviyesinin varlığı ile açıklanmıştır.  $\omega_l/T^2$  'ye karşılık çizilen  $1/T$  grafiklerinden ile sırasıyla 260-320K ve 100-260K sıcaklık aralıklarında aktivasyon enerjileri 90 meV ve 30 meV olan iki tuzak seviyesi tespit edilmiştir. Değerlik bandının 30 meV yukarısında bulunan sıç tuzak seviyesi genellikle bakır boşluğu olarak ( $V_{Cu}$ ) tanımlanmakta olup bakırca fakir olan p-tipi soğurucu materyal için baskın alıcı seviyesi olduğu belirtilmektedir [3]. 90 meV lik tuzak seviyesi ise kristal örgü içerisinde ( $InSe$ ) Selenyum atomunun bulunması gereken yerde İndiyum atomunun oturması nedeniyleoluştugu rapor edilmektedir [3].

Aynı zamanda, düşük frekanslarda neredeyse sabit olan kapasitans  $C_o$  ve bükülme frekansı değerleri bilindiğinden  $\tau_d = R_s C_o$  ifadesi kullanılarak eşdeğer devre modelindeki seri direnç etkisi  $R_s$  de hesaplamıştır. Bu değerler aynı sıcaklık değerinde kompleks empedans ölçümleri sonucunda belirlenen değerler ile tamamen aynı olarak bulunmuştur. Tüm bunlar öne sürülen devre modelinin doğruluğunu bir kez daha kuvvetlendirmektedir.

## **KAYNAKLAR**

- [1] Bülent Başol Tr. J. of Pyhs., **16**, 107 (1992).
- [2] W. H. Bloss, F. Pfistere, M. Schubert ve T. Walte., Progress in Ptotovoltaics: Research and Applications., **3**, 3 (1995).
- [3] U. Rau, H.W.Schock, Appl. Phys., A **69**, 131 (1999).
- [4] S. P. Tobin, S. M. Vernon, S. J. Wujtczuc, C. Bajgar, M. M.M Sanfacan ve T. M. Dixon, Proc. 21 st. IEEE PVSC., New York, (1990).
- [5] J. Zhao, A. Wang, M. A. Green, A. Ferrazza., Apply. Phys. Lett., **73**, 1991 (1998).
- [6] R. Gay, M. Dietrich, C. Fredric, C. Jensen, K.Knapp, D. Tarrant, D. Willet. Proc. 12<sup>th</sup> European Photovoltaic Solar Energy Conf., Amsterdam, 1994, p.935.
- [7] M.A.Green, K. Emery, K. Bucher ve D.L.King, Prog. Photovoltaics, **4**, 59 (1996).
- [8] Siemens Solar Press Release, Camarillo, CA, Sept. **29**, (1998).
- [9] T. Nakada, D. Iga, H. Ohbbo, A. Kunioka. Jpn. J. Apply. Phys., **36**, 732 (1997).
- [10] M. Ruckh, D. Schmid, H.W.Schock, J. Appl. Phys., **76**, 5945 (1994).
- [11] M.A. Contreras, B. Egaas, P. Dippo, J. Wedd, J.Granata, K.Ramanathan, S.Asher, A. Swartzlander, r. Noufi, In Proc. IEEE Photov. Spec. Conf. (IEEE, NewYork 1997) p.359.
- [12] B. M. Başol, V. K. Kapur, C.R. Leidholm, A. Minnick, A.Halani, Proc. 1 st World Conf. On Photovolt. Energy Conf. (IEEE, New York 1994) p. 148.
- [13] U. Rau, M. Schmitt, F. Engelhardt, O. Seifert, j. Parisi, W. Riedl, J.Rimmasch, F.Karg, Solid State Commun, 107, 59 (1998).

- [14] V. Nadenau, U.Rau, A. Jasenek, and H.W. Schock J.Appl. Phys, **87**, 584 (2000)
- [15] F. Abou-Elfotouh, H. Moutinho, A. Bakry, T. J. Coutts ve L.L.Kazmerski, Sol. Cells **30**, 151 (1991).
- [16] J. Herrero ve C. Guillen, J. Appl. Phys. **69**, 429 (1991).
- [17] A.A. McDaniel, J.W.P.Hsu, A. M. Gabor, Appl. Phys. Lett. **70**, 3555 (1997).
- [18] S. Zott, K. Leo, M. Ruckh, ve H. W. Schock, J. Appl. Phys. **82**, 356 (1997).
- [19] B. Ohnesorge, R. Weigand, G. Bacher, A. Forchel, W. Riedl ve F. H. Karg Appl. Phys. Lett. **73**, 1224 (1998).
- [20] U. Rau. Applied Physics Letters, **74**, 111(1999).
- [21] U. Rau, M. Schmitt, J. Parisi, W. Riedl ve F. Karg , Appl. Phys. Lett. **73** , 223 (1998).
- [22] A. Niemegeers, M. Burgelman, R. Herberholz, U. Rau, D. Hariskos, Progress in Photovoltaics: Research and Applications, **6**, 407 (1998)
- [23] A. Kylnner, J. Appl. Phys. **85**, 6858 (1999).
- [24] U. Rau, D. Brauner, R. Herberholz, H. W. Schock, J. F. Guillemoles, L. Kronik ve D. Cahen, J. Appl. Phys. **86**, 497 (1999).
- [25] A. Jasenek, U.Rau, V. Nadenau, and H.W. Schock, Journal of Appl. Phys. **87**, 584 (2000).
- [26] U.Rau, A. Jasenek, H. W. Schock, F. Engelhardt and T. Meyer, Thin Solid Films, **298**, 361(2000).
- [27] B.L.Sharma ve R.K. Purohit, Semiconductor Heterojunctions, Pergamon Press Ltd., (1974).
- [28] T.L. Tansley, Heterojunction Properties in Semiconductors and Semimetals, Vol.7A, Academic Press,(19).
- [29] Alan, L. Fahrenbruch, R.H.Bube, Fundamentals of Solar Cells, Academic Press 1983.
- [30] S.S. Pearlman, D.L. Feuchts, Solid State Electron., **7**, 911(1964)

- [31] A. G. Milnes., D.L.Feucht, Heterojunctins and Metal Semiconductor Junctions,
- [32] S.C. Choo Solid State Electronic **11**, 1069(1968).
- [33] D.L. Smith Phys. State. Sol (A) **44**, 381 (1977).
- [34] V. Dolega, Z.Naturforsch, Teil A **18**, 653 (1963).
- [35] W.G. Oldham and A.G. Milnes, Solid State Electron, **7**,153 (1964).
- [36] Kim Warner Mitchell, , Ph.D. Thesis, Stanford universitesi, (A.B.D.), (1979),
- [37] R.H. Rediker, S.Stopek and J.H.R. Ward, Solid State Electron, **7**, 261 (1964).
- [38] P.C. Newman, Electronic Lett,**1**, 265 (1965).
- [39] A.G. Chynoweth,W.C. Feldman ve R.A.Logan, Phys. Rev.**121**, 684 (1961).
- [40] A.R. Riben and D.L. Feucht, Solid State Electron, **9**, 1055(1966).
- [41] A.R.Riben and D.L. Feucht,Int. J. Electron,**20**, 583 (1966).
- [42] J.P. Donelly ve A.G. Milnes, Proc. IEE, **113** ,1468 (1966).
- [43] S.S.Ou, O.M. Stafsudd and B.M. Basol, J.Appl. Phys.,**55**, 3769 (1984).
- [44] G.A.M. Hurkx, D.B.M. Klaasen ve M.P.G Knovers, IEEE Trans. Electron Devices, ED-**39**, 331 (1992).
- [45] F.A. Padovani ve R.Stratton, Solid State Electron **3**, 695 (1966).
- [46] R.H.Bube, Photoelectronic Properties of Semiconductor, (Cambridge University Press, Cambridge, 1991) p,258.
- [47] E. H. Rhoderick ve R.H.Williams, Metal Semiconductor Contacts, 2<sup>nd</sup> ed. Clarendon Press, Oxford, 1988, p.96
- [48] T. Walter, R. Menner, Ch. Köble, H.W. Schock, in Proceedings of the 12<sup>th</sup> European Photovoltaic Energy Conference, edited by R.Hill, W.Palz, and P.Helm (Stephens, Bedford, Uk, 1994),p.1755.
- [49] S. M. Sze, Physicss of Semiconductor Devices, John Wiley and Sons Inc., New York 1969.
- [50] H. C. Card, E. S. Yang and P. Panayoetatos, "Peaked Schottky -Barrier Solar

Cells by Al-Si Metallurgical Reactions," Appl. Phys . Lett.,**30**, 643 (1977).

- [51] J. D. Jackson, Classical Electrodynamics, 2<sup>nd</sup> ed. (Willey, New York, 1975), p.311.
- [52] A. K. Jonscher, Dielectric Relaxation in Solids, Chelsa dielectrics Press, Londra, 1983.
- [53] R. Herberholz, M.Igalson ve H. W. Schock, J. Apply Phys, **83**, 318 (1998).
- [54] A. Rothwarf ve K. W. Böer, Progress in Solid State Chemistry, Pergamon Press, Vol. **10**, p.71-102 (1975).
- [55] T. J. Couts, Thin Solid Films, **50**, 99 (1978).
- [56] L.L.Kazmerski, Solar Material Science, editör L. E.Murr, Academic press, (1980).
- [57] J.J.Loforsky, Proc. IEEE. **51**, 677 (1963).
- [58] J. Zhao, A.Wang, M.A. Green, A.Ferrazza, Apply. Phys. Lett. **73**, 1991 (1998).
- [59] M. P Thekaekara. " Data on Incident Solar Energy," Suppl. Proc.20 th Annu. Meet Inst. Environ. Sci., 1974, p21.
- [60] U. Rau, H. W. Schock, Apply. Phys. A. **69**, 131 (1999).
- [61] EDWARDS Cryodrive Instruction Manuel, p6-7.
- [62] OXFORD ObjectBench System Control Software, p71.
- [63] Installation and Operation Manual ,EDWARDS, p8.
- [64] Thermovac tm 20, Piezovac pv 20 , LEYBOLD, p7.
- [65] Leybold Vacuum, Thermovac Gauge Head, Operating Instruction, p10.
- [66] J. R. Tutle, J.S.Ward, A. Duda, T.A. Berens, M.A. Conrteras, K.R. Ramanathan, L. Tennant, J. Keane, E. D. Cole, K. Emery ve R. Noufi, proc. Of the Spring 1996 MRS Symp. On Thin Films fot Photovoltaics and Related Dev. Appl., San Francisco,edited by D. Ginley, A. Catalano, H.W.Schock, C. Eberspacher, T. M. Peterson, ve T. Wada Vol. **426**, 143 (1996).

- [67] M. Nishitani, T. Negami, N. Kohora ve T. Wada, *J. Apply. Phys.* **82**, 3572 (1997).
- [68] William N. Shafarman, Reiner Klenk, and Brian E. McCandless *J.Appl. Phys.* **9**, 79 (1996).
- [69] B. Dimmler et al, Proc. Of the 2<sup>nd</sup> Wold Conf. On Photovoltaic En. Conv., edited by J. Schmid, H. A. Ossenbrink, P Helm, H. Ehmann, E. D. Dunlop, Luxemburg, 419 (1998).
- [70] Siemens Solar Press Release, Camarillo, CA (Sempt. 29, 1998).
- [71] A. J. Nelson, A. M. Gabor, M. A. Contreras, J. R. Tuttle ve R. Noufi, *J. Apply. Phys.* **78**, 269 (1995).
- [72] Şener Oktik, Ph. D. Thesis, 1982, Durham Üniversitesi, İNGİLTERE
- [73] M. Burgelman, F.Engelhardt, J. F. Guillemoles, R. Herberholz, M. Igelson, R.Klenk, M. Lampert, T. Meyer, v. Nadenau, J A. Niemegers J. Parisi, U. Rau, H.W. Schock, M.Schmitt, O. Seifert, T. Walter ve S.Zott, *Prog. Photovolt. Res. Appl.*, **5**, 121 (1997).
- [74] A. Rothwarf, in Proc. Of the 13<sup>th</sup> IEEE Photovolt. Spec.Conf.Washington, DC (IEEE, New York 1978) p.1312.
- [75] M . Topic, F. Smole, J. Furlan, *Sol. Energy Mater. Sol. Cells*, **49**, 311 (1977).
- [76] M. Burgelman, et. Al., *Prog. Photovoltaics*, **5**, 121 (1997).
- [77] C. T. Sah, R. N. Noyce, W. Shockley, *Proc. IRE* **45**, 1228 (1957).
- [78] Complex impedance and ac conductance of CuInSe<sub>2</sub> by Manohar Lal, Parshant Kumar Batham\*, Navdeep Goyal, solar Energy Materials and Solar Cells **36**, 111-119 (1995).
- [79] W.N. Shafarman, J.E. Phillips: In Proc. 25<sup>th</sup> IEEE Photovolt. Spec.Conf. (IEEE, New York 1996) p. 841.
- [80] J.Santamaria, G.Gonzalez Diaz, E Iborra, I. Martil, and F.Sanchez *J.Appl. Phys.* **8**, 65 (1989).

- [81] R.K. Ahrenkiel, Solar Cells **16**, 549 (1986).
- [82] Kim W. Mitchell, Ph. D. Thesis Stanford University, USA, 1976. P43
- [83] H. Tavakolian ve J. R. Sites, Proceedings of the '0 th Photovoltaic Spec. Conf., Las Vegas, Neveda (IEEE, New york, 1988) p.1608
- [84] Ji-Beom Yoo, a. L. Fahrenbruch ve R. H. Bube, J. Apply. Hys. **68** , 4694 (1990).
- [85] R.K.Ahrenkiel, Solar Cells, **16**, 521 (1986).
- [86] V. Ramanathan, R. Noufive R.C. Powell, J. Apply. Phys. **63**, 1203 (1988).
- [87] T. Walter, R. Herberholz, C. Müller ve h.W. Schock, J. Apply. Phys. **80**, 4411 (1996).

## **SEMBOLLER**

$\phi$  : iş fonksiyonu.

$E_g$  : yasak enerji aralığı.

$E_f$  : Fermi enerji seviyesi.

$E_c$  : iletkenlik bandı enerji seviyesi.

$E_v$  : değerlik(valans) bandı enerji seviyesi.

$N_A$  : alıcı (acceptor) konsantrasyonu.

$N_D$  : verici (donor) konsantrasyonu.

$w_p$  : p-tipi yarıiletkenin tüketilmiş (depletion width) bölge genişliği.

$w_n$  : n-tipi yarıiletkenin tüketilmiş bölge genişliği.

$q$  : elektronun yükü.

$\epsilon_p$  : p-tipi yarıiletkenin dielektrik sabiti.

$\epsilon_n$  : n-tipi yarıiletkenin dielektrik sabiti.

$V_{bn}$  : n tipi yarıiletkenin potansiyel bant bükülme miktarı.

$V_{bp}$  : p tipi yarıiletkenin potansiyel bant bükülme miktarı.

$V_{bi}$  : pn eklemindeki engel (built-in) potansiyeli.

$\Delta E_c$  : pn heteroeklemlerdeki spike enerji miktarı.

$\Delta E_v$  : pn heteroeklemlerdeki notch enerji miktarı.

$D$  : atomik difüzyon sabiti.

$\tau_e$  : yük taşıyıcılarının (elektronların) yaşam süresi.

$k$  : boltzman sabiti.

$\vartheta_{th}$  : ısisal hız.

$E_i$  : yarıiletkenlerde katıksız (intrinsic) enerji düzeyi.

$\beta_n$  : boş bir yeniden birleşme merkezinin elektron yakalama olasılık katsayısı.

$\omega$  : açısal frekans.

$E_r$  : yasak enerji aralığında bulunan merkezin enerji değerinin ifade etmektedir.

$n_i$  : katıksız (intrinsic) yük konsantrasyonu.

$N_c$  : iletkenlik bandı kıyısındaki yük taşıyıcı konsantrasyonu.

$N_v$  : değerlik bandı kıyısındaki yük taşıyıcı konsantrasyonu.

$J_o$  : pn ekleminde ters beslemedeki sızıntı akım yoğunluğu.

$I_0$  : pn ekleminde ters beslemedeki sızıntı akımı.

$J_{oo}$  : sıcaklıktan bağımsız ters beslemedeki sızıntı akım yoğunluğu parametresi.

$I_{oo}$  : sıcaklıktan bağımsız ters beslemedeki sızıntı akımı parametresi.

A : diyon ideallik faktörü.

R : yeniden birleşme oranı (recombination rate).

$E_{oo}$  : karakteristik tünelleme enerjisi.

$m^*$  : etkin kütle.

$T^*$  : aktivasyon sıcaklığı.

C : kapasitans.

$\rho$  : yük yoğunluğu.

Y : admittans.

Z : empedans.

$Z'$  : empedans ifadesinin gerçel (real) kısmı.

$Z''$  : empedans ifadesinin sanal (imaginary) kısmı.

$Y'$  : admittans ifadesinin gerçel (real) kısmı.

$Y''$  : admittans ifadesinin sanal (imaginary) kısmı.

$\eta$ : optiksel güç oranı.

$R(\omega)$  : reaktans.

$X(\omega)$  : ac reaktans.

$G(\omega)$  : ac konduktans.

$B(\omega)$  : ac suspektans.

$|Z|$  : empedansın mutlak değeri.

$R_p$  : paralel (şönt) direnç etkisi.

$R_s$  : seri direnç etkisi.

$C_o$  : frekanstan bağımsız kapasitans.

$\omega_I$  : bükülme (inflection) frekansı.

$\omega_o$  : bükülme (kritik) frekansı.

$\zeta_o$  : sıcaklıktan bağımsız emisyon parametresi.

$\sigma_{n,p}$  : elektron veya deşik için tuzak kapma tesir kesiti.

$E_a$  : aktivasyon enerjisi.

$L_{n,p}$  : n ve p tipi yarıiletkenlerin difüzyon uzunluğu.

$J_L$  : güneş pilinin yük direnci üzerinden geçen akım yoğunluğu.

$I_{sc}$  : güneş pilinin kısa devre akımı.

$V_{oc}$  : güneş pilinin açık devre voltajı.

FF : güneş pilinin doluluk oranı.

$V_m$  : güneş pilinin maksimum güç noktasındaki voltaj çıkışı.

$I_m$  : güneş pilinin maksimum güç noktasındaki akım çıkışı.

## KİŞİSEL BİLGİLER

**Adı Soyadı** : A. Sertap KAVASOĞLU

**Doğum Yeri** : Şanlıurfa

**Doğum Yılı** : 05. 02. 1972

**Medeni Hali** : Evli

## EĞİTİM VE AKADEMİK BİLGİLER

**Lise** : İstanbul 50. Yıl Avcılar İnsa Lisesi, İstanbul

**Lisans** : 1990-1996, Fizik Bölümü, Trakya Üniversitesi  
Fen ve Edebiyat Fakültesi

**Yabancı Dil** : İngilizce

## MESLEKİ BİLGİLER

1996-1997 Öğretmen, Yatağan Katrancı Köyü İlkokulu, Muğla

1997- Araştırma Görevlisi, Fizik Bölümü, Muğla Üniversitesi.